

Vysoká škola strojní a textilní Liberec
nositelka Řádu práce

Fakulta strojní

Katedra obrábění a montáže

obor 23-07-8-strojírenská technologie
zaměření obrábění a montáž

NÁVRH UTVAŘECŮ TŘÍSEK PRO VYMĚNITELNÉ ŘEZNE DESTIČKY
Z ŘEZNE KERAMIKY

KOM - OM - 454
PETR VACÍK

Vedoucí práce : Ing. Robert Kvapil, CSc.
Konzultant : Ing. Vladimír Šída, CSc. - DIAS Turnov

Počet stran	89
Počet příloh a tabulek	3
Počet obrázků	80
Počet výkresů	0
Počet modelů	
nebo jiných příloh	0

Vysoká škola strojní a textilní
Katedra: Obrábění a montáže

Fakulta: Strojní
Školní rok: 1986/87

ZADÁNÍ DIPLOMOVÉ PRÁCE

(PROJEKTU, UMĚLECKÉHO DÍLA, UMĚLECKÉHO VÝKONU)

pro Petr Vacík

obor 23-07-8 strojírenská technologie

Vedoucí katedry Vám ve smyslu nařízení vlády ČSSR č. 90/1980 Sb., o státních závěrečných zkouškách a státních rigorózních zkouškách, určuje tuto diplomovou práci:

Název tématu: Návrh utvařečů třísek pro vyměnitelné řezné destičky řezné keramiky

Zásady pro vypracování:

1. Politicko-hospodářský význam diplomního zadání
2. Současný stav aplikace utvařečů na řezné keramice
3. Návrh geometrie utvařečů pro obrábění ocelí tříd obrobitelnosti 13b a 14 b
4. Výroba a odzkoušení utvařeče

✓ 276/87c

VYŠOKÁ ŠKOLA STROJNÍ A TEXTILNÍ
Ústřední knihovna
LIBEREC 1, STUDENTSKÁ 6
PSČ 461 17

Rozsah grafických prací: dle potřeby

Rozsah průvodní zprávy: 40 - 60 stran

Seznam odborné literatury:

Šída, V.: Přehled vývoje a výroby čs. řezné keramiky.

In: Sb. konference technologov obrábania. DT Bratislava
1985

Valčuha, Š.: Výzkum tvarovania triesok a návrh tvarovania triesok.

In: Výzkumná zpráva. SVŠT Bratislava 1980.

Vedoucí diplomové práce: Ing. Robert Kvapil, GSc.

Konzultant: Ing. V. Šída, GSc. - Dias Turnov

Datum zadání diplomové práce: 6. 10. 1986

Termín odevzdání diplomové práce: 11. 5. 1987

L.S.

Doc. Ing. Jaromír Gazda, CSc.

Vedoucí katedry

Doc. Ing. Ján Alaxin, CSc.

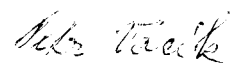
Děkan

v Liberci dne 30. 9. 1986

Místopřísežně prohlašuji, že diplomovou práci jsem vypracoval samostatně s použitím uvedené literatury.

V Liberci dne 11. května 1987

Podpis



Použité označení

- a - hloubka třísky [mm]
h - výška schůdku utvařeče [mm]
k - šířka dna schůdku utvařeče [mm]
 M - hmotnost třísek [kg]
 n - otáčky [ot/min]
 r_e - poloměr zaoblení špičky břitové destičky [mm]
 R_a - střední aritmetická úchylka profilu [μm]
 R_{\max} nejvyšší výška nerovností profilu [μm]
s - posuv [mm/ot]
t - hloubka řezu [mm]
v - řezná rychlosť [m/min]
w - šířka utvařeče [mm]
 V_{tr} objem nestlačených třísek
 V_{mat} objem odebraného materiálu
 ρ - poloměr křivosti třísky [mm]
 ρ_m - měrná hmotnost materiálu [g/cm³]
 σ - normálové tahové napětí
 σ_t - pevnost materiálu [kg/m²]
 τ - tangenciální napětí
 φ - sklon schůdku
 ω - objemový koeficient

Obsah

<u>1. Politicko-hospodářský význam diplomového zadání</u>	6
<u>2. Současný stav aplikace utvařeců na řezné keramice</u>	10
2.1. Současný stav řezné keramiky	10
2.2. Vývoj klasifikace tvaru třísek	15
2.3. Fyzikální podstata tvarování a dělení třísek	22
2.4. Matematické základy utváření třísek pomocí utvařeců	24
2.5. Základní principy utváření třísky při soustružení	30
2.6. Stav utvařeců na keramických řezných destičkách	34
<u>3. Návrh geometrie utvařeců pro obrábění ocelí tříd obrobitevnosti I3 b a I4 b</u>	38
3.1. Návrh geometrických prvků utvařeče	38
3.2. Popis měření a vyhodnocení	39
3.3. Návrh geometrie utvařeců	42
<u>4. Výroba a odzkoušení utvařeče</u>	45
4.1. Popis výroby utvařeců	45
4.2. Vyhodnocení vyrobených utvařeců	45
<u>5. Závěr</u>	88
Literatura	89

I. Politicko-hospodářský význam diplomového zadání

Tato diplomová práce má být příspěvkem k řešení aktuálního problému zvyšování efektivnosti a produktivity práce při obrábění, kterému se v současné době věnuje značná pozornost na všech stupních řízení. O nutnosti zvyšování produktivity práce bylo jednáno i na XVII. sjezdu KSČ. V jeho závěrech se uvádí, že strojírenství se musí zaměřit hlavně na vytváření nezbytných podmínek pro podstatné zvýšení technického rozvoje, urychlení zavádění nových progresivních technologií, umožňujících výrazné snížení materiálové a energetické náročnosti a na zlepšení pracovních podmínek při výrazném zvýšení produktivity práce. Je nutné zajistit urychlení modernizace a automatizace ucelených pracovišť a postupný přechod ke komplexní automatizaci technologických celků a soustředit se na osvojení a výrobu nových generací strojů a zařízení. Uplatňovat ve větším rozsahu standartizaci a unifikaci rozhodujících uzelů a prvků. Rychlejším zajišťováním směnnosti zajistit zejména maximální využití vysoce výkonných a drahých strojů a výrobního zařízení. Musí se urychlit likvidace zastaralé výrobní techniky, budovat racionalizační dílny, zabezpečit rozvoj jednoučelových strojů.

Podle závěru XVII. sjezdu KSČ je nutno zvýšit výrobu ve všeobecném strojírenství o 25%. Dále je nutno zaměřit se na zajišťování dodávek progresivních technologií a na zvýšení výroby spotřebního zboží při výrazné inovaci výrobků. Pro plnění těchto náročných úkolů je nutné provést potřebné strukturální změny ve výrobě, rozvíjet vybrané obory / mezi něž patří i rozvoj obráběcích strojů a nástrojů/

a výrobu nových generací strojů a zařízení, umožňujících snížení energetické náročnosti výrobních procesů. Musí se využívat automatizované systémy řízení obráběcích a tvářecích strojů s číslicovým programovým řízením.

V duchu těchto zásad je třeba prosazovat při obrábění používání nových progresivních řezných materiálů, jakým je i řezná keramika. Její rozšíření bylo možné až po překonání některých ekonomických a technických překážek, bránících jejímu hromadnému nasazení. Vývoj ve strojírenské výrobě je velmi intenzivně zaměřen na zvýšení produktivity práce, jakosti obráběných ploch, rozměrové i tvarové přesnosti obrobků a životnosti vyráběných součástí. Tyto požadavky přispěly k urychlenému vývoji automatických obráběcích strojů vysoké tuhosti s dostatečným rozsahem řezných parametrů. V této první části vývoje bylo snahou především snížení vedlejších časů, nepožadovala se intenzifikace řezných podmínek a tím se pak neovlivnil ani další vývoj řezných materiálů. Snížení vedlejších časů však způsobilo, že vzrostl podíl strojních časů, takže se stala aktuální otázka jejich podstatného zkrácení. Tento požadavek podporovaly hlavně ekonomické důvody, protože vyšší ceny nových obráběcích strojů, vybavených řídícími systémy, automatickou výměnou nástrojů a manipulací s obrobky, způsobily vzrůst nákladů na strojní zařízení, zvláště nákladů na odpisy. Proto je nutné jejich maximální využití t.j. nasazení intenzivních řezných podmínek. Podstatného zkrácení strojních časů na automatických obráběcích strojích se dosahuje především použitím vyšších řezných rychlostí. Stávající řezné materiály by při požadovaných intenzivních podmínkách pracovaly blízko meze svých

řezných možností, rychle by se otupovaly a snadno by docházelo k časté výměně nástroje a tak i k ekonomickým ztrátám. Proto bylo třeba vyvíjet nové materiály, které by vyhovovaly zvýšeným nárokům na řeznou rychlosť. Na tuto potřebu rychle zareagovali výrobci řezných materiálů a urychleně zahájili vývoj nové generace řezné keramiky z polykrystalických materiálů a kubického nitridu bóru. V poměrně krátké době byly dodány na trh výmenné destičky z tohoto materiálu, které mohou konkurovat novým druhům rychlořezných ocelí i povlakovaným vyměnitelným destičkám ze slinutých karbidů s předlisovanými utvařeči.

Používání dražších řezných materiálů - řezné keramiky umožnila i ta skutečnost, že se vzhledem celkových výrobních nákladů klesl podíl nákladů na nástroje. Přednosti řezné keramiky vzhledem k současně používaným slinutým karbidům pro použití při vysokých řezných rychlostech plynou z rozdílné stavby těchto dvou materiálů /1/. U slinutých karbidů jsou nositelem tvrdosti karbidy /wolframu - WC, titanu - TiC, tantalu - TaC/ spojené kovovým pojivem /kobaltem - Co nebo niklem - Ni/. V keramice jsou nositelé tvrdosti /oxid hlinity Al_2O_3 , karbid titanu TiC/ slinovány bez pojiva. Se stoupající teplotou na řezné hraně klesá u slinovaných karbidů rychle tvrdost pojiva, tím se zvyšuje i opotřebení a při překročení mezní teploty vzniká plastická deformace řezné hrany. Proto u slinutých karbidů musí být řezné parametry voleny tak, aby byla na řezné hraně teplota pokud možno co nejménší. U řezné keramiky vliv teploty není zdaleka

tak výrazný. To dokazuje i dostatečná stálost tvrdosti za vysokých teplot, kde tvrdost podstatně neklesá ani při teplotě okolo 1000°C . Nejlepší stálost tvrdosti za vysokých teplot vykazuje směsná keramika, potom následuje čistá řezná keramika a pak keramika na bazi nitridu křemíku.

Při hodnocení používaných řezných materiálů rozhoduje podíl daného materiálu z celkového objemu všech řezných materiálů, používaných při obrábění. Uvedená literatura /1/ udává, že v roce 1984 bylo toto pořadí užívaných řezných materiálů : 67% nástroje ze slinutých karbidů
27% nástroje z rychlořezné oceli
4% nástroje z řezné keramiky
1% diamantové nástroje.

Předpokládá se, že v roce 1987 stoupne podíl řezné keramiky na nástrojích nejméně na 6%. Prognózy expertů počítají i nadále se zvyšováním nasazení řezné keramiky hlavně po rozšíření používání nitrokřemíkové keramiky.

Z uvedeného vyplývá, že i řezná keramika se zřejmě natrvalo zařadila mezi používané řezné materiály. Proto je nutné i pro ni zajistit vhodné odcházení třísky při řezném procesu, aby mohla být používána ještě v širším rozsahu. Pak se při jejím správném použití může značně zvýšit produktivita a efektivnost práce.

2. Současný stav aplikace utvářeců na řezné keramice

2.1. Současný stav řezné keramiky

Správné určení tvarování třísky je v současné době jedním z určujících faktorů stupně automatizace obráběcích strojů. Na utváření třísky má mimo jiné vliv i použití různých řezných materiálů s příslušnými řeznými vlastnostmi. Jedním z progresivních řezných materiálů je i řezná keramika, která umožňuje použití vyšších řezných rychlostí a tím i zkrácení strojních časů u automatizovaných obráběcích strojů.

Používání řezné keramiky bylo možné až po úspěšném zvládnutí technologie výroby keramických destiček, což se v minulých letech podařilo i domácímu podniku DIAS Turnov. V současné době nabízí tento podnik několik druhů keramických řezných destiček s různými vlastnostmi. Materiály, z kterých jsou destičky vyráběny, lze stručně charakterizovat podle /2/ takto :

DISAL 100 - materiál na bazi téměř čistého oxidu hlinitého / 99% Al_2O_3 /. Protože má tento materiál vysokou tvrdost a odolnost proti opotřebení za vysokých teplot /1200°C/ lze jej dobré použít při obrábění běžné šedé litiny a konstrukčních ocelí nepřerušovaným řezem vysokými rychlostmi / až 1000m/min/. Fyzikální vlastnosti tohoto materiálu jsou srovnatelné s ekvivalentním materiálem firmy Feldmhle typu SN-60. Materiál se vyrábí od roku 1980. Barva - slonovina.

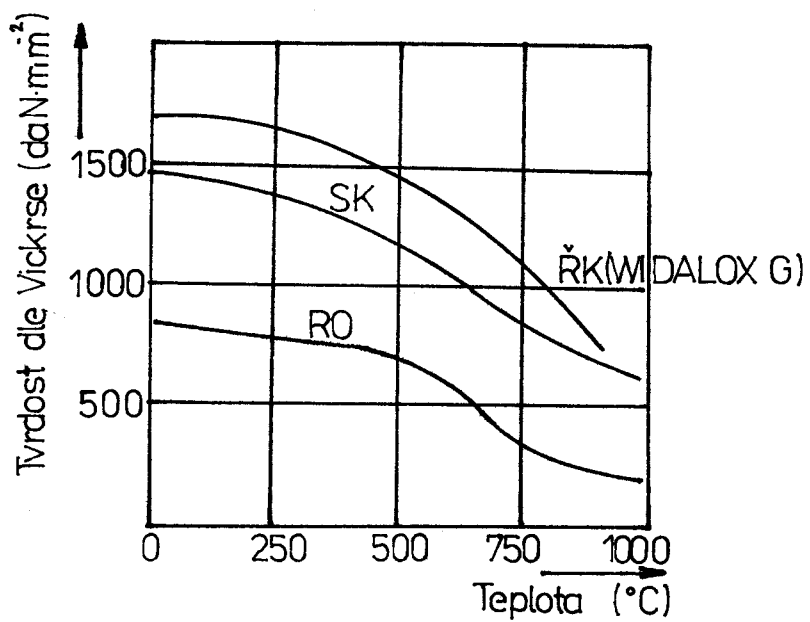
DISAL 200 /210/220/ - jde o polosměsnou oxidickou řeznou keramiku na bázi $Al_2O_3 + ZrO_2$. Vyniká hlavně tvrdostí a odolností proti opotřebení za vysokých teplot, což

umožňuje obrábění částečně přerušovaným řezem temperované litiny a zušlechtěné i rychlořezné oceli. Modifikace tohoto materiálu DISAL 210 se vyrábí od roku 1984 a svými fyzikálními vlastnostmi je srovnatelný s materiélem firmy Feldmühle typu SN - 80. Barvu má křídově bílou. Modifikace DISAL 220 má barvu světle modrou a vyrábí se od roku 1985.

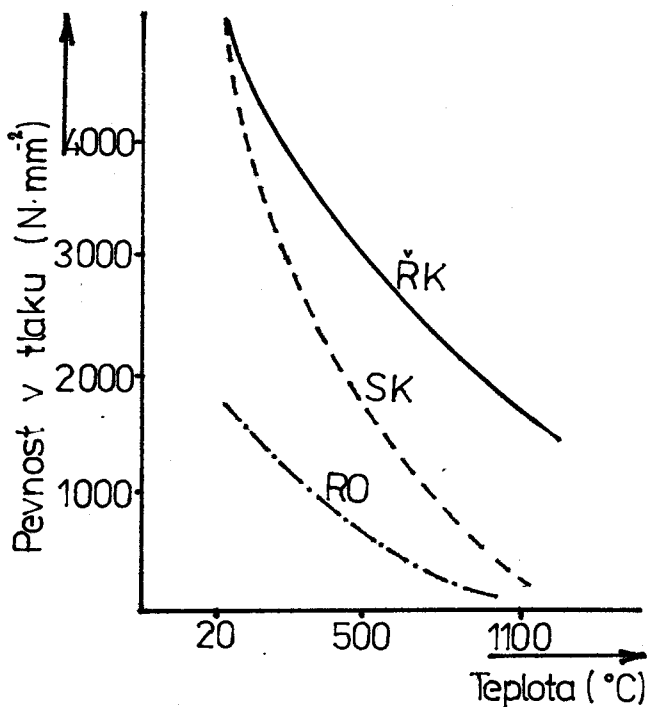
DISAL 300 (310/320) - jde o směsnou oxidokarbidickou řeznou keramiku na bázi $Al_2O_3 + TiC$. Při zachování vysoké tvrdosti a houževnatosti je odolná i proti teplotním šokům, což umožňuje i obrábění s použitím chladící kapaliny. Výhodně ji lze použít při obrábění tvrzené litiny a kalených ocelí nebo pro střední a jemné frézování. Barva materiálu je černá. Fyzikální vlastnosti se dají srovnat s ekvivalentním materiélem firmy Feldmühle typu SH - 1 a SH - 20. DISAL 400 - jde o připravovaný materiál směsné nitrokarbidevé keramiky na bázi $Al_2O_3 + Si_3N_4$. Předpokládá se pevnost v ohybu až po 850 MPa. Bude možné použití rychlostního obrábění těsně u oblasti P10 - P20, respektive K10 - K20, které dosud zajišťovaly pouze slinuté karbidy.

Vhodnost použití řezné keramiky ukazuje i několik následujících diagramů, sestavených firmou Krupp Widia /3/. První diagram ukazuje průběh tvrdosti různých řezných látek v závislosti na zvyšující se teplotě. Z obrázku plyne, že právě řezná keramika má nejvyšší stabilitu tvrdosti i za zvýšené teploty. Obr. 1. / pro obrázky 1 - 4 platí : NO-nástrojová ocel, RO-rychlořezná ocel, SK-slinuté karbidy, ŘK-řezná keramika /.

Obr.1. Tvrdest různých řezných láttek v závislosti na teplotě

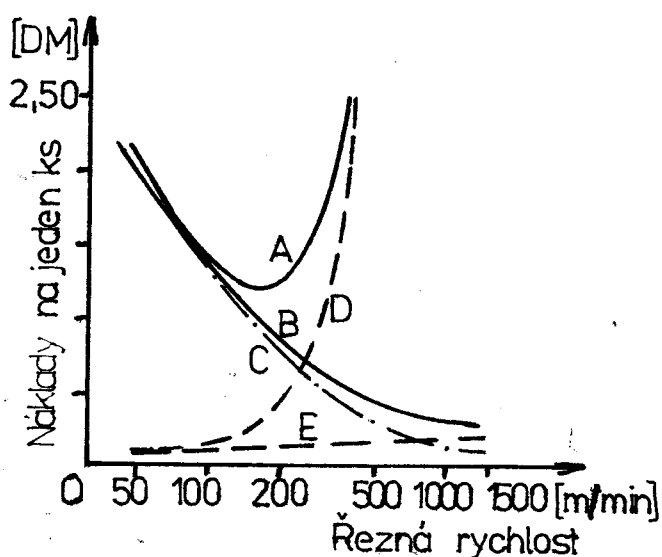


Obr.2. Pevnost v tlaku řezných materiálů v závislosti na teplotě



Obr.2. ukazuje, jak se podařilo poměrně úspěšně vyřešit problém pevnosti v tlaku u řezných destiček z keramiky. Při tepletě místnosti je pevnost v tlaku destiček WIDALOX G 5000 N/mm² a destiček ze slinutých karbidů stejná. Při stoupající tepletě se však pevnost v tlaku mění dle přiležitého obrázku.

Vhodnost nasazení řezné keramiky je nutné sledovat i z ekonomického hlediska. Obrázek 3 zobrazuje závislost výrobních nákladů na řezné rychlosti.



Obr.3. Závislost výrobních nákladů na l ks na řezné rychlosti
 A-náklady při obrábění nástrojem ze slinutého karbidu
 B-náklady při obrábění nástrojem z řezné keramiky

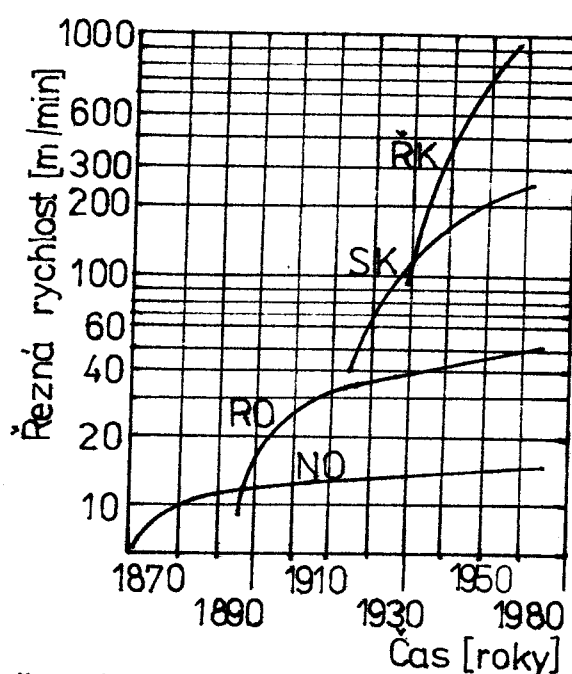
C-strojní čas + cena práce atd.

D-máklady na mástrej při použití sliutých karbidů

E-máklady na mástrej při použití řezné keramiky

Obr.3 ukazuje ekonomickou výhodnost použití řezné keramiky zvláště při vyšší řezné rychlosti. V této oblasti se projeví nižší máklady na mástrej z řezné keramiky, které rostou podstatně pomaleji než u mástrojů ze sliutých karbidů.

Na závěr této kapitoly lze ještě uvést obrázek, který ukazuje historický vývoj řezných materiálů a jejich použití z hlediska řezné rychlosti.



Obr.4. Vývoj řezných materiálů z hlediska řezné rychlosti

2.2. Vývoj klasifikace tvarů třísek

Návrhu a použití utvářeců třísky nutně musely předcházet práce na pochopení principu tvorby třísky. Práce v této oblasti byly publikovány v letech 1940- 1967/ Time, Klušin, Merchant, Zorev aj/. Z nejčasnějších autorů pak na př. Vulf, Schaffner, Leadze, Rosenberg. Tyto práce měly mnoho zjednodušujících předpokladů a určovaly většinou směr odchodu třísky a její poloměr ztěžení především z experimentů.

Při nástupu číslicově řízených obráběcích strojů, a tedy při značné automatizaci, bylo nutno vyřešit i problém utváření odcházejícího dísky v zájmu správné funkce stroje. Proto bylo nutné přejít od experimentálních poznatků k vytvoření matematicko-fyzikálního popisu procesu utváření třísky. I když použity matematický model nevyužívá bez zbytku všechny jevy při procesu tvárování a oddělování třísky v závislosti na daných řezních podmínkách, je schopen za daný problém poměrně úspěšně řešit. Při současném stavu předlisených utvářeců na sminutých karbiitech je tedy možné, známe-li všechny vstupní údaje obráběcího procesu, na základě znalosti utváření třísky vybrat destičku nebo zkonstruovat utvářec, který bude vyhovovat podmínkám s dostatečnou přesností.

Při pozorování odchodu třísky bylo vytvořeno několik klasifikačních stupnic, podle kterých se konkrétní třísky hodnotí. Příkladem dělení může být klasifikace třísek podle Kufta /4/. Tuto klasifikaci ukazuje tabulka 1. Podle autora třísky označené v této tabulce číslem 1 - 3 jsou úplně nevhodné, číslem 4-10 jsou přijatelné a třísky s číslem 6-8 jsou vhodné.

Tab.1. Klasifikace třísek podle Kufta

C.	NÁZEV TRÍSKY	OBRÁZEK
1	STUHOVÁ	
2	MOTANÁ	
3	ŠROUBOVITÁ	
4	ZÁVITOVÁ	
5	DLOUHÁ TRUBKOVITÁ	
6	KRÁTKÁ TRUBKOVITÁ	
7	SPIRÁLOVÁ TRUBKOVITÁ	
8	SPIRÁLOVÁ	
9	DLOUHÁ ČLÁNKOVITÁ	
10	KRÁTKÁ ČLÁNKOVITÁ	

Uvedený způsob klasifikace je pouze ukázka možného dělení, jiný přístup v článení udává na př. dělení podle A.M.Vulfa nebo podle normy ISO, kde se stupně utváření hodnotí podle

objemového koeficientu. Oba jmenované způsoby jsou popsány dále.

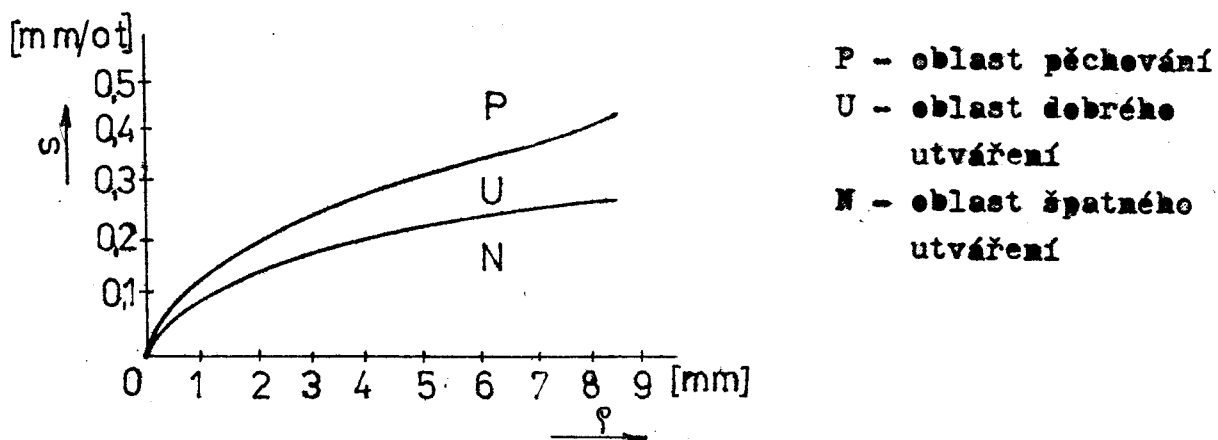
Jednoznačné a obecné kriterium pro hodnocení stupně utváření nebylo dosud určeno. Přesto však existuje celá řada způsobů jimiž je možné více či méně objektivně utváření třísky posuzovat. Podle /5/ se jedná především o :

1. Hodnocení podle poloměru zakřivení třísky
2. Hodnocení podle objemového koeficientu
3. Hodnocení třísky podle normy ISO a z ní odvozené další způsoby hodnocení

ad 1. Hodnocení podle poloměru zakřivení třísky

Jde o metodu uváděnou hlavně v zahraniční literatuře.

Je založená na názoru, že stupeň utváření třísky závisí na posuvu, resp. tloušťce třísky a na poloměru zakřivení třísky. Podle poloměru zakřivení třísky můžeme určit stupeň utváření z obrázku č.5.



Obr.5. Vliv posuvu a poloměru zakřivení třísky na stupeň utváření

ad 2. Hodnocení podle objemového koeficientu.
Tento koeficient se vypočte ze vztahu :

$$\omega = \frac{V_{tr}}{V_{mat}}$$

ω - objemový koeficient

V_{tr} - objem nestlačených třísek

V_{mat} - objem odebraného materiálu, tento objem zjistíme
vážením třísky a výpočtem podle vztahu

$$V_{mat} = \frac{M \cdot 1000}{\rho_m}$$

M - hmotnost třísek v kg

ρ_m - měrná hmotnost materiálu

Kriteriem utváření třísky je pak hodnota koeficientu ω .
Většinou se za dobré utvářenou třísku považuje tříská
s objemovým koeficientem $\omega \leq 50$. Obecně platí, že čím je
koeficient menší, tím je snadnější doprava a skladovatel-
nost třísek a větší bezpečnost práce. Hodnocení podle této
koeficientu používá na př. A.M.Vulf, což ukazuje obr.6.
Z této rozdělení je možné posoudit vhodný či nevhodný tvar
třísky pro odpovídající způsob a objem výroby :

la - la stužkové třísky délouhé nebo metané

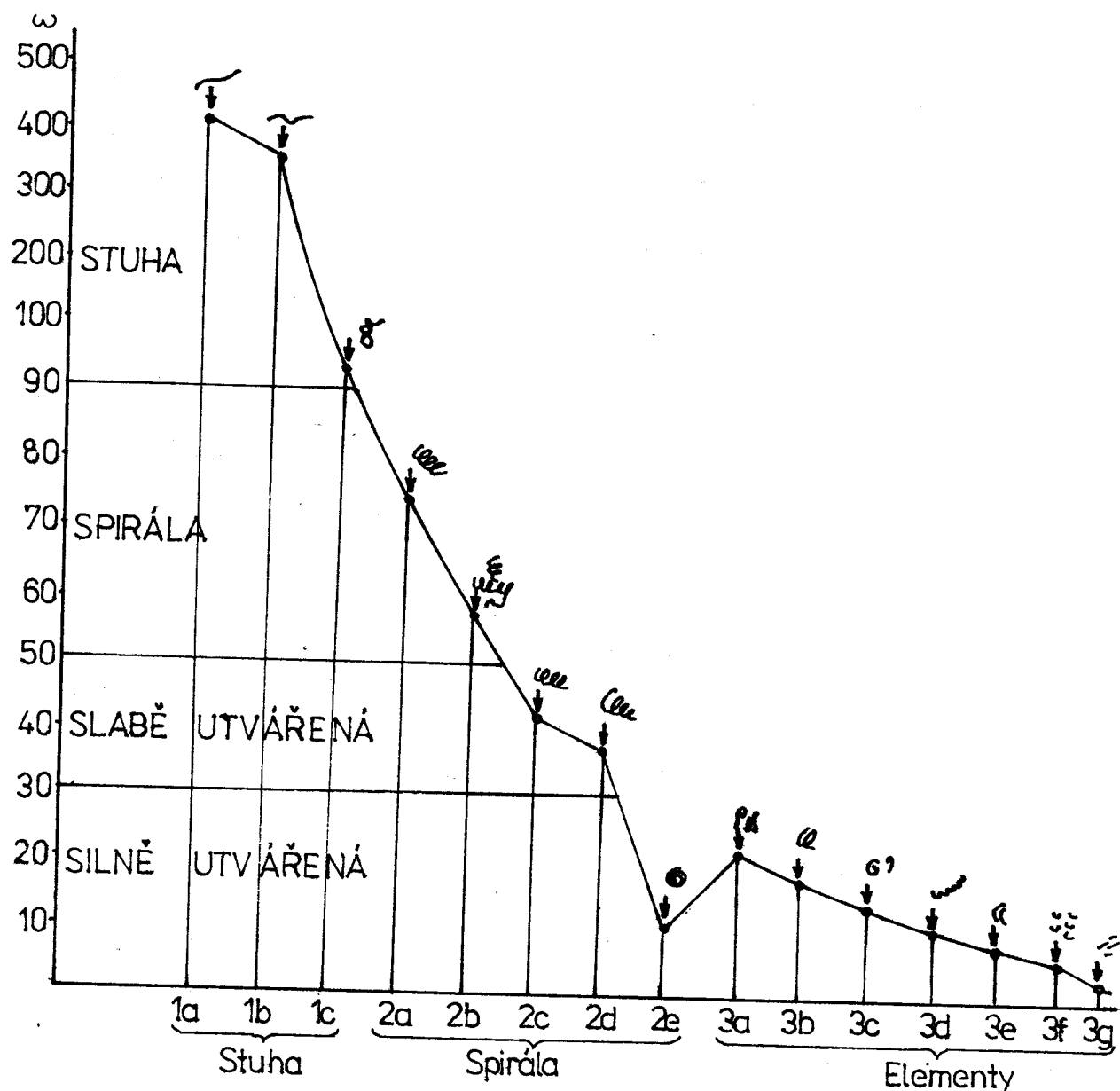
vinuté třísky metané

spirálové třísky metané

lc - 2a vinuté šroubovité třísky s velkým průměrem spirály

2b šroubovité třísky vinuté, metané

Obr.6. Rozdělení třísek v závislosti na tvaru a velikosti objemového koeficientu podle A.M.Vulfa



- 2c spirálové třísky krátké, které se po dosažení určité délky svého vahou ulemí
- 2d spirálové třísky kuželovité
- 2e spirálové třísky ploché

3a stužkové třísky krátké

3b vinuté třísky krátké, šroubovitě tř. vinuté

3c krátké, kuželovité třísky, šroubovitě krátké tř.

3d obléukovité třísky, dělené půlprstence

3e obléukovité třísky

3f elementární třísky polekroužky

3g elementární třísky jehlicové

ad 3. Hodnocení třísky podle normy ISO.

Hodnocení plynou z přiležené tabulky ISO, kde se jako kritérium též používá objemový koeficient ω .

Tab.2. Klasifikace utváření třísky podle normy ISO

1. Stužkovité třísky

a/ dlouhé	300 - 500
b/ krátké	20 - 50
c/ smotané	200 - 300

2. Vinuté třísky

a/ dlouhé	55 - 80
b/ krátké	30 - 50
c/ smotané	100 - 200

3. Spirálové třísky

a/ plechové	10 - 40
b/ kuželovité	10 - 45
c/ smotané	80 - 150

4. Šroubovité třísky vinuté

a/ dlouhé	80 - 100
-----------	----------

b/ krátké	30 - 50
c/ metané	100 - 200

5. Kuželovitě třísky šroubovitě

a/ dleuhé	80 - 100
b/ krátké	20 - 50

6. Obroukovité třísky

a/ spojené	5 - 15
b/ dělené půlprstence	5 - 10

7. Elementární třísky

a/ polekreužky	3 - 10
----------------	--------

8. Jehlicové třísky

Jak je z této tabulky zřejmé je klasifikace třísek podle normy ISO provedena velmi podrobně a poněkud složitě, takže není příliš vhodná pro praktické využití. Hodi se spíše pro teoretické studium utváření třísky, jejího odchodu z místa řezu a lámání.

Některé zahraniční firmy, zabývající se touto problematikou, si vytvořily na principu tabulky ISO vlastní třídění třísek podle něhož posuzují stupeň utváření. Nutnost takového řešení je vyvolána především snahou o celkové zjednodušení zkoušek utváření a zvýšení jejich objektivnosti, protože kromě hodnocení třísek podle objemového koeficientu je většina dalších metod založena na vizuálním pezování utvářené třísky.

2.3. Fyzikální podstatu tvarevní a dělení třísek

Při obráběcím procesu se snažíme pracovat hospodárně, produktivně a kvalitně. Tyto požadavky závisí hlavně na /6/ :

1. streji /výkon, přesnost, tuhost, rezah at./
2. mástreji /materiál, geometrie řezného klínu /
3. druhu a rozměru obráběného materiálu
4. řezných podmínkách

5. ostatních požadavcích na obráběcí proces

Geometrické parametry řezné části nástroje plynou z procesu řezání různě. Při volbě optimální geometrie je nutné sladit různé požadavky a docílit výhodnosti geometrie z těchto hledisek :

1. zabezpečit maximální trvanlivost nástroje, t.j. velit geometrické parametry tak, aby trvanlivost byla v mezích možnosti co největší a spotřeba energie co nejméně.
2. zabezpečit dostatečnou pevnost řezné části nástroje
3. zabezpečit minimální spotřebu energie a docílit výhodný poměr řezných sil
4. zabezpečit technologické požadavky na přesnost a jakost povrchu vyráběné součástky
5. zabezpečit klidný průběh řezání, to znamená zamezit vzniku dleuhých stuhovitých nepřerušovaných třísek a zamezit možnosti vzniku nežádoucího chvění soustavy strej-nástroj-ebrohek.

Pedle stavu materiálu lze uskutečnit oddělení třísky různými způsoby : 1/ odtržením

2/ odstržením

ad 1/ odtržením vznikají neutvárené třísky. Poměr napětí musí být

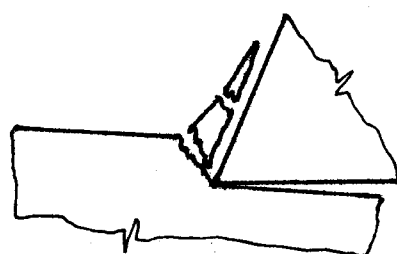
$$\frac{\tau}{G} < 1$$

τ - tangenciální napětí

G - normálové tahevé napětí

Vznik odtržené třísky ukazuje obr.7.

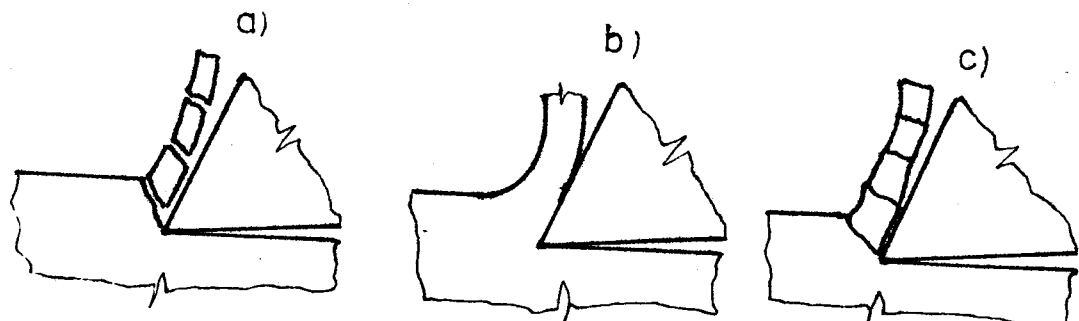
Obr.7. Tříská vzniklá odtržením



a) odstřízením vznikají utvářené třísky. Poměr tangenciálního a tahového napětí musí být větší než 1.

$$\frac{\tau}{G} > 1$$

Vznik třísek odstřízením ukazuje obr.8.



Obr.8. Tříská vzniklá odstřízením

a/ článkovitá tř. - jednotlivé článkovité elementy navzájem nesouvisejí

b/ plynulá tř.

c/ stupňovitá tř. - jednotlivé spojené elementy, které se od sebe strukturálně liší

Jak zde bylo uvedeno a jak uvádí /5/ může tedy vzniknout
 tříška : A/ neutvářená
 B/ utvářená
 C/ pěchovaná

ad A/ Neutvářenou tříškou nemusí být pouze tříška nedělená, plynulá tak zvaný "drát". Může se jí stát i tříška dělená, která však má buď nestabilní, resp. nerovnoměrný průběh dělení nebo se dělí na příliš dlouhé části, které špatně odcházejí z místa řezu nebo se namotávají na obrubek či nástroj.

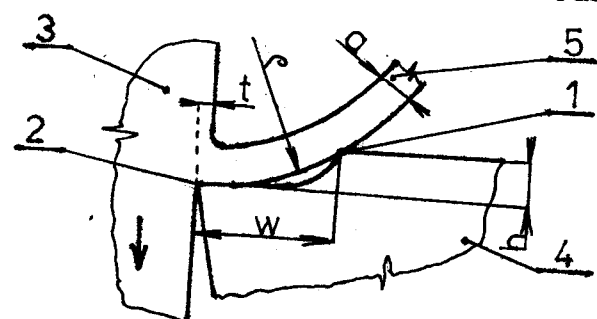
ad B/ Za tříšku utvářenou se považuje tříška, která se pravidelně dělí na dostatečně krátké elementy, odcházející z místa řezu bez nebezpečí poškození obrubku, nástroje nebo peranění obsluhy stroje.

ad C/ Jestliže jsou řezné podmínky příliš odlišné od podmínek vhodných pro daný typ utvářeče, dochází sice k oddělování třísek ve smyslu bodu B, ale tříška je velmi pěchovaná. Projevuje se to výrazným zhoršením jakosti obráběné plochy i zvýšeným namáháním břitu nástroje a chvěním soustavy stroj - nástroj - obrubek.

2.4. Matematické základy utváření třísek pomocí utvářečů

Při matematickém řešení utváření třísky je nejprve nutné seznámit se s geometrickým tvarem utvářečů. K tomu slouží obr.9.

Obr.9. Geometrické prvky
 utvářeče třísek
 1. Vrchol žlábků
 2. Řezná hrana
 3. Obrubek



4 Nástroj

5 Tříška

a - hleubka třísky

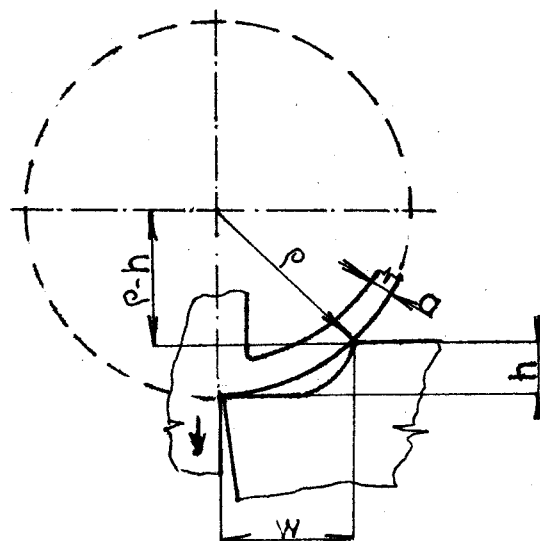
t - hleubka řezu

h - výška utvařeče

w - šířka utvařeče

ρ - poloměr křivosti třísky

Nejjednoduší matematický výpočet poloměru zakřivení odcházející třísky vypracoval Hemmiksen. Ve své práci při měření utváření třísky pomocí utvařečů předpokládal, že se tříška a nástroj dotýkají pouze ve dvou bodech. Místo dotyku uvažoval jednak na řezné hraničce, jednak na vrcholu schůdku. Model práce utvařeče ukazuje obr.10.



Obr.10.Utvářec třísky ve tvaru schůdku

Poloměr křivosti je pak dán vztahem :

$$\rho = \sqrt{h^2 + w^2} \quad \text{a po úpravě}$$
$$\rho = \sqrt{\frac{w^2}{2} + h^2}$$

Získáme tak poloměr stáčení třísky při známých hodnotách w a h . Dotykal se třísky čelní plochy určité části utvařeče v délce l, pak vztah pro ρ je pozměněn na tvar

$$\rho = \frac{(w-l)^2}{2h} + \frac{h}{2}$$

Creveling a Jorden stanovili závislost dotyku třísky na čele nástroje

$$\frac{l}{a} = k \quad \text{a po úpravě} \quad l = k \cdot a$$

k - konstanta pro daný materiál/ pro ocel k=1/

Po dosazení získáme výsledný vztah

$$\rho = \frac{(w-k \cdot a)^2}{2h} + \frac{h}{2}$$

Zóna dotyku nástroje-tříiska ovlivňuje poloměr křivosti natolik, že neuvažování této vlivu můžezpůsobit ve výpočtu značnou chybu.

Procesem utváření třísky se zabýval Nakayama. Zjistil, že při tvarevání třísky revinným schůdkovitým utvařečem nakloněným pod úhlem γ k čelní ploše nože je poloměr křivosti stáčení třísky dán vztahem :

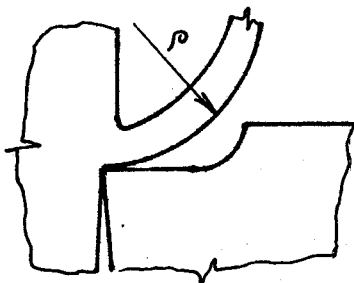
$$\rho = k \cdot C \cdot t g \gamma$$

C - konstanta závislá na obráběném materiálu

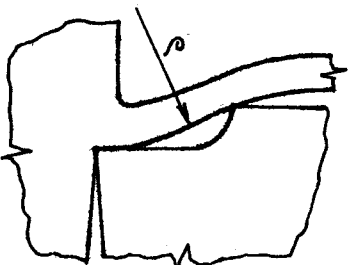
k - šířka dna schůdkového utvařeče

γ - sklon schůdku

Velikost hednoty ρ je přímo závislá na procesu utváření třísky a tím ovlivňuje návrh tvaru a rozměru utvařeče. Je-li hednota ρ příliš malá, tříска se neopře o boční plechu schůdku a dostáváme tak neporušenou stáčenou třísku. Tuto situaci zebrazuje obr.11.

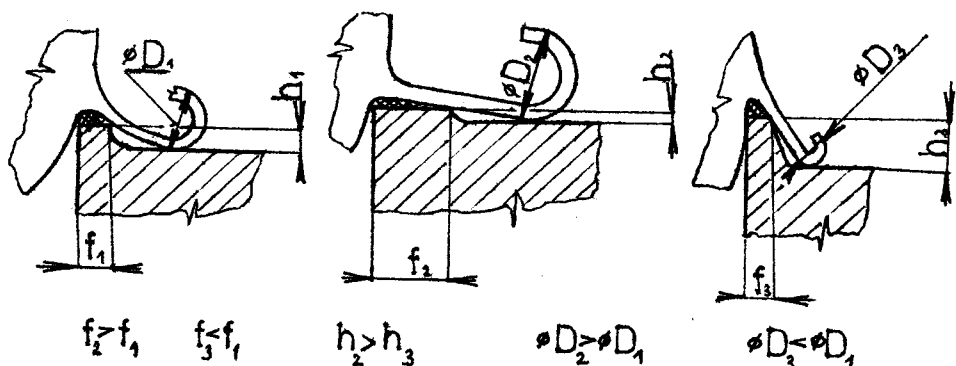


Obr.11. Utváření třísky s malou hednotou ρ .
Je-li hednota ρ příliš velká a tloušťka třísky a malá, tříiska sklouzne po boční hraně, nestáčí se a dochází k nebezpečnému namotávání na muž. To ukazuje obr.12.



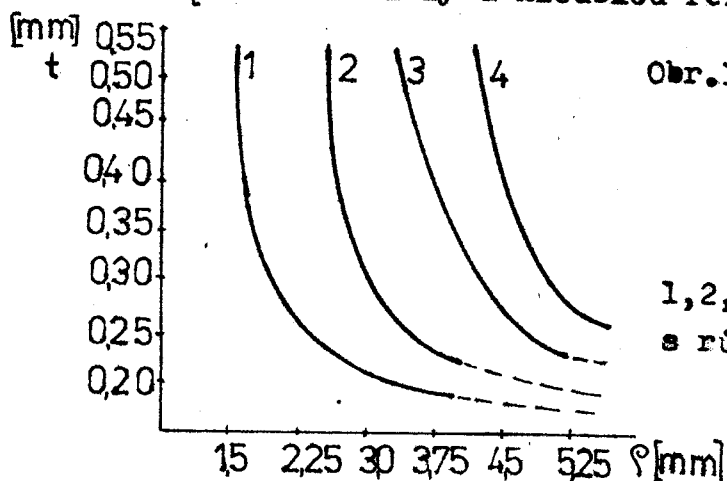
Obr.12. Utváření třísky s velkou hednotou ρ

Obdobná pravidla platí, tvarujeme-li třísku tak že ji postavíme do cesty i na př. rovnou plechu /obr.13./. Pak podle /6/ je průměr stáčení třísky závislý na skutečném úhlu čela, který je ovlivňován tvarem nárůstku. Dále závisí na šířce fazetky, kleubce tvarevací plešky, velikosti posuvu a plastičnosti obráběného materiálu.



Obr.13. Utváření třísky roviným utvařečem

Jedním z rozdělujících prvků pro správnou funkci utvařeče je i šířka žlábků. Vliv šířky žlábků na závislost mezi pelemrem stáčení třísky a kleubkou řezu plyne z obr.14.



Obr.14. Závislost pelemru stáčení tř. na hl. řezu při různých šířkách žlábků

1,2,3,4 - nástroje s různou šírkou žlábků

Při studiu přírezemého stáčení třísky došel podle /7/ japonský výzkumný kolektiv k témté úvahám a závěrům :

1. tříská má šroubovitý tvar

2. jestliže je čele nástroje rovné, pak je zakřivení a stoupání šroubovice třísky a peleha její osy vzhledem k obráběnému povrchu dána třemi nezávislými veličinami :

a/ úhlem odchodu třísky

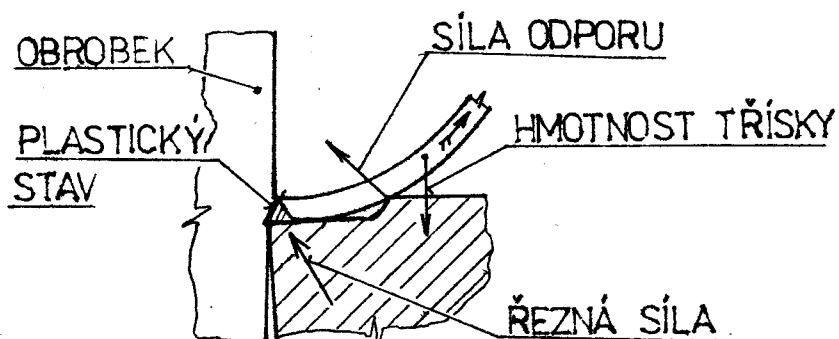
b/ poloměrem stáčení třísky v přímém pohledu

c/ poloměrem stáčení třísky v běžním pohledu

Kolektiv uvádí, že při většině operací obrábění kovů je tvar třísky nestabilní i když řezné podmínky jsou zámlivě shodné. K tomu dochází především z těchto důvodů :

1. Změny hodnot a směru sil, účinkujících na třísku.

Jestliže se na čele nástroje nachází překážka, vzniká síla odporu, působí zde ještě výsledná řezná síla a hmotnost třísky /obr.15./. Tyto síly vyvolávají v třisce nestálé rozložení vnitřních napětí a ohybových momentů. V době řezání je materiál obrobku v místě kořene třísky v plastickém stavu a stří malá změna rozložení napětí, aby se změnil směr odchodu třísky. Tříská se odchýlí ve směru, v kterém klesá ohybový moment a síla odporu.



Obr.15. Síly působící na třísku

2. Měasuredest obráběného materiálu.

Obráběný a řezný materiál, který se používá v průmyslu nemá stejné chemické složení, strukturu a dodržený postup při zpracování za tepla a za studena v porovnání s materiélem stejného normativního označení.

3. Přechodový stav v počátečním stadiu řezání.

Před řezáním je čele nástroje pokryté mastnou emulsí, vrstvou pehlíčkového kyslíku a dalších chemických prvků. Při řezném procesu se tyto vrstvy odstraňují a zóna se chemicky stabilizuje. Koefficient tření a poloměr stáčení třísky se tedy zpočátku mění, po stabilizaci zóny se ustálí.

Z uvedeného je zřejmé, že proces utváření třísky je velice složitý a má na něj vliv mnoha faktorů, které je nutno brát v úvahu.

2.5. Základní principy utváření třísky při seustružení

Tvar vznikající třísky a směr jejího odchodu je možné ovlivnit různými způsoby. Podle /5/ patří mezi tyto způsoby hlavně : 1/ Použití vybrušovaných stupňů a drážek na čele nástroje.

2/ Použití příložných typů utvařeců třísky

3/ Použití předlisevaných typů utvařeců třísky

4/ Volba vhodných řezných podmínek

5/ Oscilace nástroje nebo přerušování posuvů ad 1/ Použití vybrušovaných stupňů a drážek na čele nástroje.

Velkou výhodou u tohoto způsobu je jednoduchost výroby i obsluhy, ale tento způsob má i své nevýhody a proto je jeho použití omezené. Výroba těchto utvařeců zvětšuje cenu destičky o zvýšené náklady na broušení. Opakovatelnost utvařecích

schopnosti po přeostření je problematická a tyto utvařeče není možno použít v širokém rozmezí.

Šířka vybrušovaného stupňovitého utvařeče se podle ing. Stanka dá vypočítat pro konkrétní řezné podmínky ze vztahu

$$w = 8,35 \frac{s^{0,26}}{v^{0,08}} \frac{t^{0,21}}{\sigma_1^{0,23}} \quad [\text{mm}]$$

w - šířka utvařeče

t - hloubka řezu [mm]

v - řezná rychlosť [m/min]

s - posuv [mm/ot]

σ_1 - pevnosť materiálu obrobku [kg/mm²]

ad 2/ Použití příložných typů utvařečů třísek.

Tento způsob odstraňuje některé nevýhody vybrušovaných utvařečů - snižuje pracnost, je zde možnost změny vzdálenosti utvářecího stupně od řezné hrany. Nevýhodou příložných utvařečů je však možnost vniknutí třísky mezi destičku a utvařeč, z čehož může vzniknout porušení destičky. Příložné utvařeče se používají : a/ pevné

b/ přestavitelné

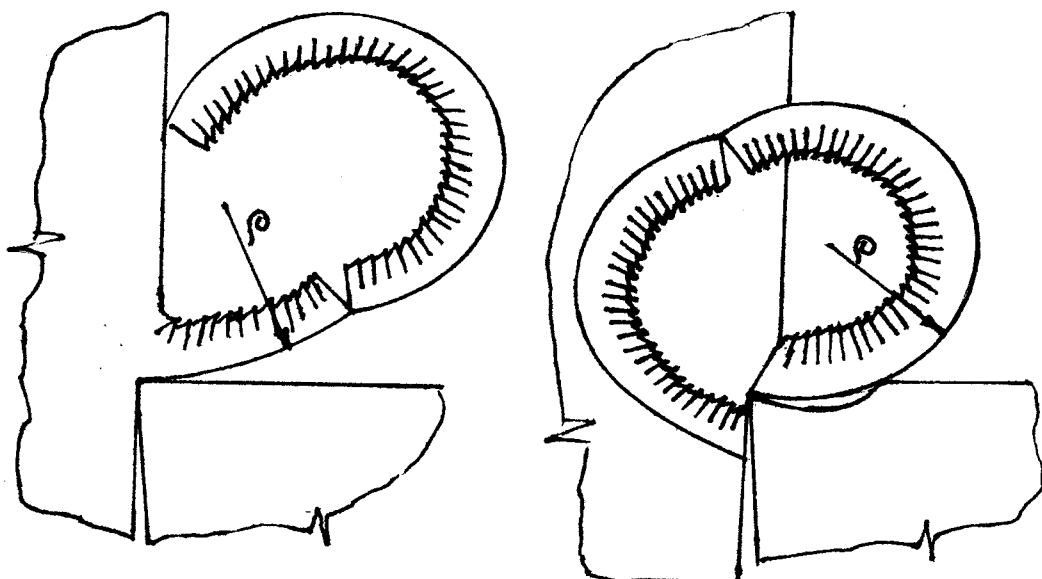
ad 3/ Použití předlisovaných typů utvařečů.

Metoda předlisovaných utvařečů se v současné době používá nejvíce. Je nejmodernější a nejprodutivnější, vhodná hlavně pro NC stroje na automatických obráběcích pracovištích.

Na čele destičky se vyrábějí utvařeče nejrůznějších tvarů, zajišťujících utváření třísky v širokém rozmezí řezných podmínek a pro různé druhy obráběného materiálu.

Utváření a lámání má pomocí předlisovaných uvařečů v principu následující průběh :

- a/ tříска je utvářečem usměrněna a odváděna s radiusem zakřivení
- b/ přední konec odcházející třísky narazí na hřbet nástroje nebo na povrch obrobku
- c/ dochází ke zvětšení poloměru zakřivení třísky
- d/ vlivem zvětšení poloměru zakřivení třísky dojde k tzv. napružení , při kterém se překročí kritická hodnota napětí potřebná k porušení třísky a dojde k jejímu lomu /Obr.16./.



Obr.16. Mechanismus lámání třísky

Rozhodující vliv na tvorbu třísky má fazetka, která

určuje délku kontaktu tříска-nástroj. Její rozměry určují minimální posuv, při kterém začíná odrezávaná tříска vstupovat do utvářecího žlábku a spolu se šírkou žlábku ovlivňuje poloměr zakřivení třísky a tím i způsob jejího lámání.

ad 4/ Volba vhodných řezných podmínek.

Na utváření mají vliv i řezné podmínky, zejména posuv a hloubka řezu. Vliv řezné rychlosti na utváření je v poměrně širokém rozsahu nevýrazný.

Při volbě posuvů a houbek řezu je účelné přihlédnout ke skutečnosti, že při poměru posuv : hloubka = 1 : 10 dochází velmi často k samovolnému utváření třísky. Velké hloubky a malé posovy jsou nevhodné. V případě dokončovacích operací je vhodné volit vyšší hodnoty posuvu a vyměnitelné destičky s větším radiusem špičky, aby byl splněn požadavek drsnosti povrchu i utváření třísky. Tam, kde je nezbytná volba malého posuvu /pod hranicí $s=0,15 \text{ mm} \cdot \text{ot}^{-1}$ / je třeba navrhovat destičky s malým radiusem, aby utvářec zasahoval co nejvíce do špičky a vhodně ovlivnil dělení třísky.

ad 5/ Oscilce nástroje nebo přerušení posuvu.

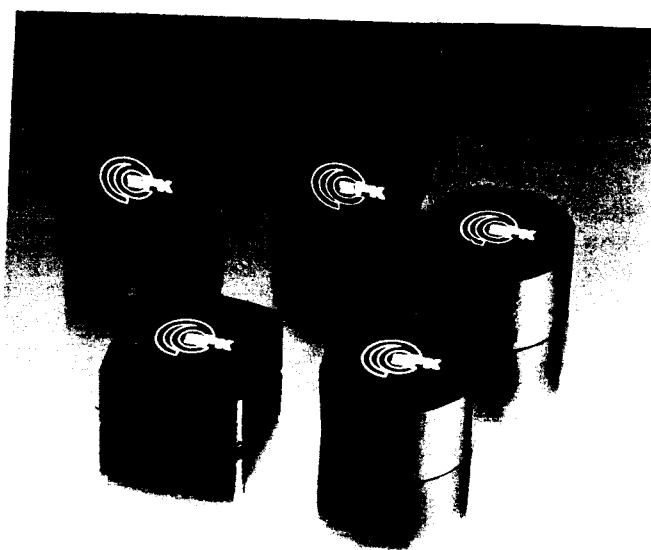
Tato metoda umožňuje utvářet třísky bez seřizování na libovolný druh obráběného materiálu. K lámání třísky dochází v důsledku koncentrace napětí v průřezu třísky, který se periodicky mění vlivem kmitavého pohybu nástroje. Kmitání nástroje nebo celého suportu se provádí buď mechanicky nebo hydraulicky. Tento způsob je vhodný pro hrubování, kde mejsou zvýšené nároky na dosažení drsnosti obráběných ploch.

2.6. Stav utvářeců na keramických řezných destičkách

V současné době vyrábějí některé zahraniční firmy i na keramických řezných destičkách příslušné utvářeče. Na př. fy Feldmühle /8/ dodává své výrobky s různými druhy utvářeců. Nejjednoduší konstrukční úpravou jsou standartní fazetky : $0,5 \text{ mm} \times -20^\circ$ používá se hlavně pro jemné soustružení a soustružení na čisto litin a oceli.

$0,2 \text{ mm} \times -20^\circ$ používá se hlavně pro hrubování a soustružení na čisto litiny.

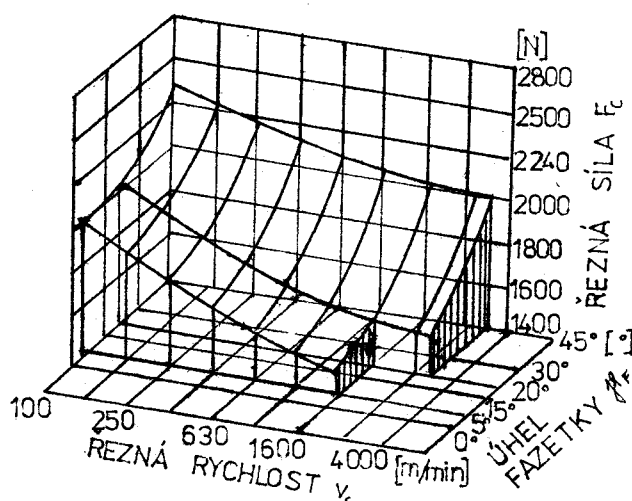
$0,7 \text{ mm} \times -20^\circ$ používá se hlavně pro hrubování a soustružení na čisto oceli. Tyto fazetky ukazuje obr.17.



Obr.17. Aplikace fazetek na řezná keramice

Při aplikaci fazetek se využívá vlivu změny geometrie

fazetky na řeznou sílu /obr.18/. Se vzrůstajícím úhlem fazetky strmě vzrůstá i řezná síla / F_c / . Je zřejmé, že řezná síla poklesne se vzrůstající rychlostí. Dobrá pevnost této keramiky usnadňuje volbu malé fazetky a umožňuje tak práci s malými řeznými silami.



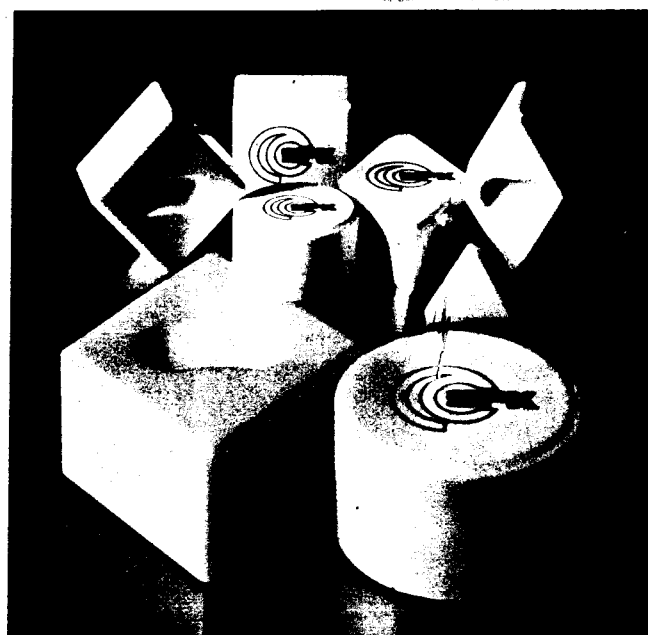
Obr.18. Prostorový diagram řezné rychlosti, úhlu fazetky a řezné síly

Pro případy, kdy použití fazetky nestačí je destička doplněna ještě o utváreč. Používají se utváreče mechanické i předlisované. Mechanické utváreče se většinou používají pro obrábění litiny. Zajišťují příznivé rozložení řezných sil/obr.19/.

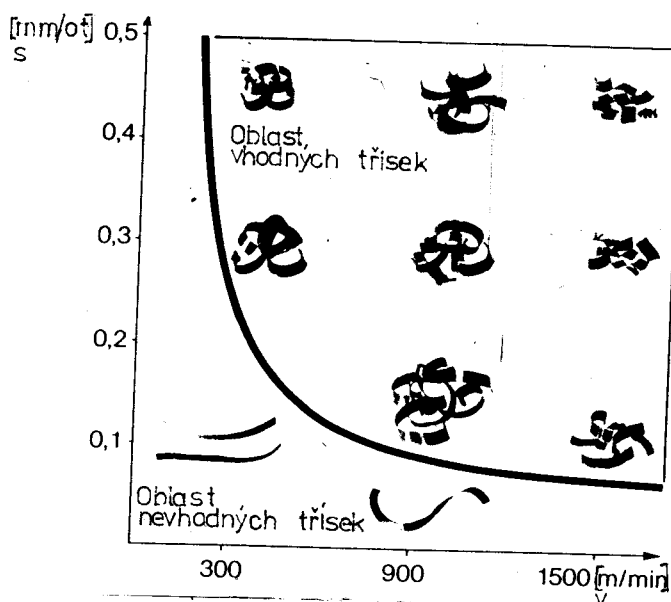
Pro oblast malých posuvů a malých hloubek byly vyvinuty předlisované utvářecí elementy, které mohou značně usnadnit situaci s odvodem třísek. Obr.20 ukazuje destičky s takovýmto utváreči. Vliv řezné rychlosti na utváření třísky v sávlosti na posuvu ukazuje obr.21.



Obr.19.Mechanický utvařeč třísek používaný fy Feldmühle

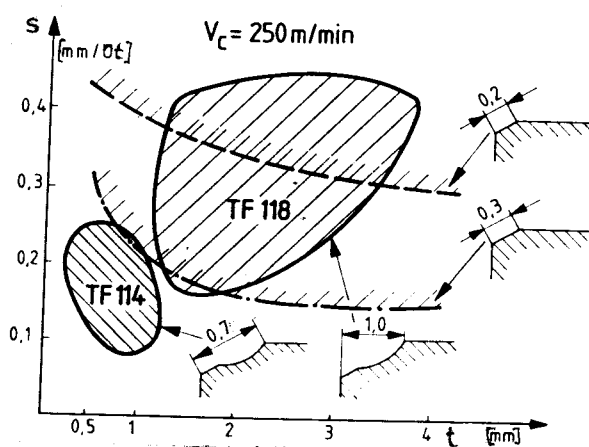


Obr.20.Předlisované utvařeče pro oblast malých posuvů
a malých hloubek řezů



Obr.21. Vliv řezné rychlosti na utváření třísky v záv. na posuvu
/Formování třísky fazetkou $0,2 \times 20^\circ$,

Na obr. 22. je možno sledovat pracovní oblast popsaných utvářečů, které označuje firma jako TF114 a TF118 a pracovní oblast ochranné fazetky v diagramu posuv - hloubka řezu.



Obr.22. Pracovní oblast utvářečů TF 114 a TF 118 a ochranných fazetek

○ - oblast vhodného utváření tř.

3. Návrh geometrie utvařečů pro obrábění ocelí tříd obrobitevnosti 13 b a 14 b

3.1. Návrh geometrických prvků utvařeče

Při navrhování geometrie utvařeče jsem vycházel z prostudované literatury s nutným přihlédnutím ke konkrétním podmínkám obrábění, pro které je utvařec konstruován. Bylo nutné brát v úvahu možnosti výrobce keramických destiček koncernového podniku DIAS Turnov a požadavky podniku AZNP Mladá Boleslav, který tento utvařec požaduje pro práce na svém výrobku. Jedná se o obrábění rejdrového čepu na vnitřním průměru, na čisto.

Při navrhování modelu utvařeče je nutné vycházet z těchto poznatků : 1. podle obráběného materiálu volit hloubku schůdku : a/ minimální hloubka $h \geq 0,16$ mm - při této hodnotě dochází již k tvarování třísky

b/ při velikosti $h \geq 0,6$ mm se prodlužuje styk třísky s destičkou, což můžezpůsobit větší opotřebení destičky

2. poloměr zaoblení špičky břitové destičky r_ϵ , má být volen podle vztahu /4/

$$r_\epsilon = (2+2,5)s$$

Volba poloměru závisí nejvíce na posuvu /špatná volba poloměru způsobuje velké opotřebení špičky/.

3. úhel nastavení nástroje je třeba volit tak, aby odcházející tříška se nelámalá o obráběny povrch

4. Je nutné respektovat praktické

poznatky z procesu řezání kovů i teoretické vědomosti.

Volené geometrické prvky utvářeče :

1/ hloubka schůdku

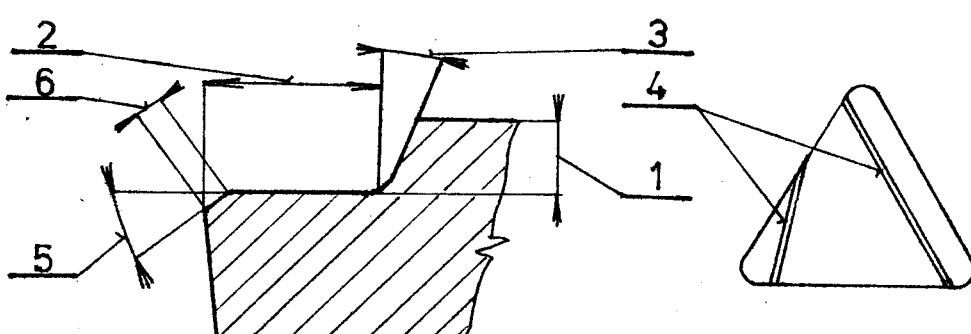
2/ vzdálenost schůdku od řezné hrany k ose zaoblení

3/ úhel sklonu čela schůdku

4/ poloha utvářeče na břitové destičce

5/ úhel fazetky

6/ velikost fazetky



Obr.23. Volené geometrické prvky utvářeče

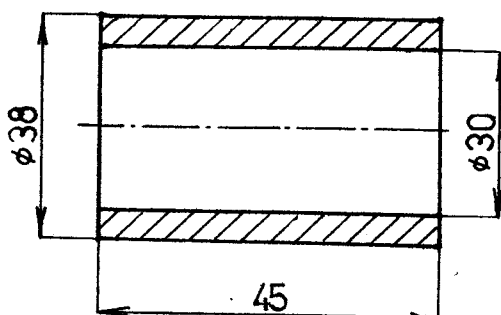
3.2. Popis měření a vyhodnocení

Podmínky měření

S přihlédnutím k požadavkům AZNP Mladá Boleslav jsem volil tyto podmínky:

1. Obráběcí stroj - universální soustruh SU - 32 standardního provedení .
2. Nástroj - soustružnický nůž Narex 20x20 PN 3866.2 s mechanicky upnutou keramickou destičkou TPUN 090304 - E00300
3. Obráběná součást - rejrový čep , materiál 14 140

ČSN 41414 upravený pro zkoušení v podmírkách dílen
VŠST Liberec podle přiloženého obrázku /obr.24/



Obr.24. Obráběná součást

4. Řezné podmínky - požadovaná řezná rychlosť $v=94\text{m/min}$
z toho $n = \frac{v \cdot 1000}{D} = 997,3$ což ≈ 1000 ot/min

$$s = 0,05 ; 0,1 ; 0,145 ; 0,2 \quad [\text{mm/ot}]$$

$$t = 0,1 ; 0,2 ; 0,3 \quad [\text{mm}]$$

Při zkoumání oblasti utváření byl k vyhodnocení použit $t-s$ diagram. Tento diagram je velice často používán, protože dává rychlý a dostatečný přehled o kvalitě utváření. K jeho sestavení byl celý zkoumaný interval posuvu a hloubek řezu rozložen do několika kroků. Pro příslušnou oblast byl vždy posuv a hloubka řezu konstantní. Diagram byl rozdělen na 12 oblastí :

$$s = 0,05 \qquad t = 0,1$$

$$s = 0,1 \qquad t = 0,2$$

$$s = 0,145 \qquad t = 0,3$$

$$s = 0,2$$

Z každé kombinace posuvu a hloubky řezu byly odebrány

třísky, které byly ukládány do sáčků označených příslušným posuvem a hloubkou řezu. Třísky z každé oblasti byly odebírány z nového obrobku, tedy vždy na 12 obrobcích byl odzkoušen jeden utvařeč. Tento způsob byl volen s ohledem na měření drsnosti obrobene plochy, aby se měření neprodlužovalo. Kvalita obrobene ploch byla zjištována přístrojem HOMMEL - TESTER TYP - T3.

Získané třísky byly rozmístěny do příslušných políček t - s diagramy a ofotografovány. Podle fotografií byly t - s diagramy vyhodnoceny. Toto vyhodnocení probíhalo až po skončení měření a během měření bylo možné sledovat další vlivy na utváření /chvění, vytváření smotků, odletování třísky a pod./.

K vyhodnocování utvařečů bylo přistupováno z několika hledisek :

1. Vyhodnocení t - s diagramů
2. Odchod utvářené třísky
3. Kvalita obrobene plochy

Při utváření má většinou velký vliv kombinace hloubky třísky a posudu. Podle těchto parametrů vzniká oblast správného utváření. Uvnitř této oblasti jsou třísky, které jsou správně utvářené, vně oblasti pak třísky nevhodně utvářené nebo vůbec neutvářené.

Při určování oblasti utváření je vhodné přihlídnout i k součiniteli spolehlivosti utváření /4/. Podle této literatury se součinitel spolehlivosti vypočte ze vztahu

$$A_C = \frac{P_C}{N_C}$$

A_C - součinitel spolehlivosti pro celý rozsah použití břitové destičky s utvařečem

P_c - počet prvků /průsečíků v diagramu t - s / při kterých odcházející tříška odpovídá utváření

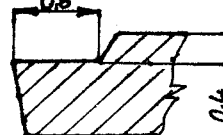
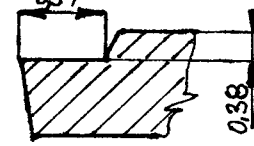
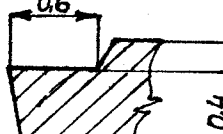
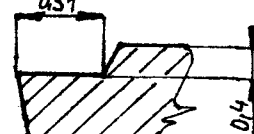
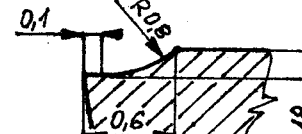
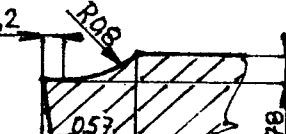
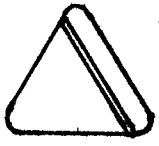
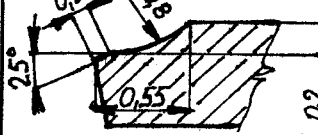
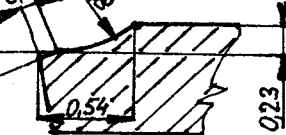
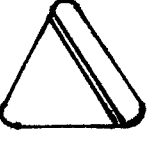
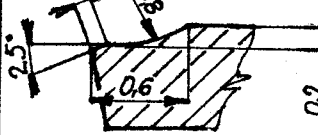
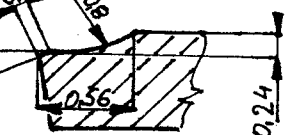
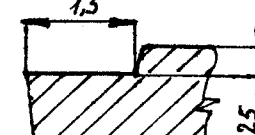
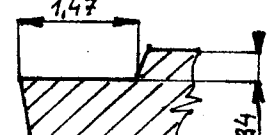
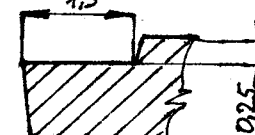
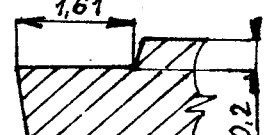
N_c - počet všech prvků v t - s diagramu

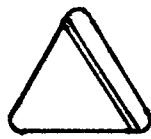
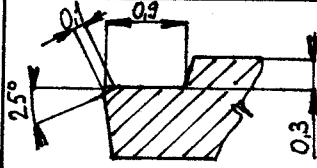
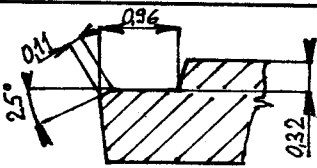
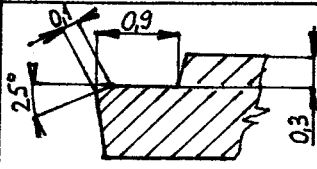
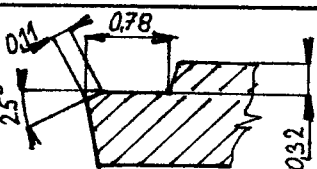
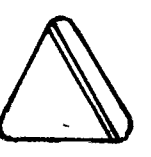
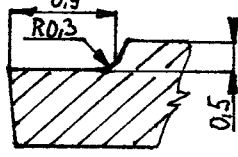
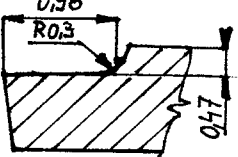
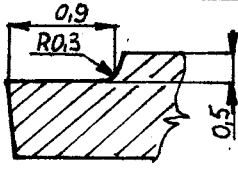
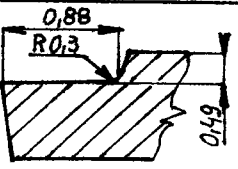
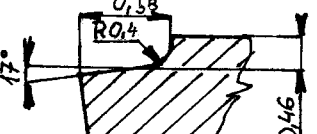
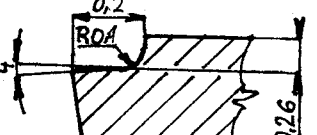
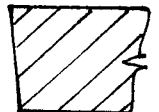
Součinitel spolehlivosti byl jedním z kriterií, použitých při hodnocení utvářeců. Celkové hodnocení bylo souhrnem všech působících vlivů na práci utvářče.

3.3. Návrh geometrie utvářeců

Utvářče byly navrhovány po prostudování příslušné literatury s ohledem na požadavky výrobce i zákazníka. Jedná se o utváření při jemném soustružení. S ohledem na obtížnost vybrušování většího počtu kusů utvářeců s určitým úhlem sklonu schůdku bylo na přání výrobce destiček od této varianty upuštěno a volen nulový úhel sklonu schůdku. Byl měněn úhel čela schůdku, hloubka schůdku, vzdálenost schůdku od řezné hrany k ose zaoblení a poloha utvářče na břitové destičce. Použito bylo také několik typů utvářeců s plynulým radiusem místo klasického schůdku. Některé typy byly doplněny fazetkou 0,1 nebo $0,2 \times 20^\circ$. Přehled navržených a skutečných hodnot vybraných na destičce ukazuje tab. 3. Destičky s utvářecem č. 12 a č. 13 byly navrženy výrobcem a v dílnách VŠST Liberec pouze odzkoušeny. Destička č. 14 byla "hladká", bez utvářče a je zařazena pro srovnání utváření a kvalitu obrobenej plochy.

Tab.3. Přehled navržených a skutečných rozměrů vybroušených utvářeců

Č.	UMÍSTĚNÍ UTVÁŘECHE	NAVRŽENÉ HODNOTY	SKUTEČNÉ HODNOTY
1.		 0.6 0.4 0.4	 0.54 0.38 0.38
2.		 0.6 0.4 0.4	 0.51 0.4 0.4
3.		 0.1 R0.8 0.6 0.18	 0.2 R0.8 0.57 0.178
4.		 0.1 R0.8 0.53 0.2	 0.16 R0.8 0.54 0.23
5.		 0.1 R0.8 0.6 0.2	 0.16 R0.8 0.56 0.24
6.		 1.5 0.25	 1.47 0.134
7.		 1.5 0.25	 1.61 0.2

C.	UMÍSTĚNÍ UTVARĘCE	NAVRŽENÉ HODNOTY	SKUTEČNÉ HODNOTY
8.			
9.			
10.			
11.			
12.			
13.			
14.			

4. Výroba a odzkoušení utvařeče

4.1. Popis výroby utvařečů

Použití vybrušovaných utvařečů na řezné keramice má sice značný přínos z hlediska dobrého odchodu třísky z místa řezu, ale na druhé straně je nutné brát v úvahu i nevýhodu tohoto způsobu. Při výrobě uvedených utvařečů byla použita tuzemská keramika DISAL 100, která je prvním z vyráběných druhů řezné keramiky. Tento materiál byl velice citlivý na vyštipování řezné hrany v průběhu broušení utvařečů. Broušení bylo možné pouze diamantovým kotoučem, jehož "házení" bylo velice malé. I na velikost arna kotouče byl broušený materiál značně citlivý. Z těchto důvodů nebylo možno v dílnách VŠST Liberec tyto utvařeče vyrobit. Proto bylo využito pomocí n.p. ELITEX Ústí n. Orlici, který je dostačně vybaven příslušnými stroji i nástroji. Zde byly požadované utvařeče vyrobeny.

Vzhledem k náročné výrobě utvařečů na řezné keramice doporučuji používat těchto utvařečů po přechodnou dobu obrábění, než bude výrobce moci vyzkoušeny a vyhovující utvařeč na své destičky lisovat.

4.2. Vyhodnocení vyrobených utvařečů

Na následujících stránkách jsou vždy pro jeden utvařeč zařazeny tyto diagramy a nákresy :

- nákres geometrických rozměrů utvařeče
- fotografie řezné destičky
- fotografie t-s diagramu s ukázkou vzniklých třisek
- t-s diagram s vyznačenou oblastí utváření a hodnotami drsnosti R_a a R_{max} v μm
- vyhodnocení zkoumaného utvařeče

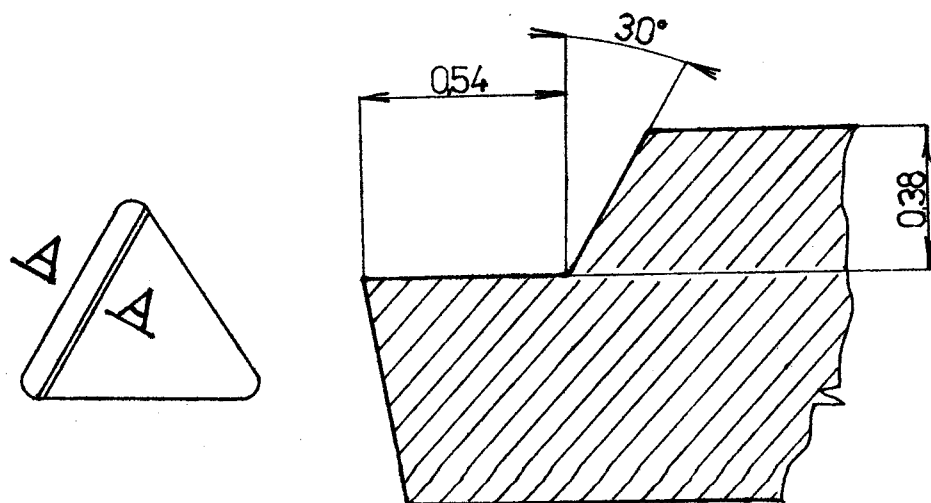
UTVAŘEC č.1.

Obr.25. Geometrické rozměry utvařeče

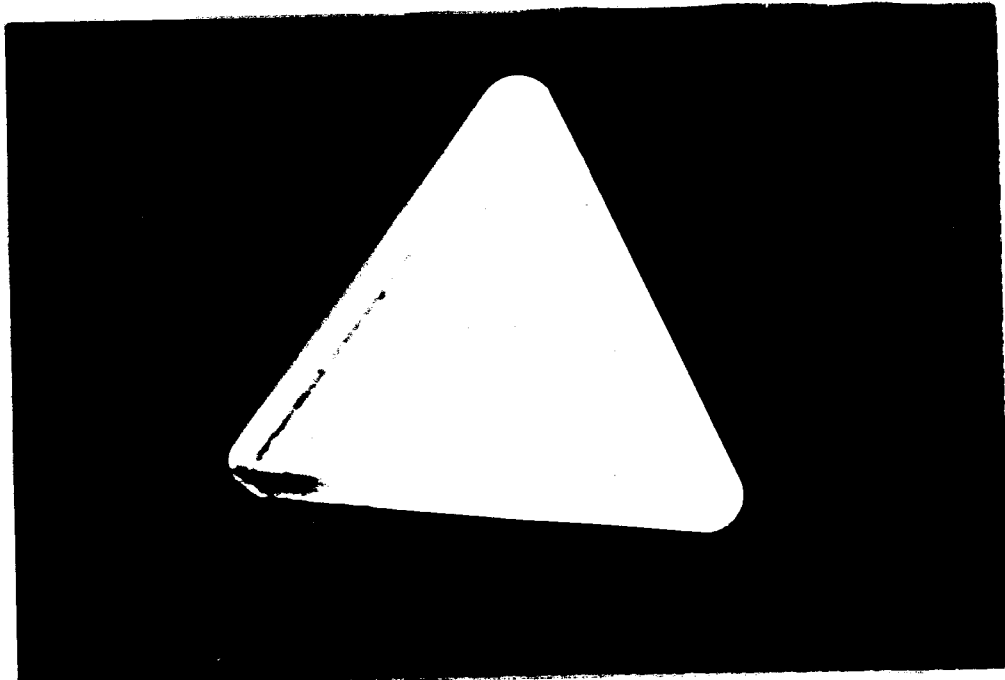
M 5:1

ŘEZ A-A

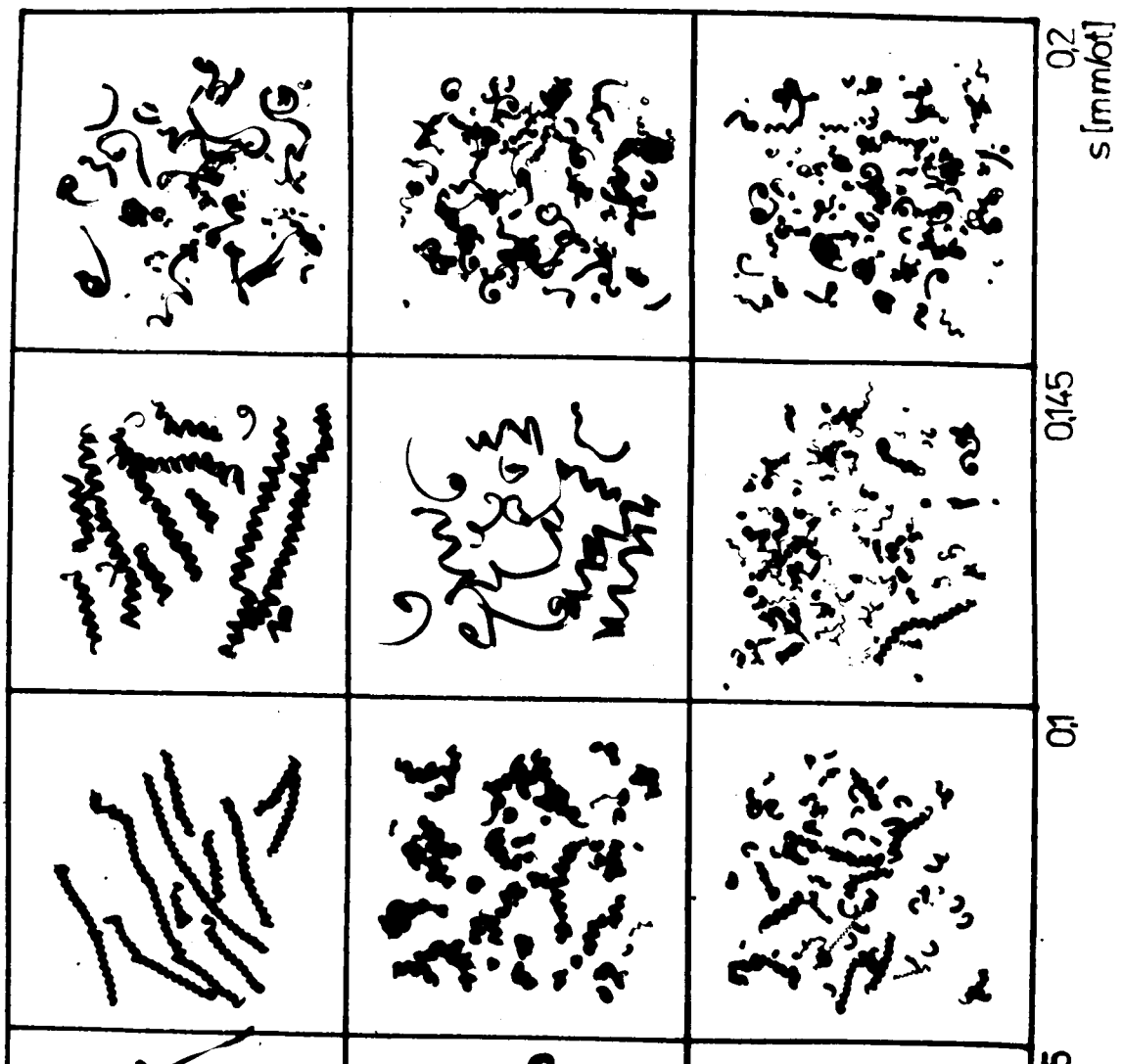
M 50:1



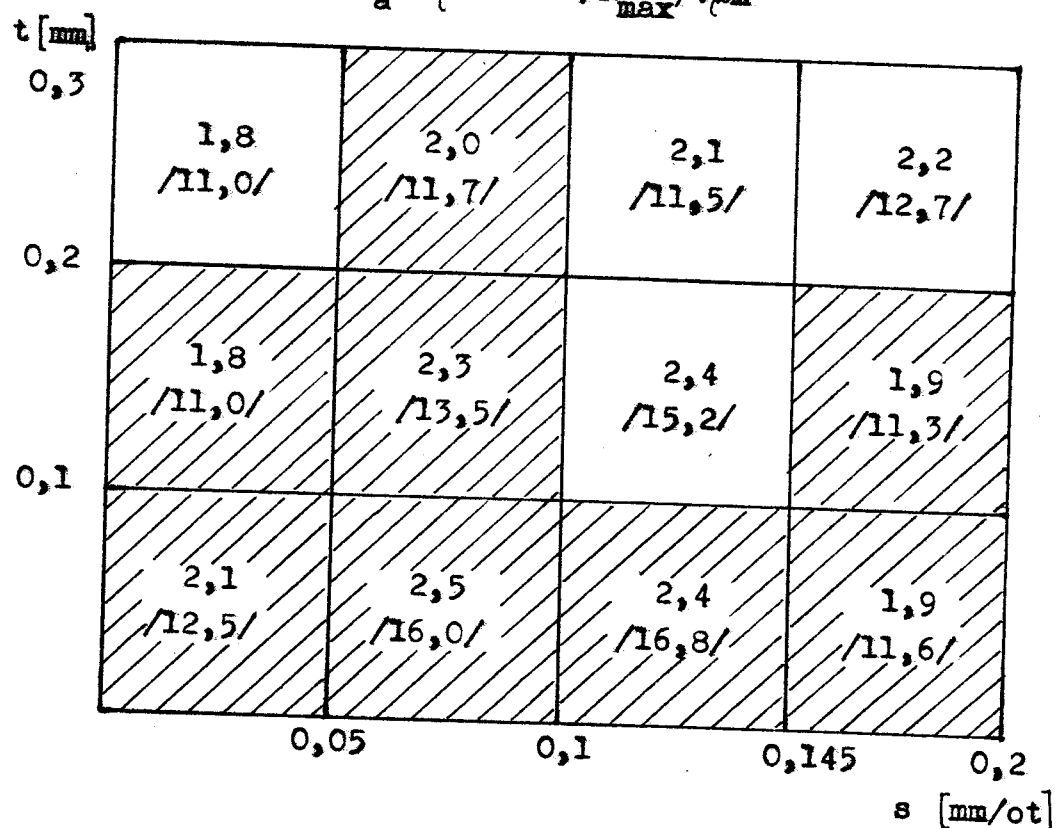
Obr.26. Umístění utvařeče na řezné destičce



Obr.27. t-s diagram pro utv. č.l. s ukázkou vzniklých trisek



Obr. 28. t-s diagram s vyznačenou oblastí utváření a hodnotami drsnosti R_a v μm a $R_{\max}/\nu\mu\text{m}$



Vyhodnocení :

Utvářeč č.1. je schůdkovitého tvaru s drážkou podél celé hrany břitové destičky. Při hodnocení byla určena oblast správného utváření podle diagramu č.28. Poměr správného utváření ku celkovému rozsahu t-s diagramu je podle součinitele spolehlivosti

$$A_e = \frac{8}{12}$$

Průměrná naměřená drsnost obroběných ploch $R_a = 2,1 \mu\text{m}$

$$R_{\max} = 12,8 \mu\text{m}$$

Vzhledem k celkovému zhodnocení vlastností utvářeče i k poměrně vysokým hodnotám drsnosti byl utvářeč hodnocen jako nevyhovující.

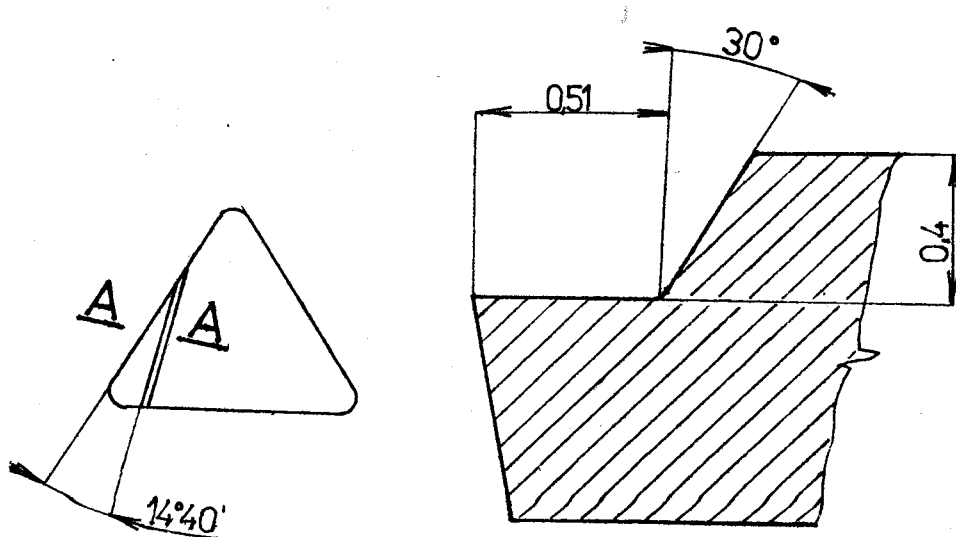
UTVAŘEC č.2.

Obr.29. Geometrické rozměry utvařeče

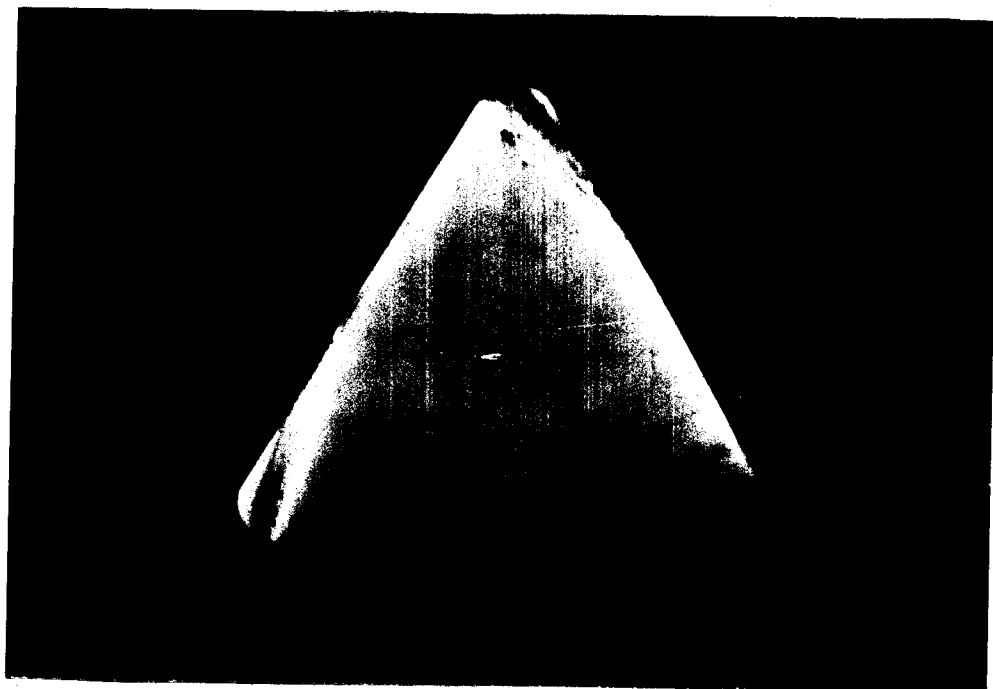
M5:1

ŘEZ A-A

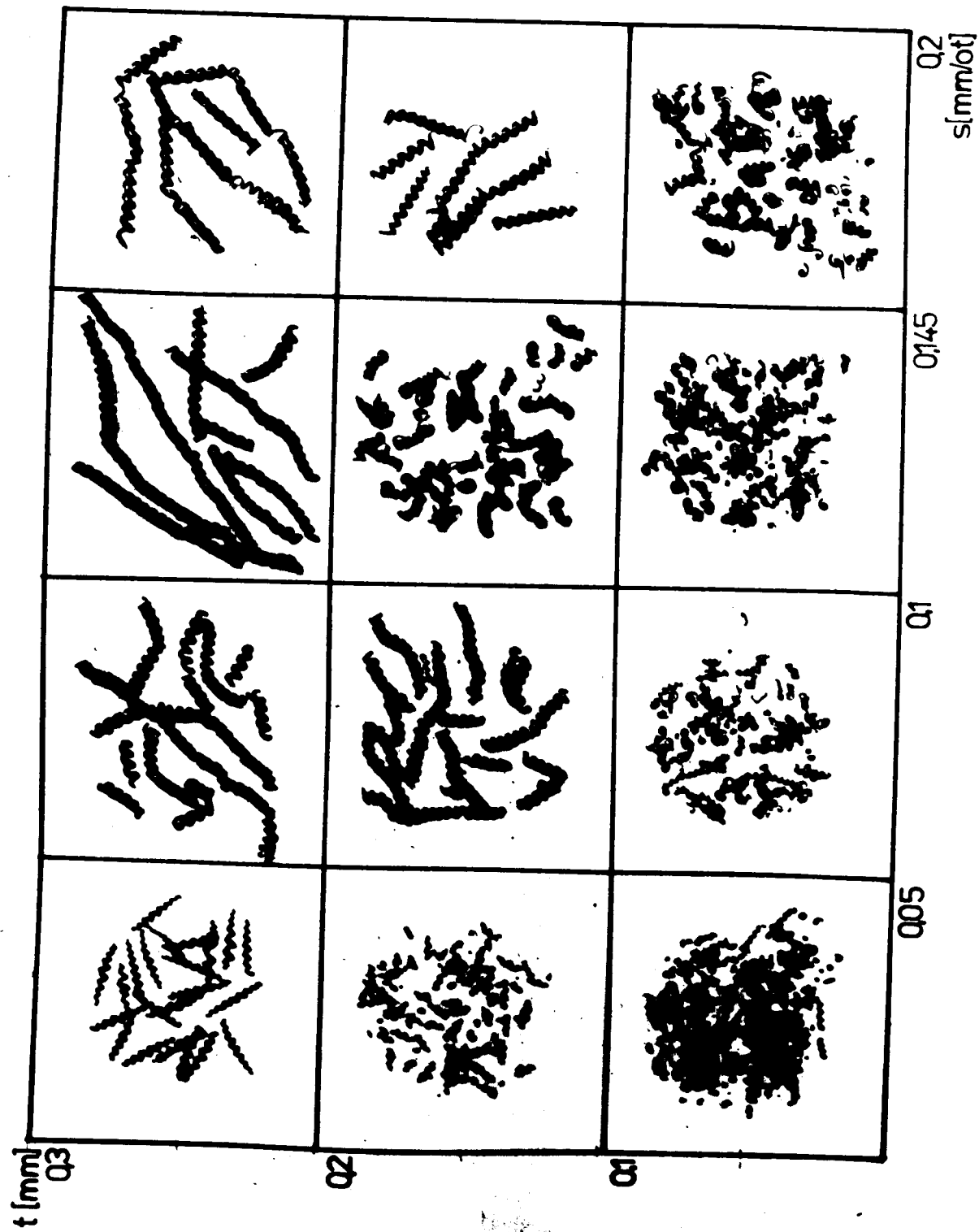
M 50:1



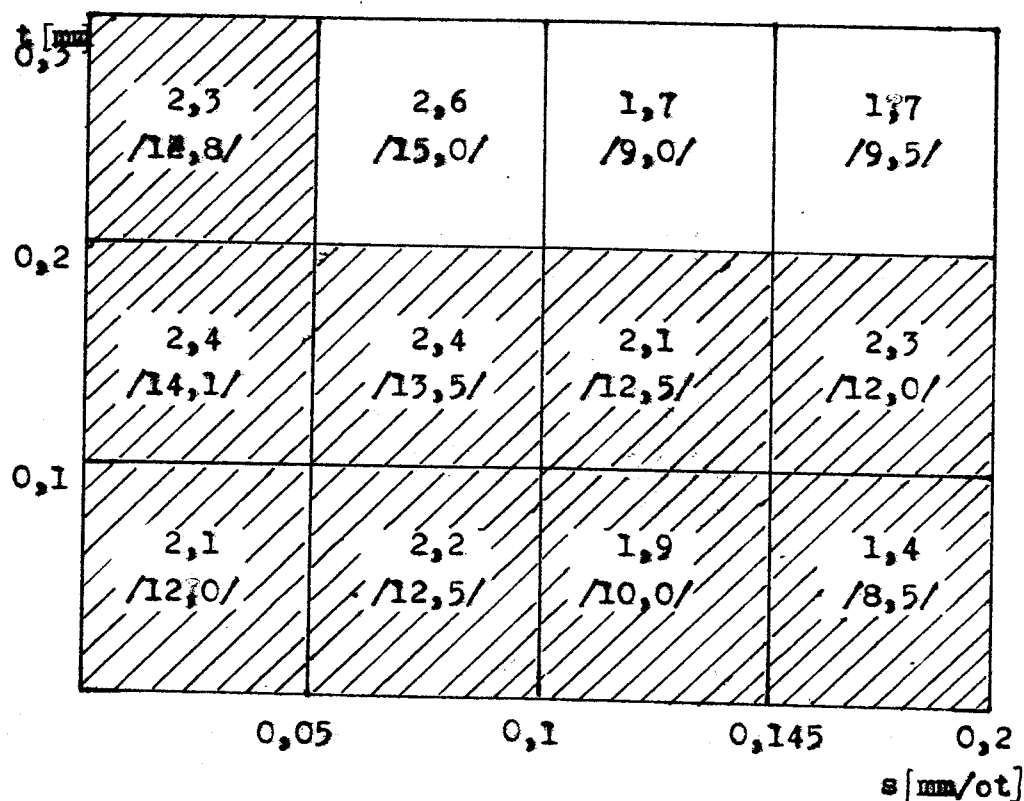
Obr.30. Umístění utvařeče na řezné destičce



Obr. 31. t-s diagram pro utv. č. 2. s ukázkou vzniklých trísek



Obr.32. t-s diagram s vyznačenou oblastí utváření a hodnotami drsnosti R_a v μm a $|R_{\max}|$ v μm



Vyhodnocení :

Destička s utvářecem č.2. má stejný tvar schůdku jako utvářec č.1., ale jiné umístění na břitové destičce. Z hlediska drsnosti obroběných ploch se dá konstatovat, že poloha utvářeče nemá výraznější vliv na kvalitu obroběných ploch. Součinitel spolehlivosti

$$A_c = \frac{9}{12}$$

Průměrná naměřená drsnost obroběných ploch $R_a = 2,09 \mu\text{m}$

$$R_{\max} = 10,75 \mu\text{m}$$

Při hodnocení vlastností s přihlédnutím k dobrému utváření byl utvářec č.2 vyhodnocen jako vyhovující v užší oblasti obrábění.

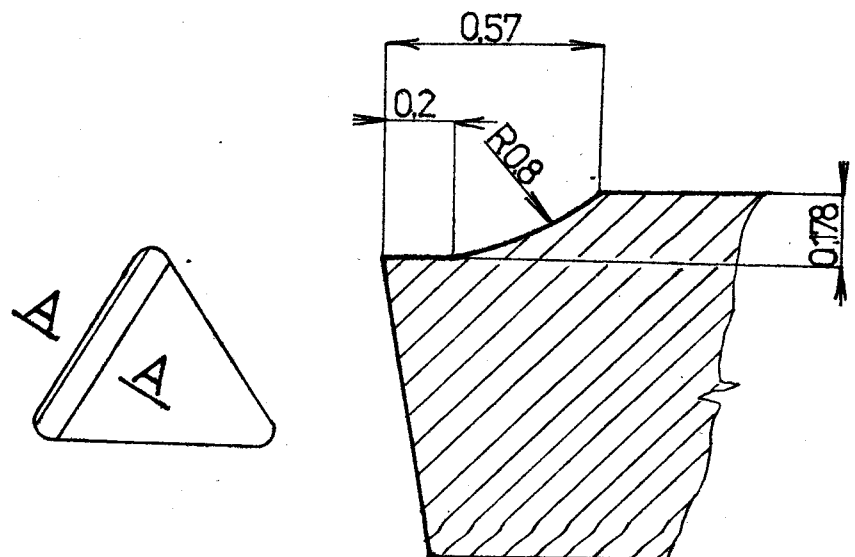
UTVÄRDEČ č.3.

Obr.33. Geometrické rozměry utvařeče

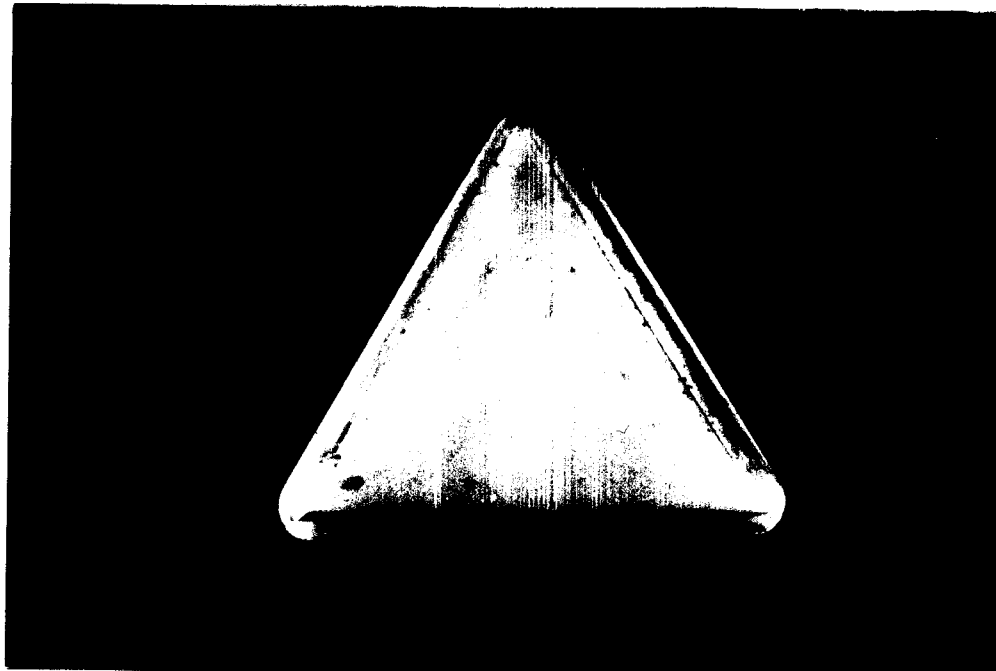
M 5:1

ŘEZ A-A

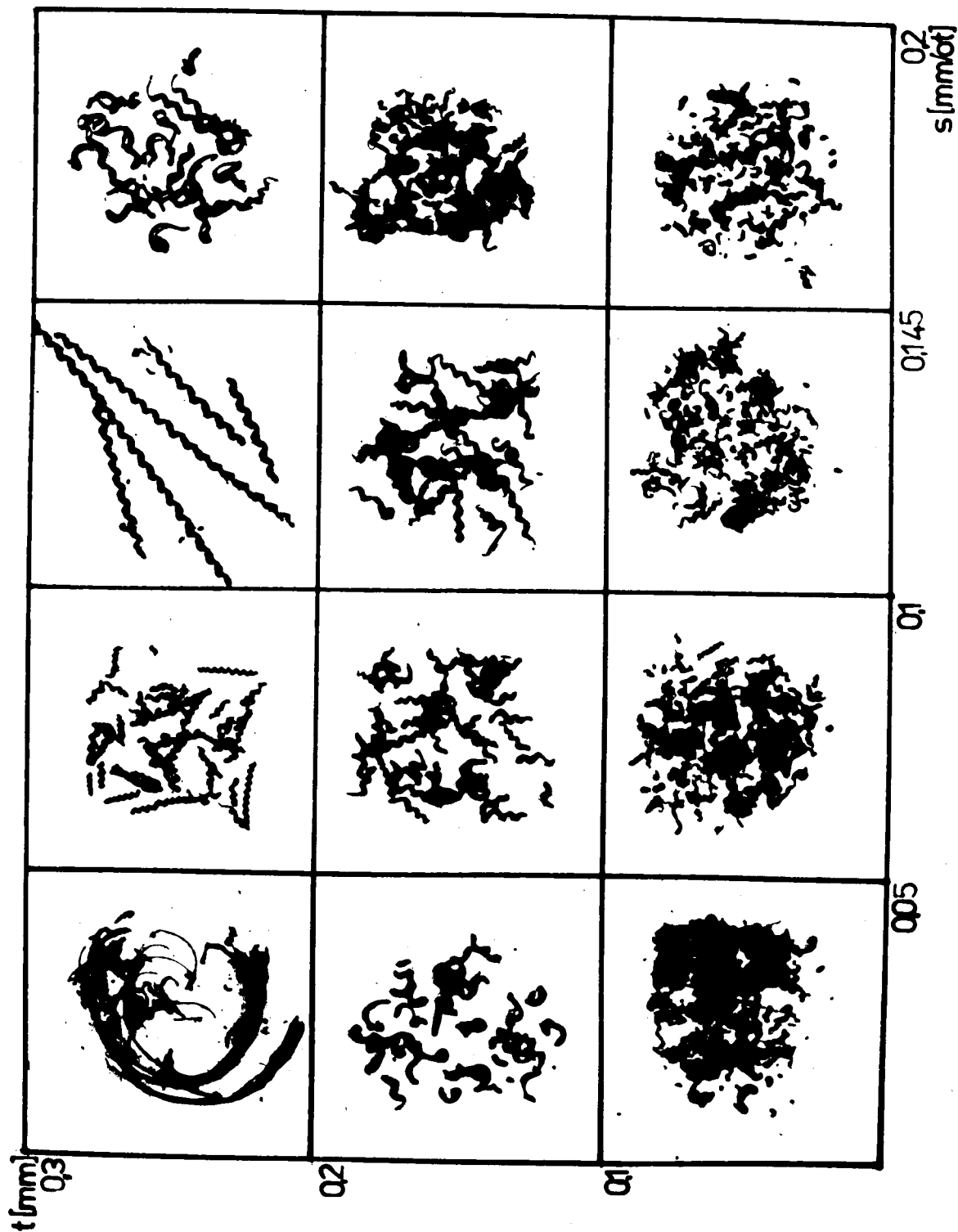
M 50:1



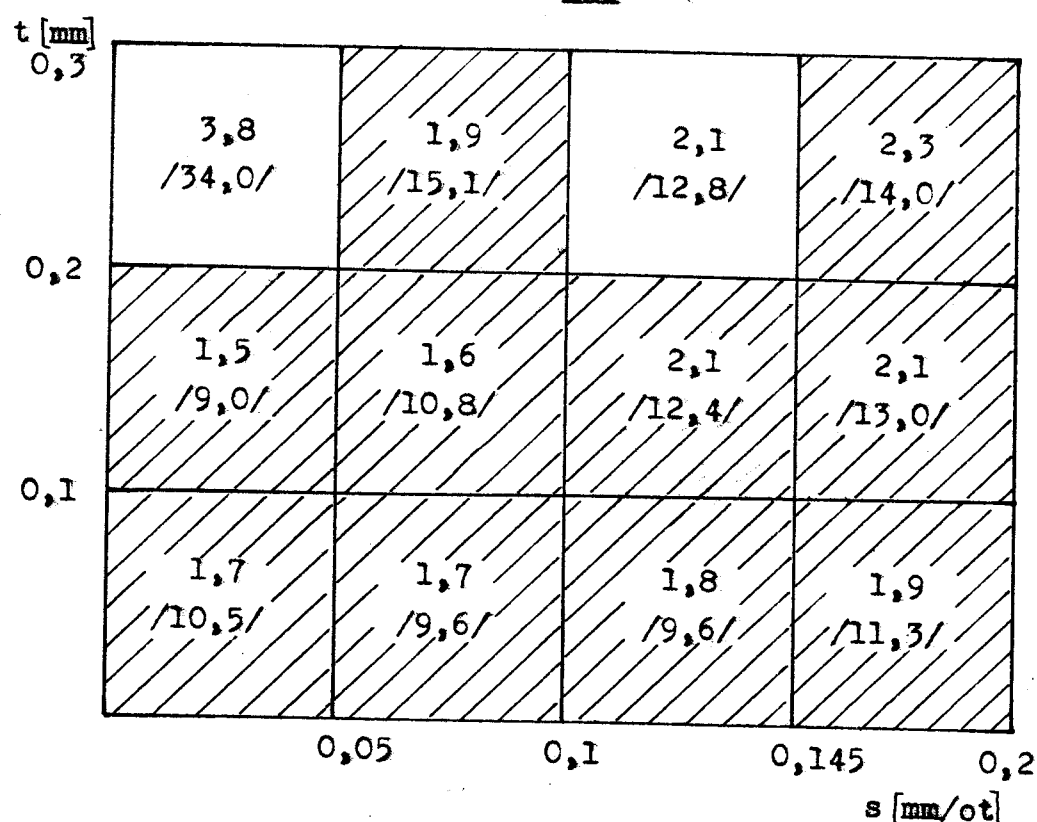
Obr.34. Umístění utvářeče na řezné destičce



Obr. 35. t-s diagram pro utv. č. 3. s ukázkou vzniklých třísek



Obr. 36. t-s diagram s vyznačenou oblastí utváření a hodnotami drsnosti R_a v μm a $/R_{\max}$ v μm



Vyhodnocení :

Břitová destička s utvářecem č. 3. dobře utváří v rozsahu naznačeném v diagramu č. 36. Jedná se o jiný druh utvářče, kde překážku netvoří rovná hrana ve tvaru schůdku, ale plynulý oblouk. Součinitel spolehlivosti

$$A_c = \frac{10}{12}$$

Průměrná naměřená drsnost obroběných ploch $R_a = 2,03 \mu\text{m}$

$$R_{\max} = 13,5 \mu\text{m}$$

Po zhodnocení všech vlastností s přihlédnutím k vysokému koeficientu spolehlivosti byl utvářec č. 3 hodnocen jako vyhovující v užší oblasti obrábění.

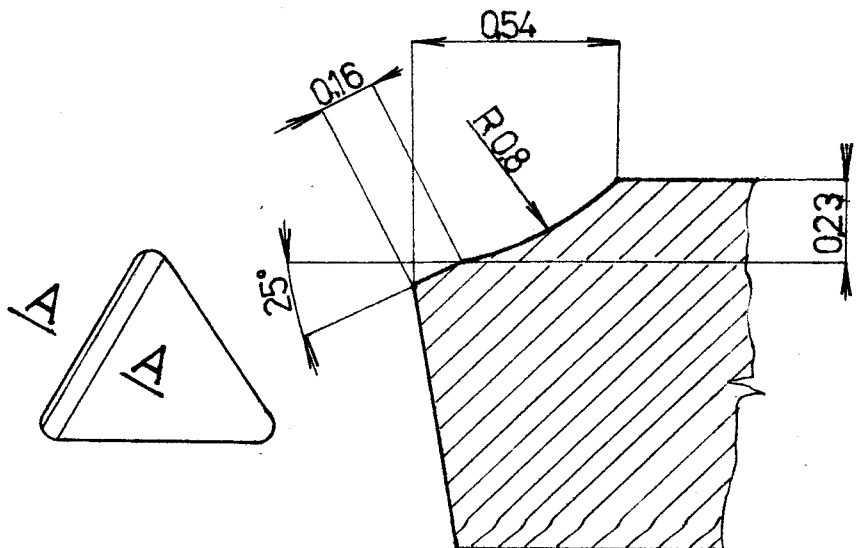
UTVAREČ č. 4.

Obr.37. Geometrické rozměry utvařeče

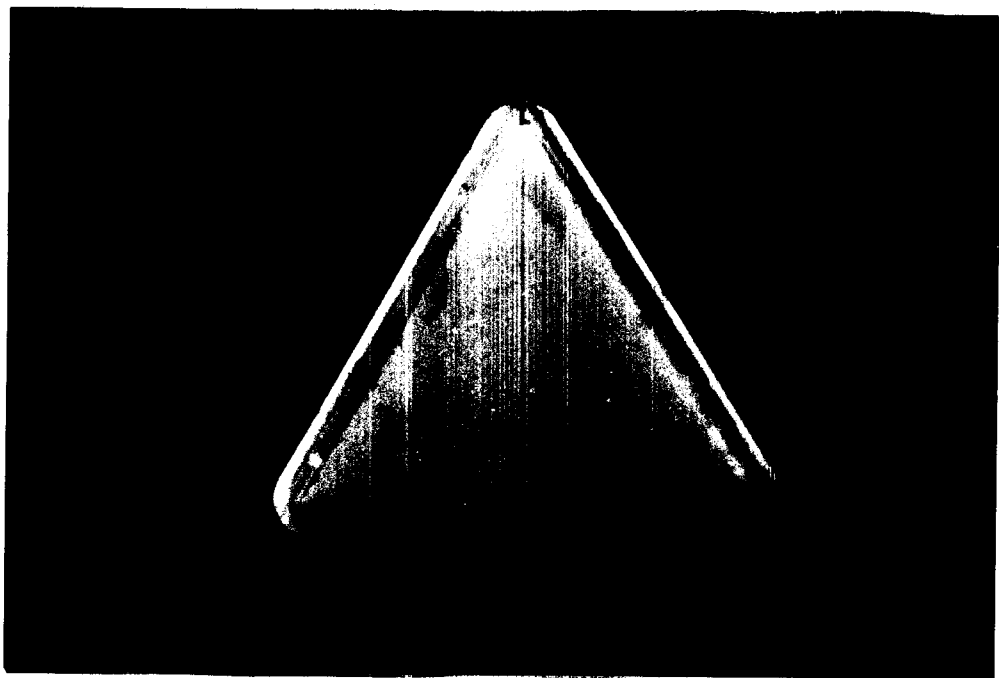
M 51

ŘEZ A-A

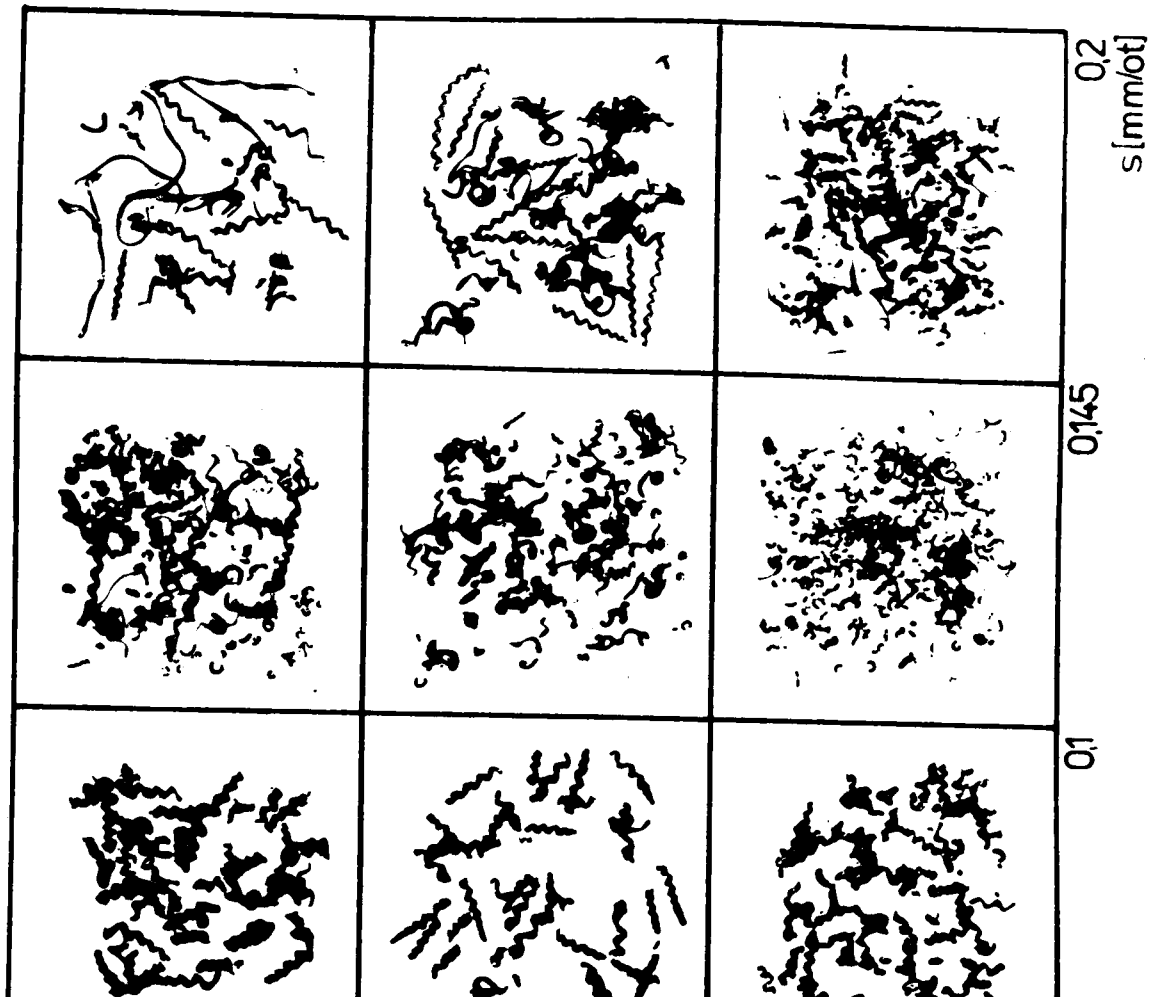
M 50:1



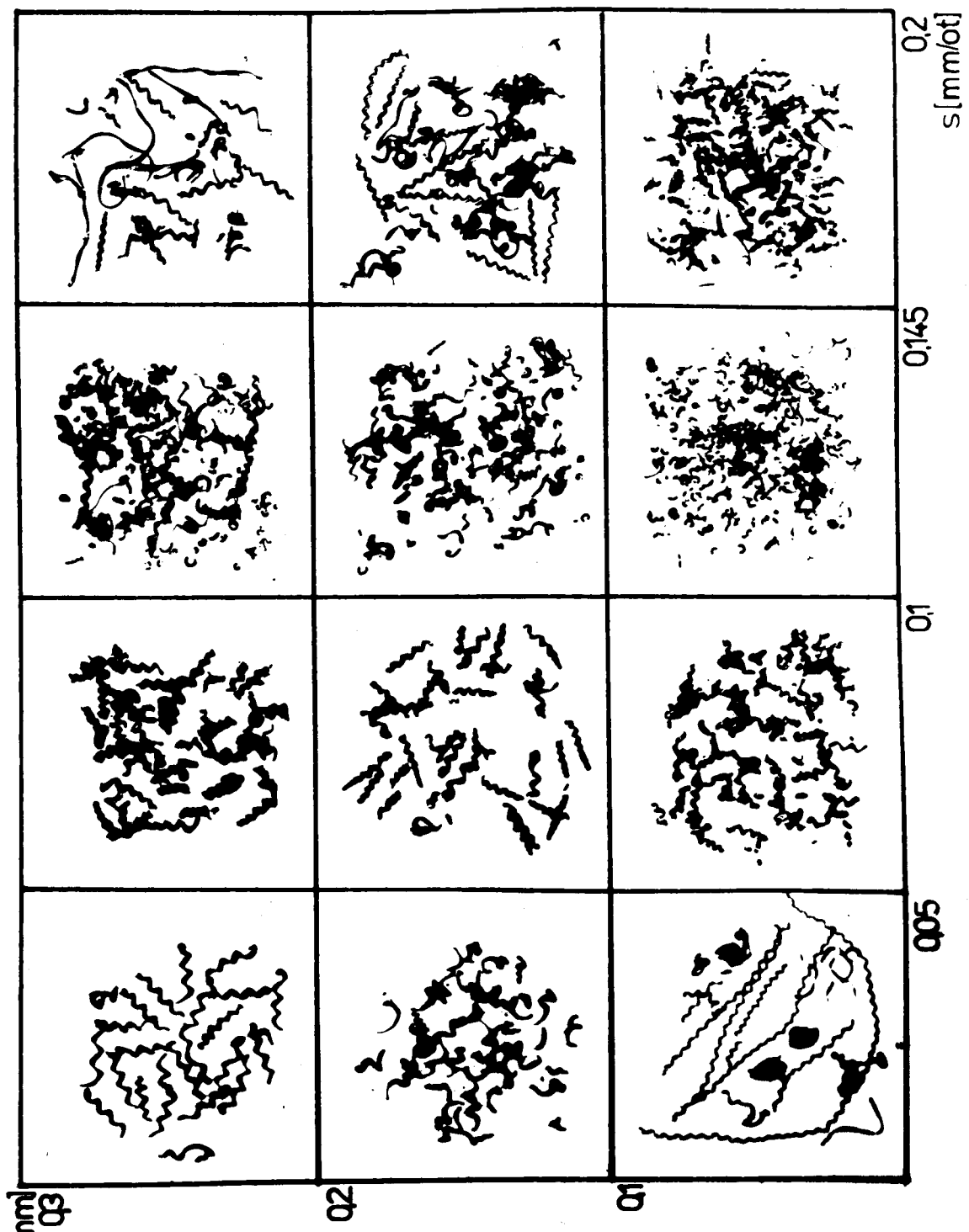
Obr.38. Umístění utvářeče na řezné destičce



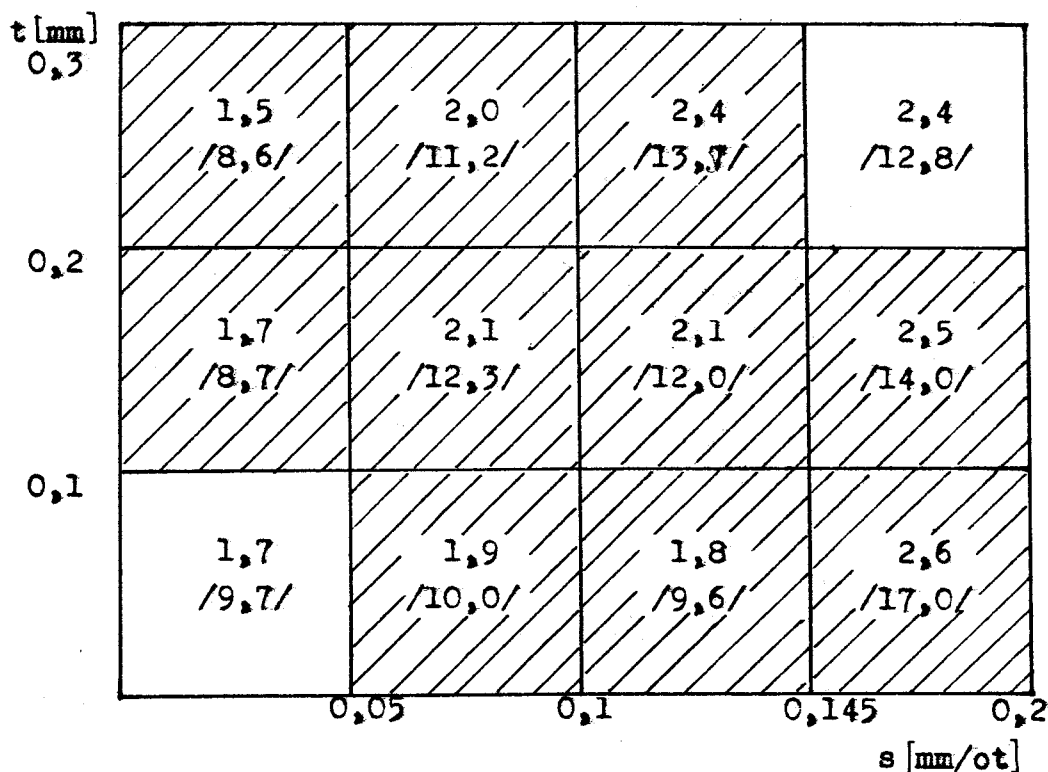
Obr.39. t-s diagram pro utv.č.4. s ukázkou vzniklých třísek



Obr. 39. t-s diagram pro utv. č. 4. s ukázkou vzniklých třísek



Obr. 40. t-s diagram s vyznačenou oblastí utváření a hodnotami drsnosti R_a v μm a R_{\max} v μm



Vyhodnocení :

Destička s utvářecem č. 4. je stejně koncepce jako předcházející destička č. 3., doplněná ještě o fazetku $0,16 \times -26^\circ$ /návrh $0,2 \times -25\%$. Tato fazetka způsobila plynulejší odchod třísky. Správné utváření v daném rozsahu řezných podmínek ukazuje diagram č. 40. Součinitel spolehlivosti

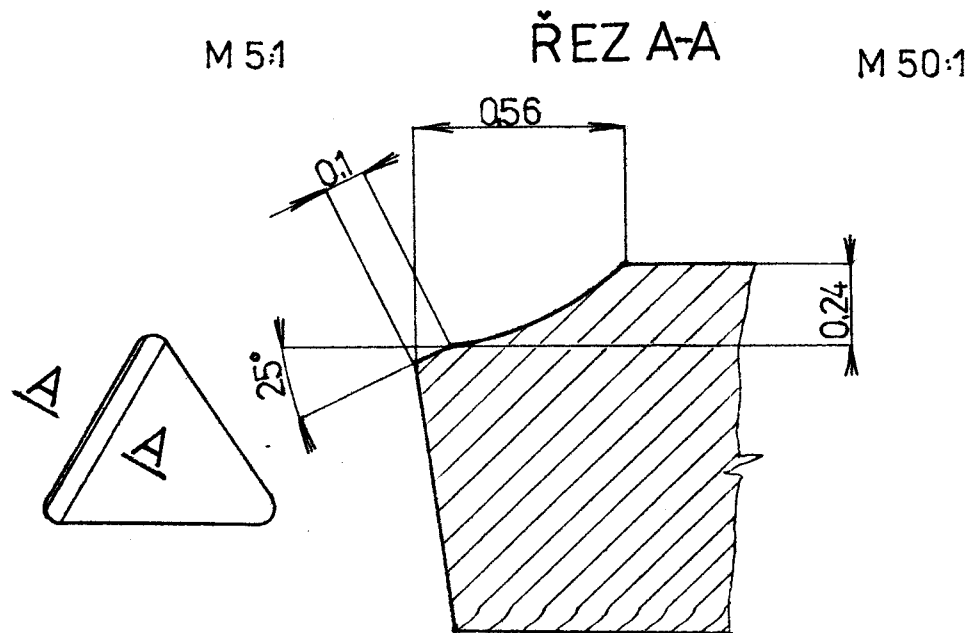
$$A_c = \frac{10}{12}$$

Průměrná naměřená drsnost obroběných ploch $R_a = 2,05 \mu\text{m}$
 $R_{\max} = 11,63 \mu\text{m}$

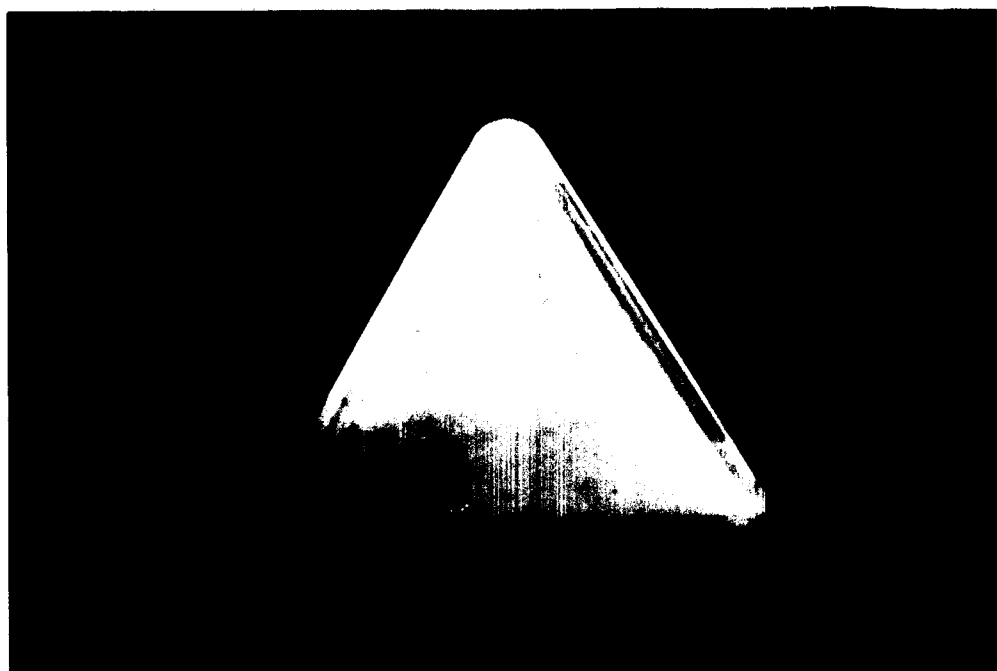
Utvářené elementy jsou krátké, vyhovující. Pouze při min. a max. podmínkách došlo k nežádoucímu tvaru třísky. Vzhledem k dobrým utvářecím schopnostem byl utvářec hodnocen jako vyhovující.

UTVÄRDEC c.5.

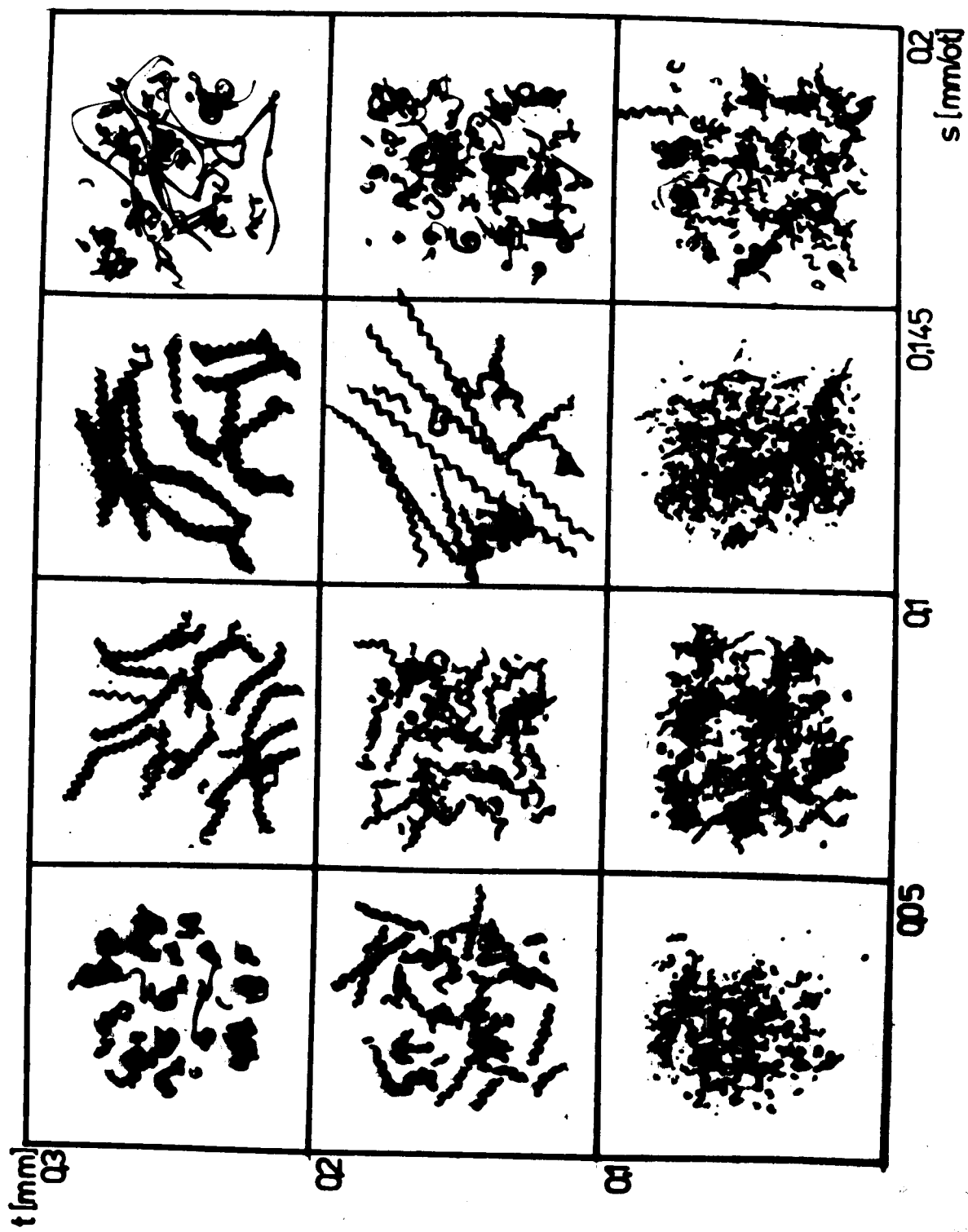
Obr. 41. Geometrické rozměry utvařeče



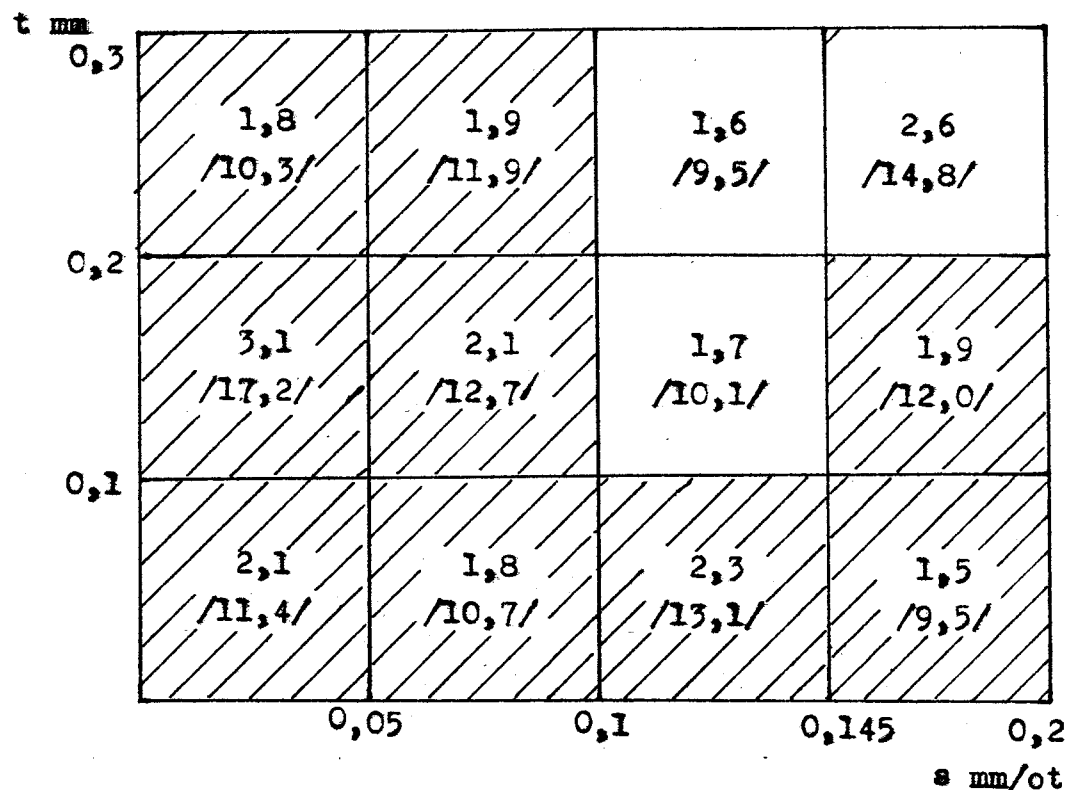
Obr. 42. Umístění utvářeče na řezné destičce



Obr. 43. t-s diagram pro utv. č. 5. s ukázkou vzniklých třísek



Obr. 44. t-s diagram s vyznačenou oblastí utváření a hodnotami drsnosti R_a v μm a $/R_{\max}/$ v μm



Vyhodnocení :

Utvářec č. 5. je stejně konstrukce jako předešlé dva utvářeč č. 3. a č. 4., pouze s jinými parametry fazetky. Oblast utváření je znázorněná na obr. č. 44. V oblasti vyšších posuvů a hloubek řezu docházelo k nevhodným jevům, k ostrému pískání a ke chvění. Součinitel spolehlivosti:

$$\Delta_c = \frac{9}{12}$$

Průměrná naměřená drsnost obroběných ploch $R_a = 2,0 \mu\text{m}$
 $R_{\max} = 11,9 \mu\text{m}$

Utvářec č. 5. byl určen jako nevyhovující.

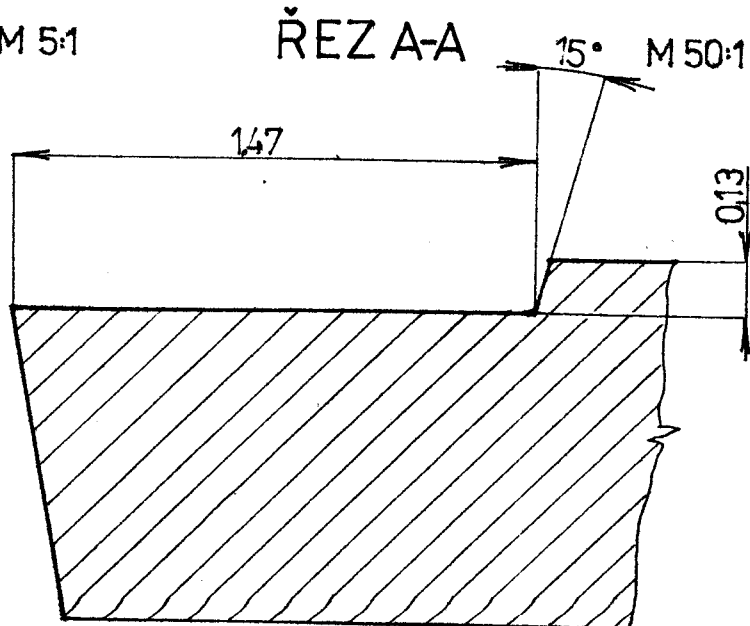
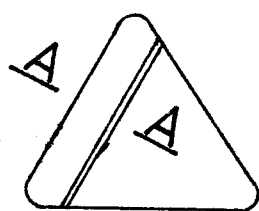
UTVAREČ č.6.

Obr. 45. Geometrické rozměry utvařeče

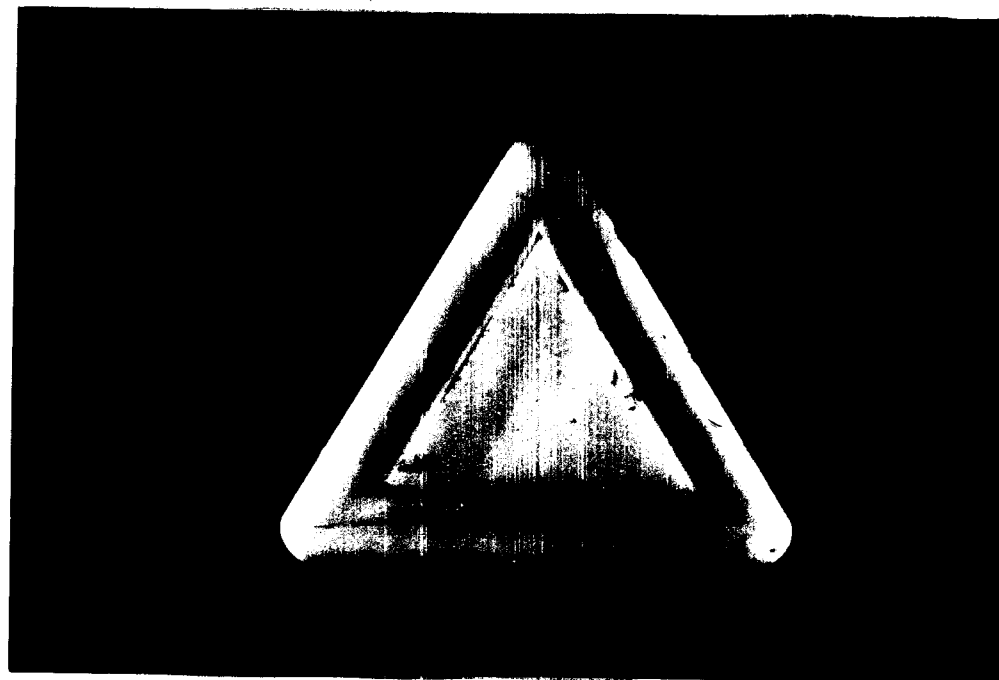
M 5:1

REZA-A

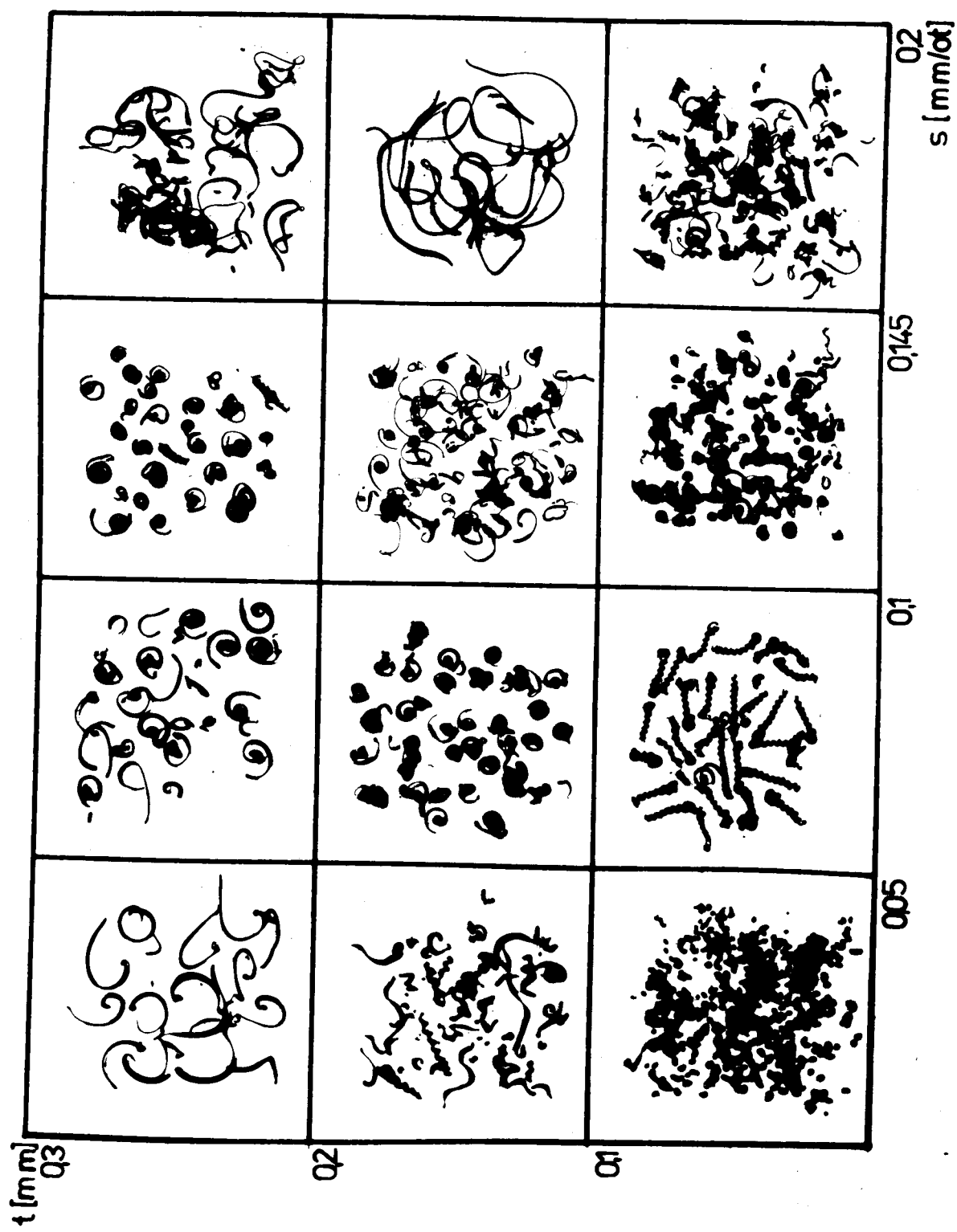
15° M 50:1



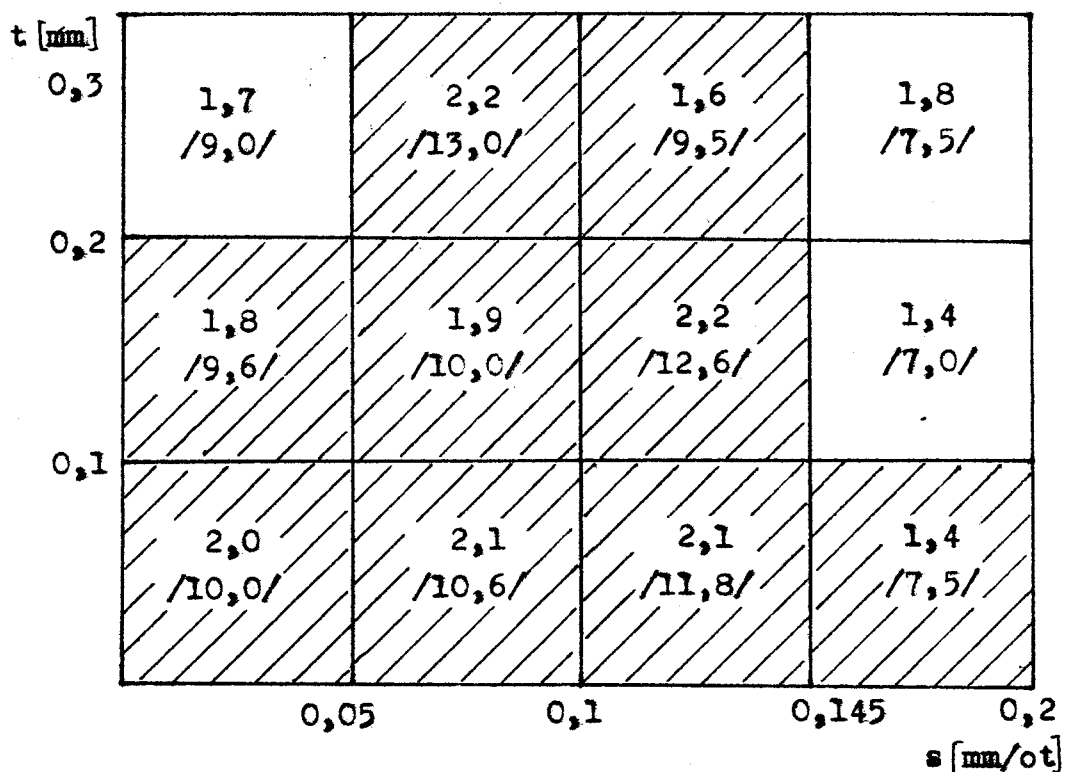
Obr. 46. Umístění utvařeče na řezné destičce



Obr. 47. t-s diagram pro utv. č. 6. s ukázkou vzniklých trisek



Obr. 48. t-s diagram s vyznačenou oblastí utváření a hodnotami drsnosti R_a v μm a R_{max} v μm



Vyhodnocení :

Jedná se o klasický typ schůdkového utvářeče s větším rozměrem schůdku, zvoleným podle /9/. Oblast správné funkce utvářeče je v užší oblasti. Situaci zázorní ^b diagram č. 48. Součinitel spolehlivosti

$$A_c = \frac{9}{12}$$

Průměrná naměřená drsnost obroběných ploch $R_a = 1,8 \mu\text{m}$
 $R_{max} = 9,8 \mu\text{m}$

což lze považovat za dobrou kvalitu obroběných ploch.

S přihlédnutím k ostatním vlastnostem byl utvářeč č. 6. hodnocen jako vyhovující v užší oblast obrábění.

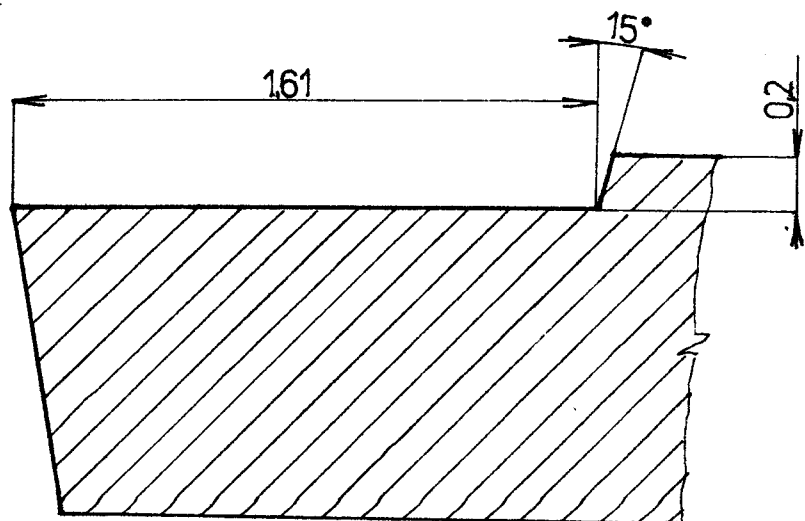
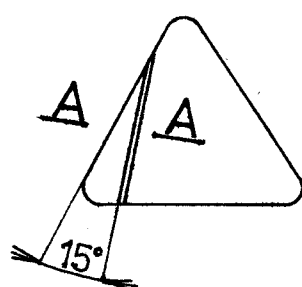
UTVAŘEC č.7.

Obr.49. Geometrické rozměry utvařeče

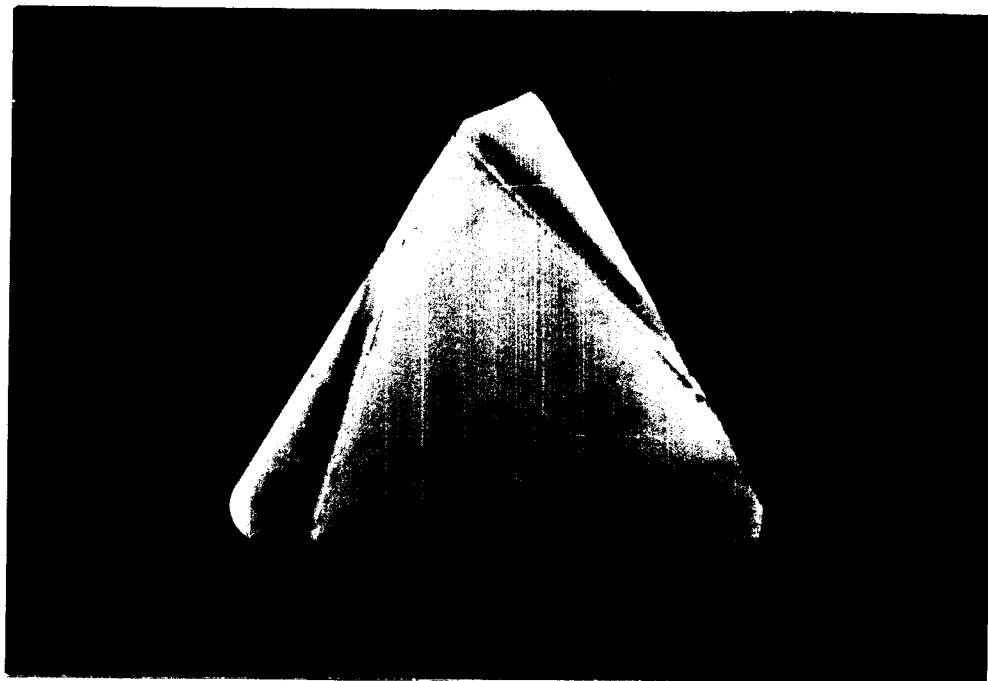
M 5:1

ŘEZ A-A

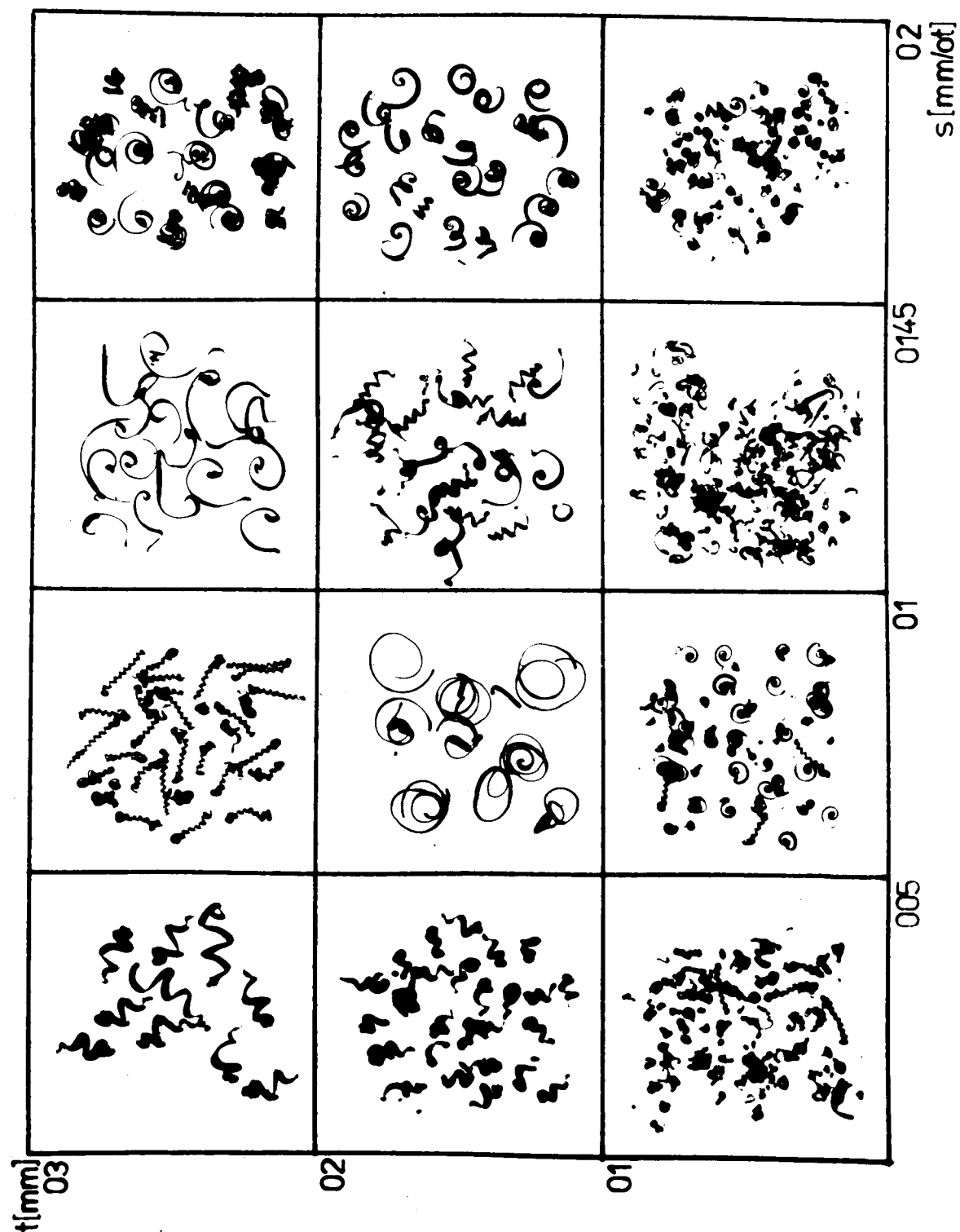
M 50:1



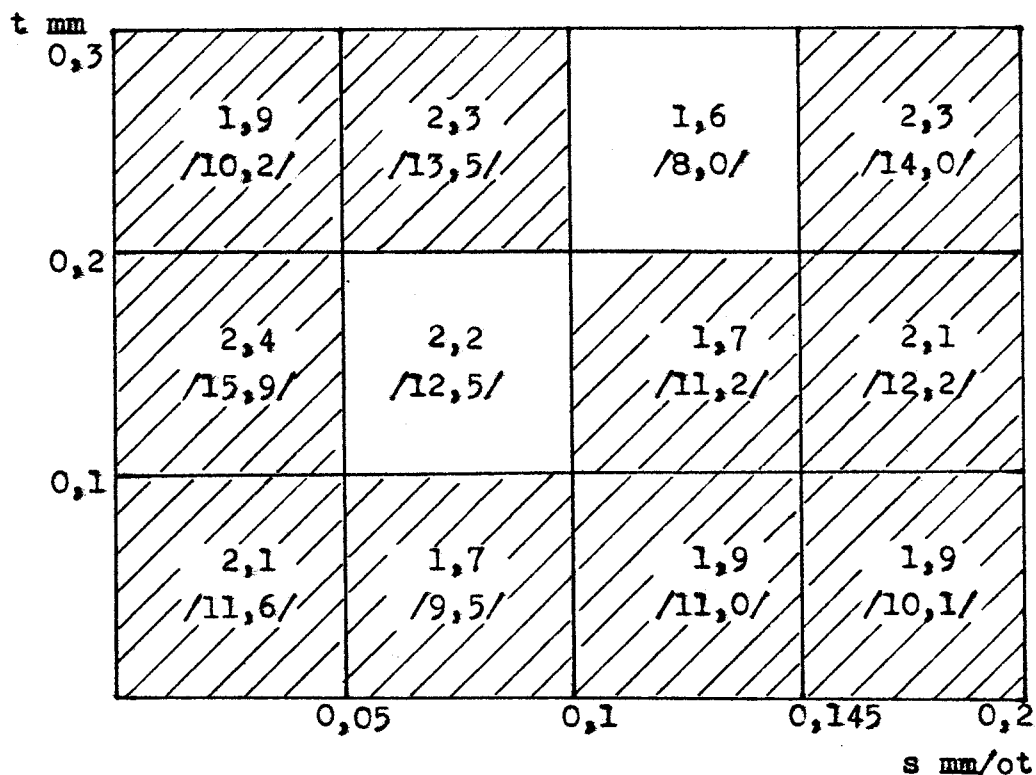
Obr.50. Umístění utvařeče na řezné destičce



Obr. 51. t-s diagram pro utv. č. 7. s ukázkou vzniklých třísek



Obr.52. t-s diagram s vyznačenou oblastí utváření a hodnotami drsnosti R_a v μm a $/R_{\max}/$ v μm



Vyhodnocení :

Konstrukce utvářeče č.7. měla být stejná jako u předešlého modelu č.6., pouze je umístěna na destičce pod úhlem 16° /požadavek 15° / . Ve skutečnosti se svými rozměry však liší /nepřesnost výroby/. Z hlediska utváření je podle diagramu č.52. zřejmé, že tato konstrukce svými rozměry lépe vyhovuje. V oblasti posuvu 0,1 a hl. řezu 0,2 docházelo k nevhodným jevům - chvění. Součinitel spolehlivosti

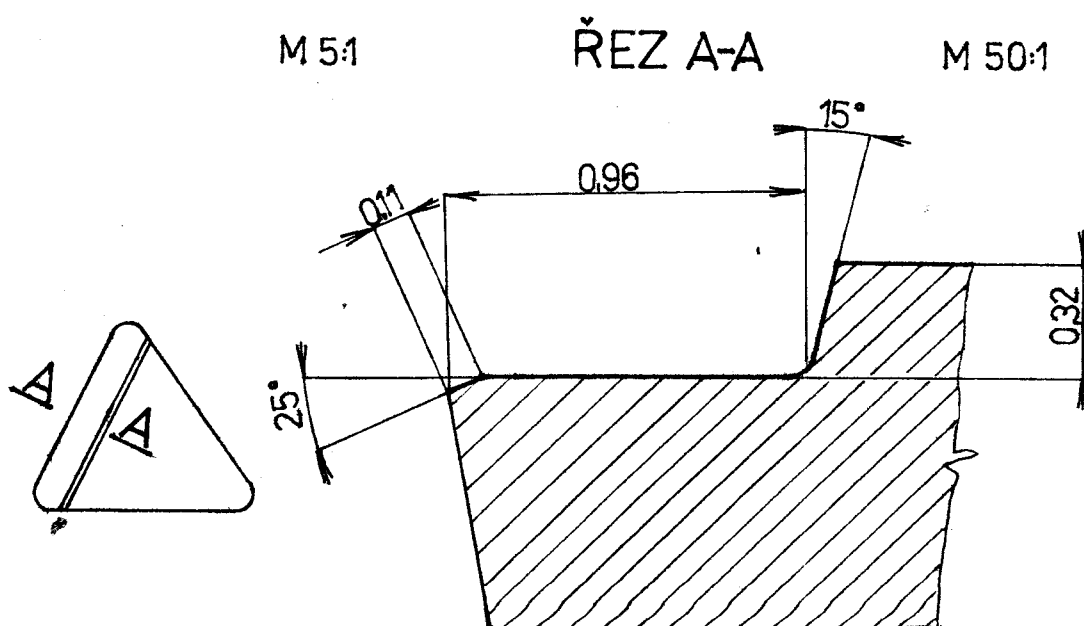
$$A_c = \frac{10}{12}$$

Průměrná naměřená drsnost obroběných ploch $R_a = 2,0 \mu\text{m}$
 $R_{\max} = 11,7 \mu\text{m}$

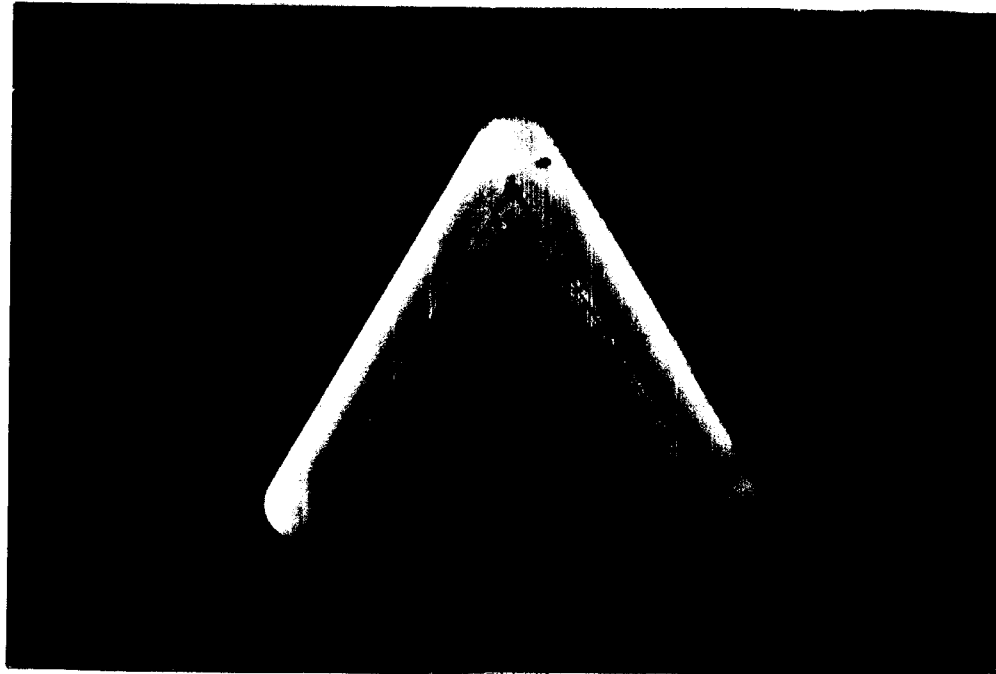
Pro nevhodnou oblast nestabilního utváření uprostřed utvářené oblasti je utvářeč č.7. hodnocen jako nevyhovující.

UTVÁŘEC č.8.

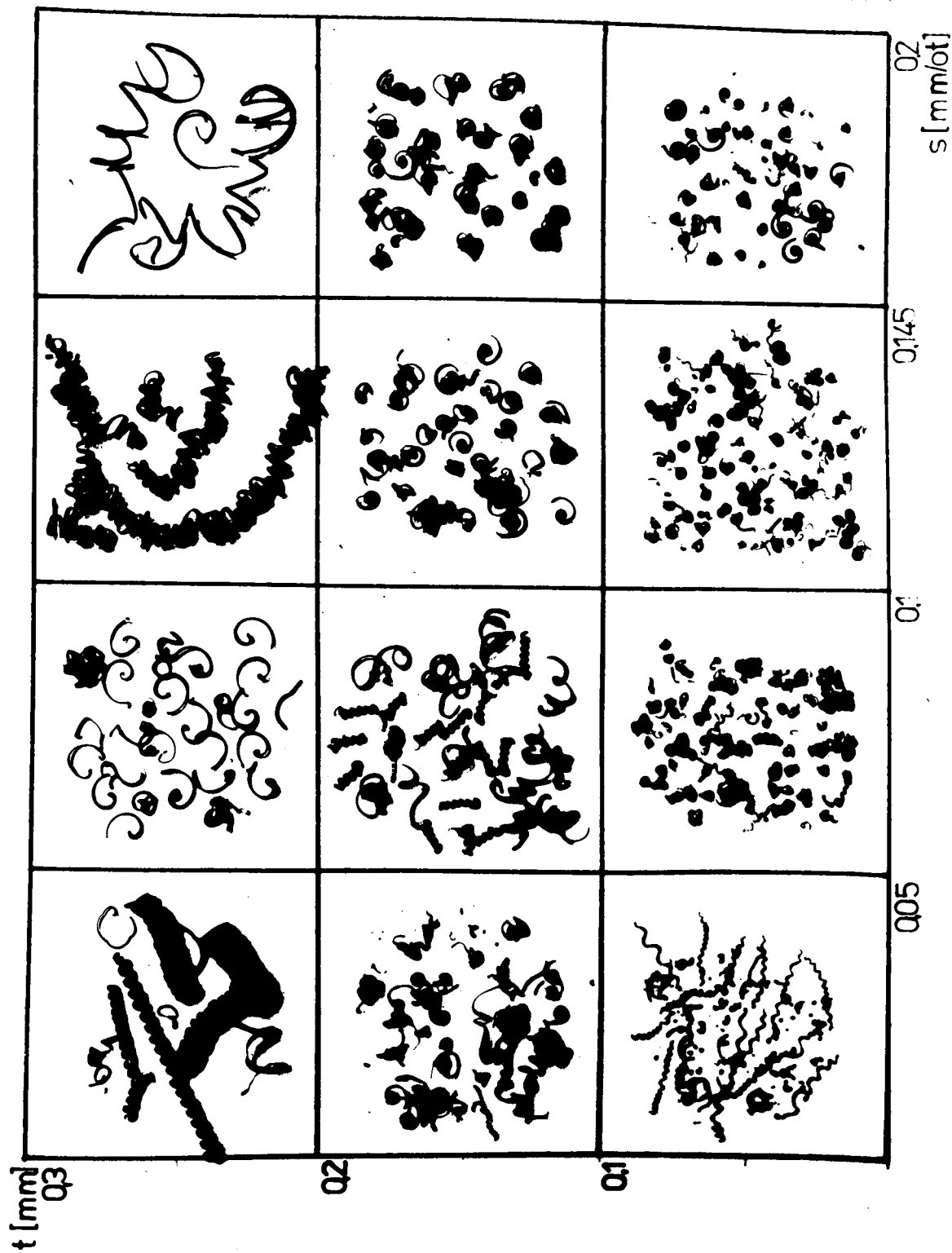
Obr.53. Geometrické rozměry utvařeče



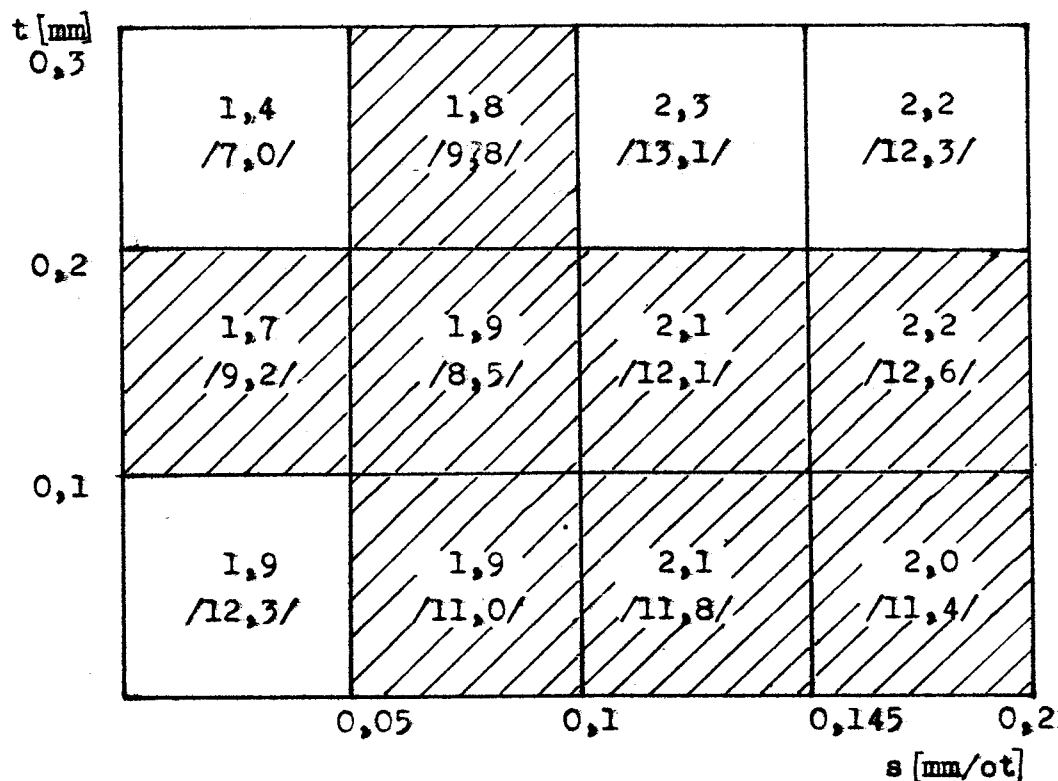
Obr.54. Umístění utvařeče na řezné destičce



Obr. 55. t-s diagram pro utv. č. 8. s ukázkou vzniklých třísek



Obr. 56. t-s diagram s vyznačenou oblastí utváření a hodnotami drsnosti R_a v μm a $/R_{\max}/$ v μm



Vyhodnocení :

Břitová destička s utvářečem č. 8. je klasické konцепce se schůdkovým utvářečem doplněná o fazetku $0,1 \times 25^\circ$. Správné utváření zobrazuje diagram č. 56. Součinitel spolehlivosti

$$A_c = \frac{8}{12}$$

Průměrná naměřená drsnost obroběných ploch $R_a = 1,9 \mu\text{m}$
 $R_{\max} = 10,9 \mu\text{m}$

S přihlédnutím k plynulému odchodu třísky je možno utvářeč č. 8. považovat za vyhovující v užší oblasti obrábění.

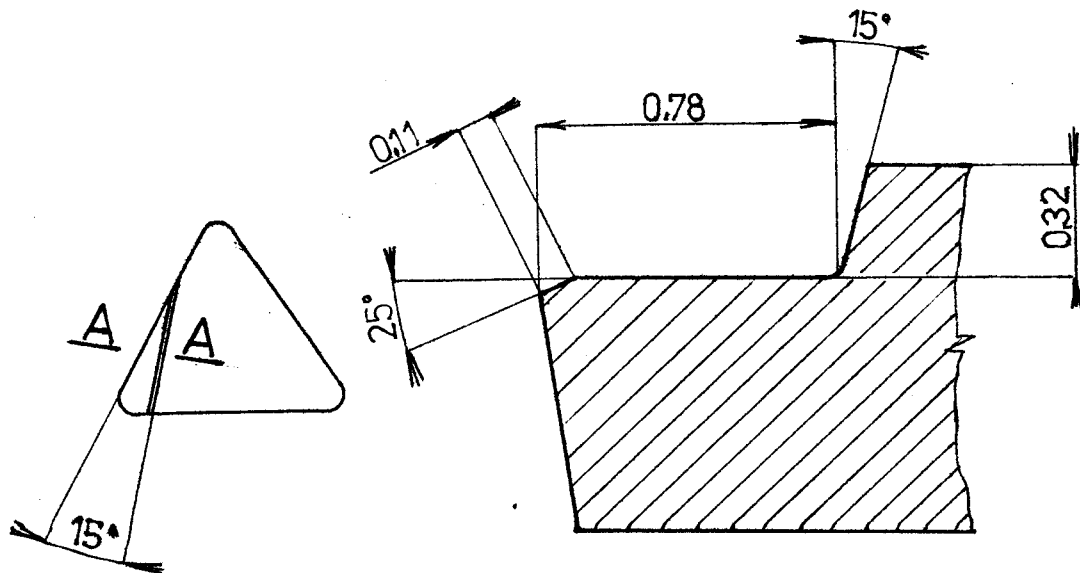
UTVAREC č.9.

Obr.57. Geometrické rozměry utvařeče

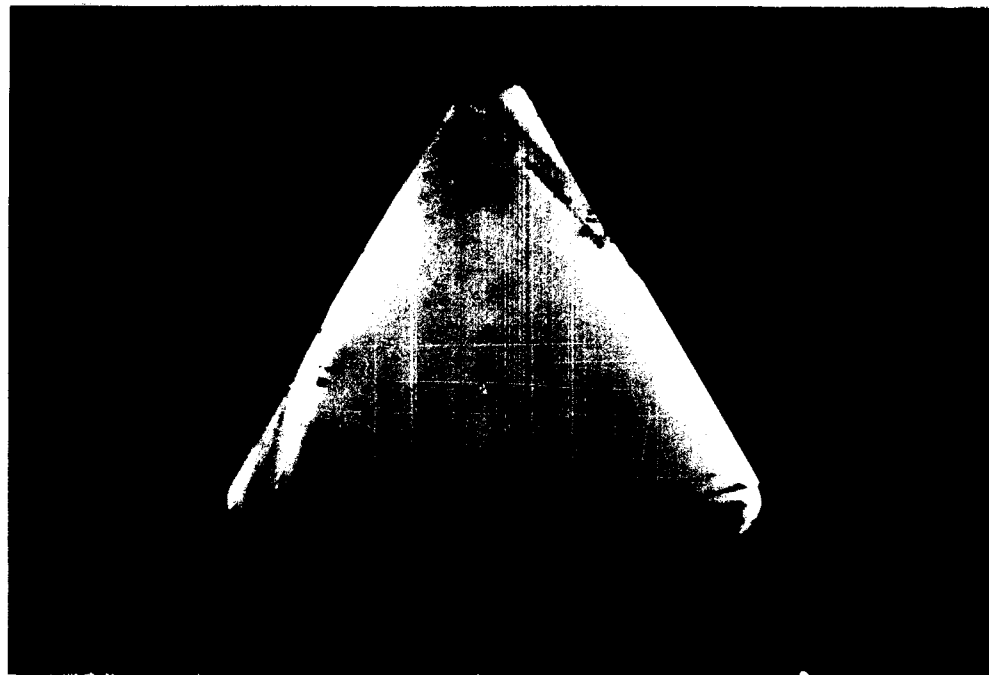
M 5-1

ŘEZ A-A

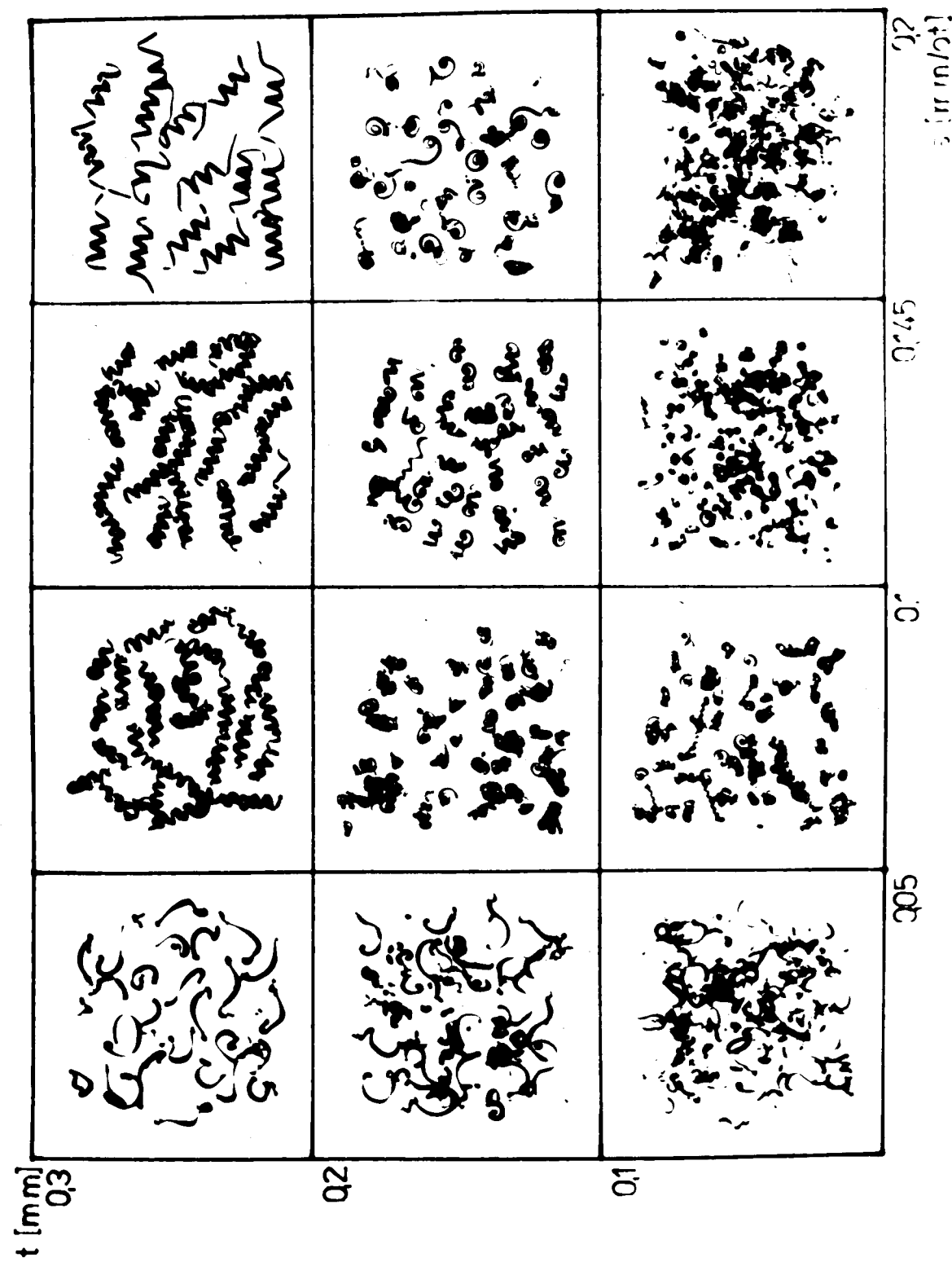
M 50:1



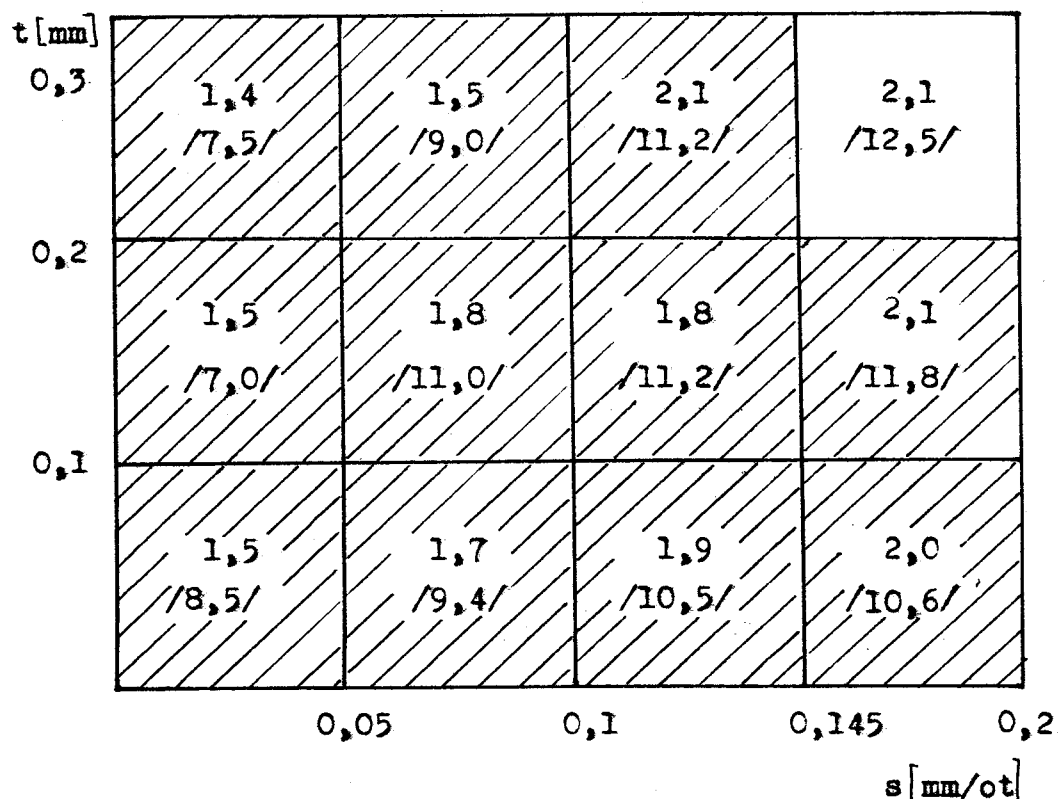
Obr.58. Umístění utvářeče na řezné destičce



Obr. 59. t-s diagram pro utv. č. 9. s ukázkou vzniklých trísek



Obr.60. t-s diagram s vyznačenou oblastí utváření a hodnotami drsnosti R_a v μm a $/R_{\max}/$ v μm



Vyhodnocení :

Utvařec č.9. je utvařec schůdkové koncepce doplněny o fazetku a umístěný na břitové destičce pod úhlem $15^\circ 20'$. Oblast správného utváření ukazuje diagram č.60. Z diagramu je patrné, že utvařec pracuje téměř v celé oblasti měření správně. Součinitel spolehlivosti je ze všech měření nejvyšší

$$A_e = \frac{11}{12}$$

$$\begin{aligned} \text{Průměrná naměřená drsnost obrobených ploch } R_a &= 1,7 \mu\text{m} \\ R_{\max} &= 10,6 \mu\text{m} \end{aligned}$$

Po zvážení všech dalších okolností, byl utvařec č.9. hodnocen jako téměř optimálně pracující v měřené oblasti.

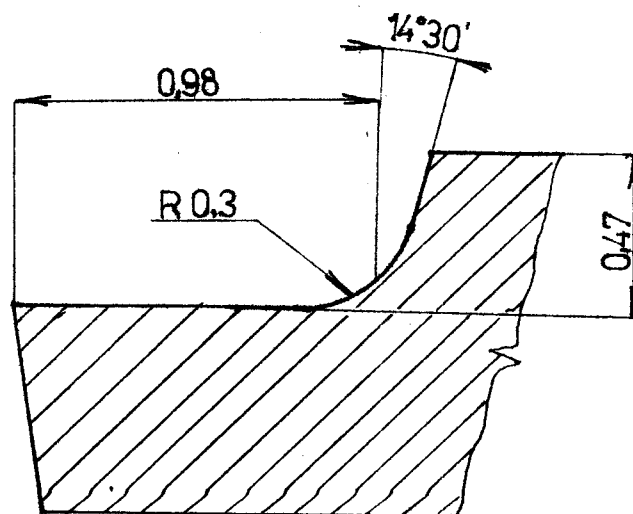
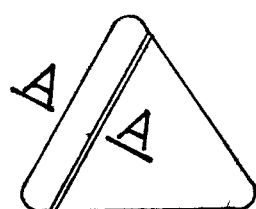
UTVÁREČ č.10.

Obr.61. Geometrické rozměry utváreče

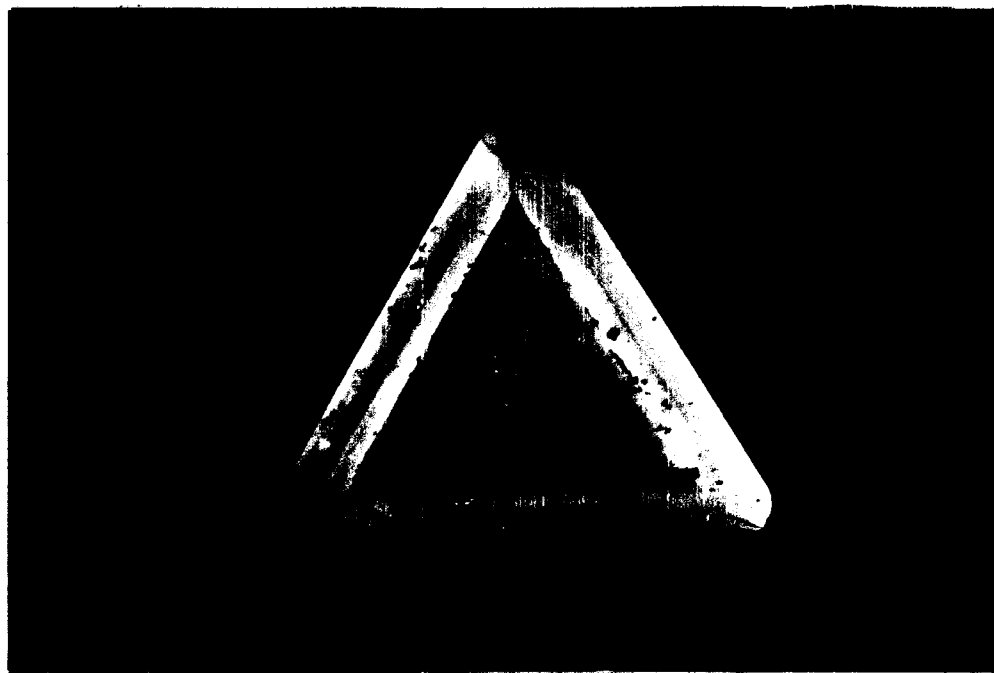
M 5:1

ŘEZ A-A

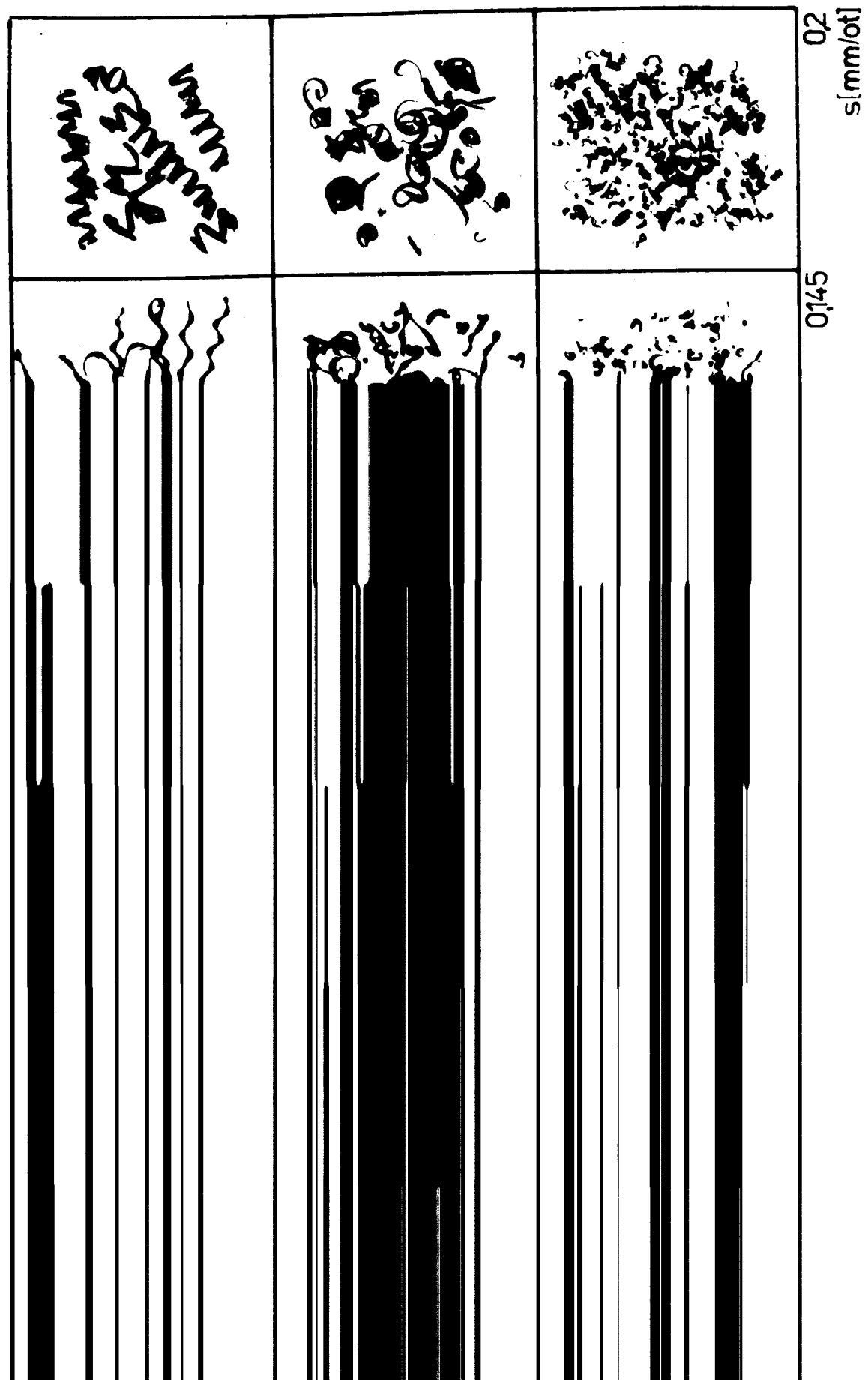
M 50:1



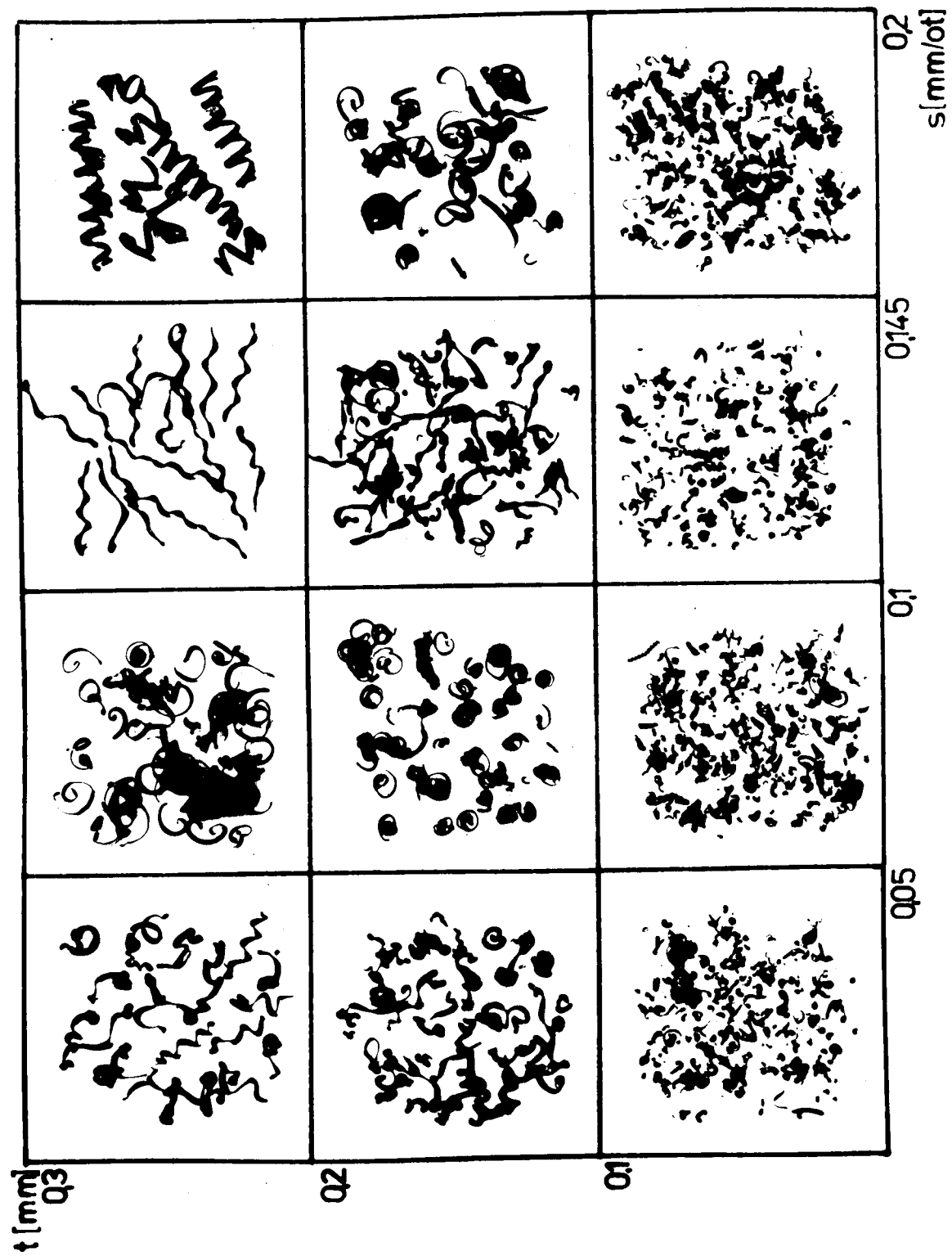
Obr.62. Umístění utváreče na řezné destičce



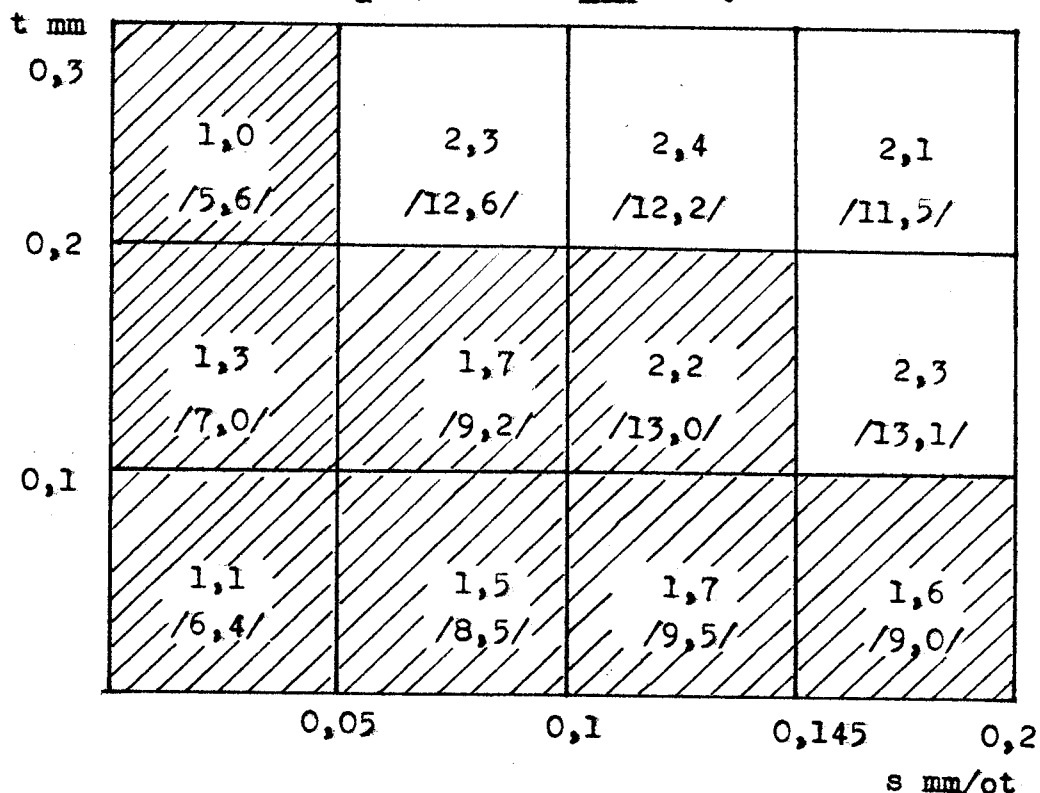
Obr.63. t-s diagram pro utv.č.10 s ukázkou vzniklých třísek



Obr. 63. t-s diagram pro utv. č. 10 s ukázkou vzniklých třísek



Obr.64. t-s diagram s vyznačenou oblastí utváření a hodnotami drsnosti R_a v μm a $/R_{\max}/$ v μm



Vyhodnocení :

Konstrukce utvářeče č.10. je zvolena jako schůdek s podélným průběhem drážky podél celé břitové destičky. Utvářenou oblast ukazuje diagram č.64. V průběhu obrábění se při parametrech $t=0,3$ mm, $s=0,1$ mm/ot vytvářely značné smotky, které posléze nebezpečně odletovaly. Součinitel spolehlivosti

$$A_c = \frac{8}{12}$$

Průměrná naměřená drsnost obroběných ploch R_a = $1,8 \mu\text{m}$
 R_{\max} = $9,8 \mu\text{m}$

Po celkovém zhodnocení vlastností byl utvářec č. 10 hodnocen jako vyhovující pouze v užší oblasti obrábění.

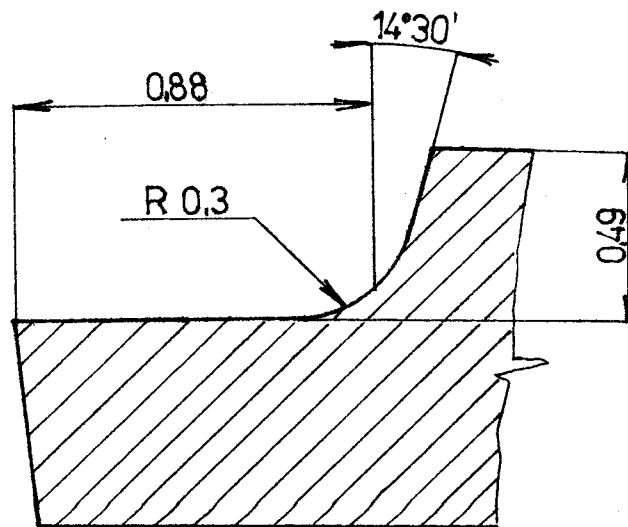
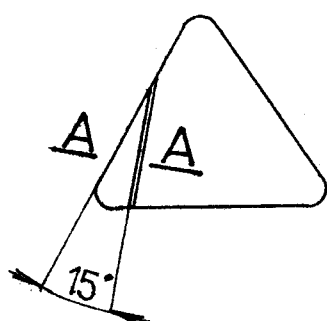
UTVAŘEC č.11.

Obr.65. Geometrické rozměry utvařeče

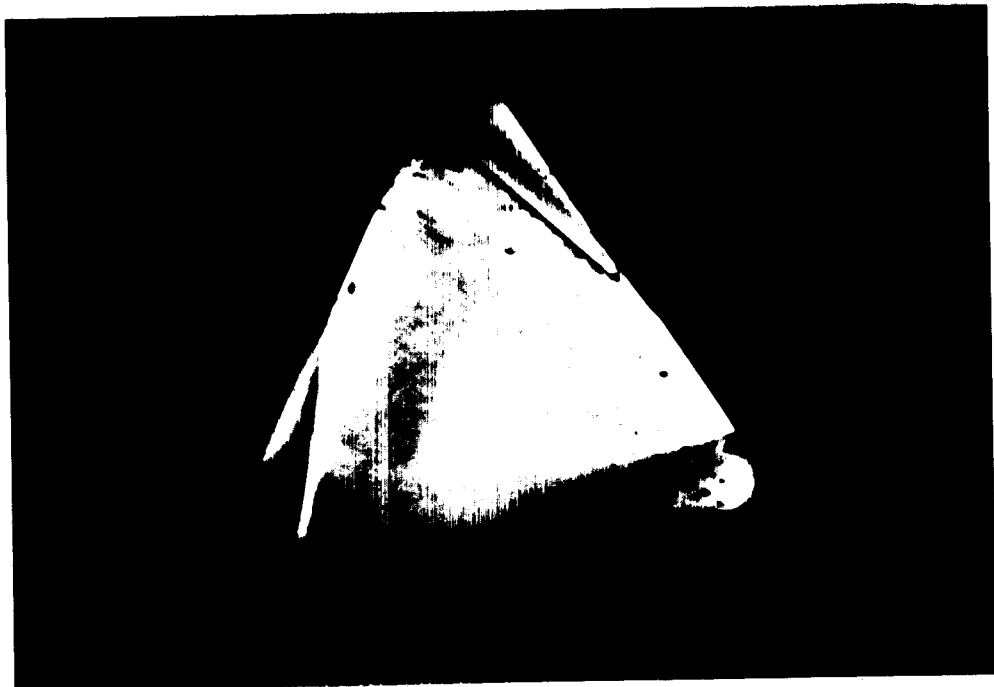
M 5:1

ŘEZ A-A

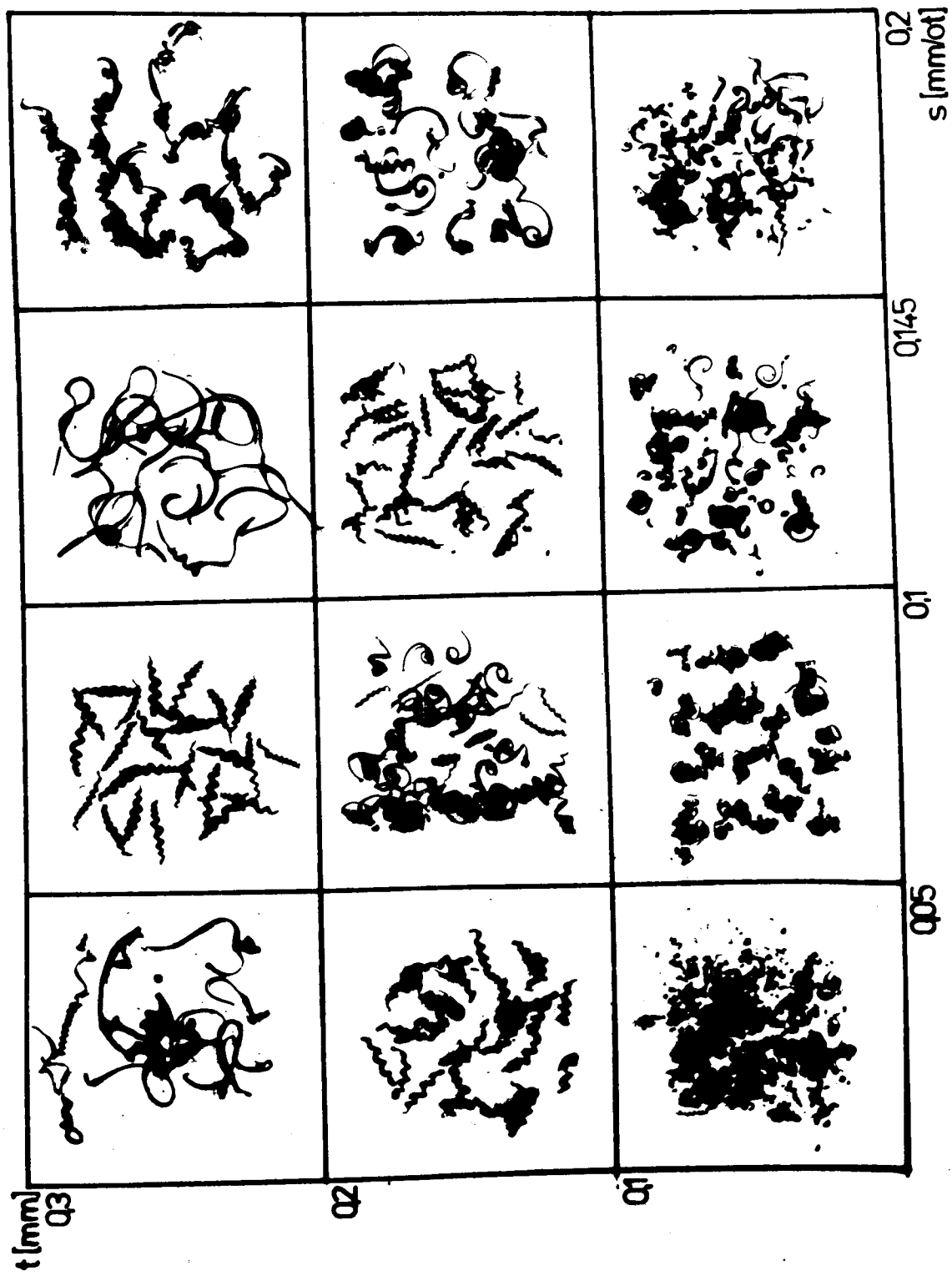
M 50:1



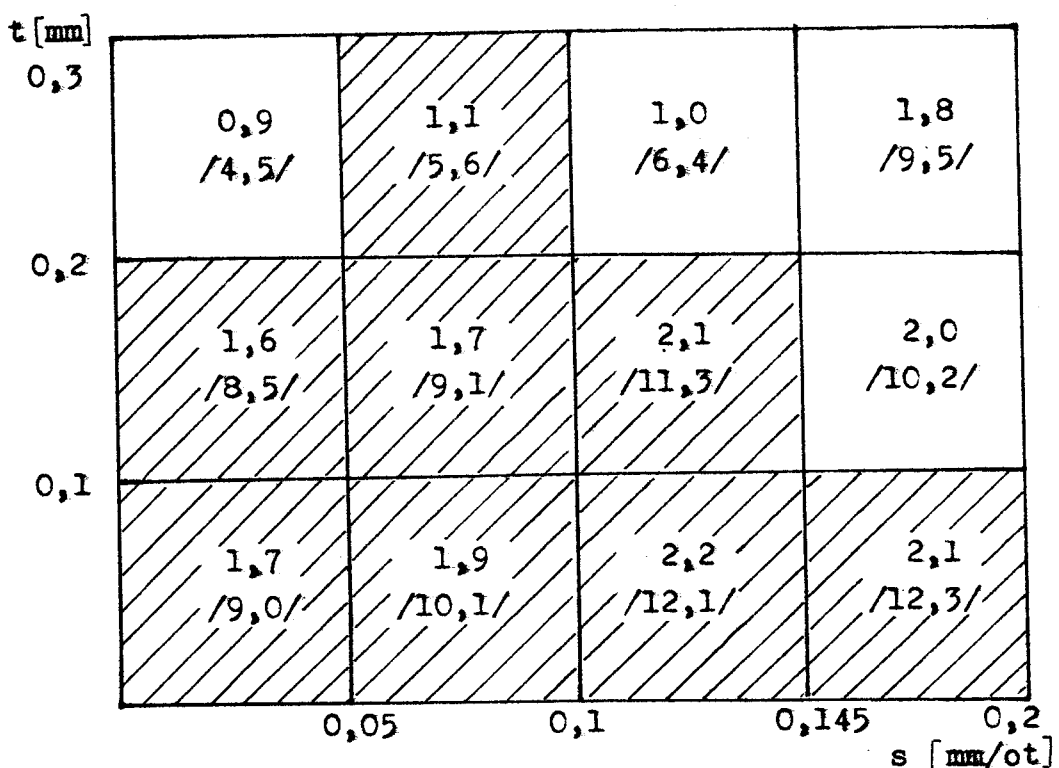
Obr.66. Umístění utvařeče na řezné destičce



Obr. 67. t-s diagram pro utv. č. 11. s ukázkou vzniklých třísek



Obr.68. t-s diagram s vyznačenou oblastí utváření a hodnotami drsnosti R_a v μm a $/R_{\max}/$ v μm



Vyhodnocení :

Utvářec č.11. má schůdkovou koncepci s umístěním schůdku pod úhlem 15° . Je zřejmé, že velká hodnota hloubky utvářecího stupně působí nepříznivě. Správnou oblast utváření ukazuje diagram č.68. Součinitel spolehlivosti

$$A_c = \frac{8}{12}$$

Průměrná naměřená drsnost obroběného povrchu $R_a = 1,6 \mu\text{m}$
 $R_{\max} = 9,1 \mu\text{m}$

Po zhodnocení všech vlastností byl utvářec č.11 hodnocen jako nevyhovující.

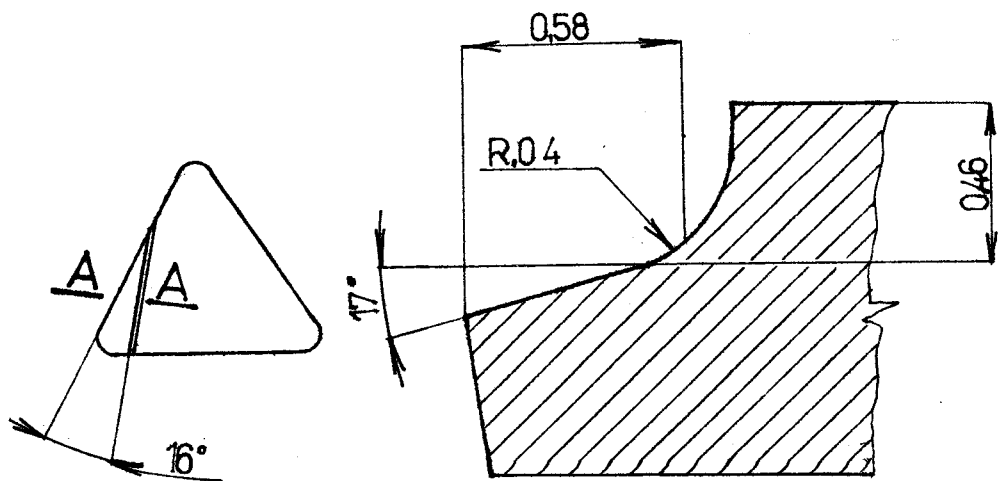
UTVAŘEC č.12.

Obr. 69. Geometrické rozměry utvařeče

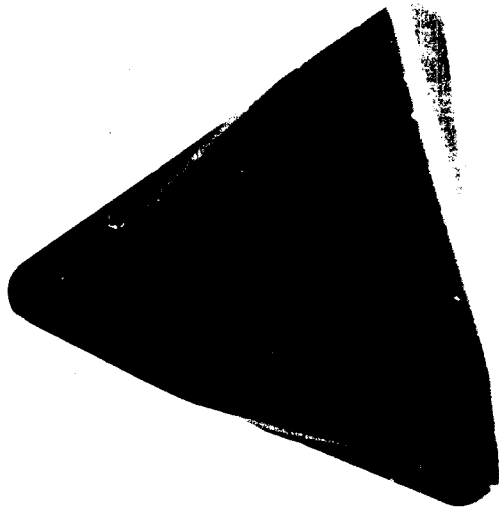
M 5:1

ŘEZ A-A

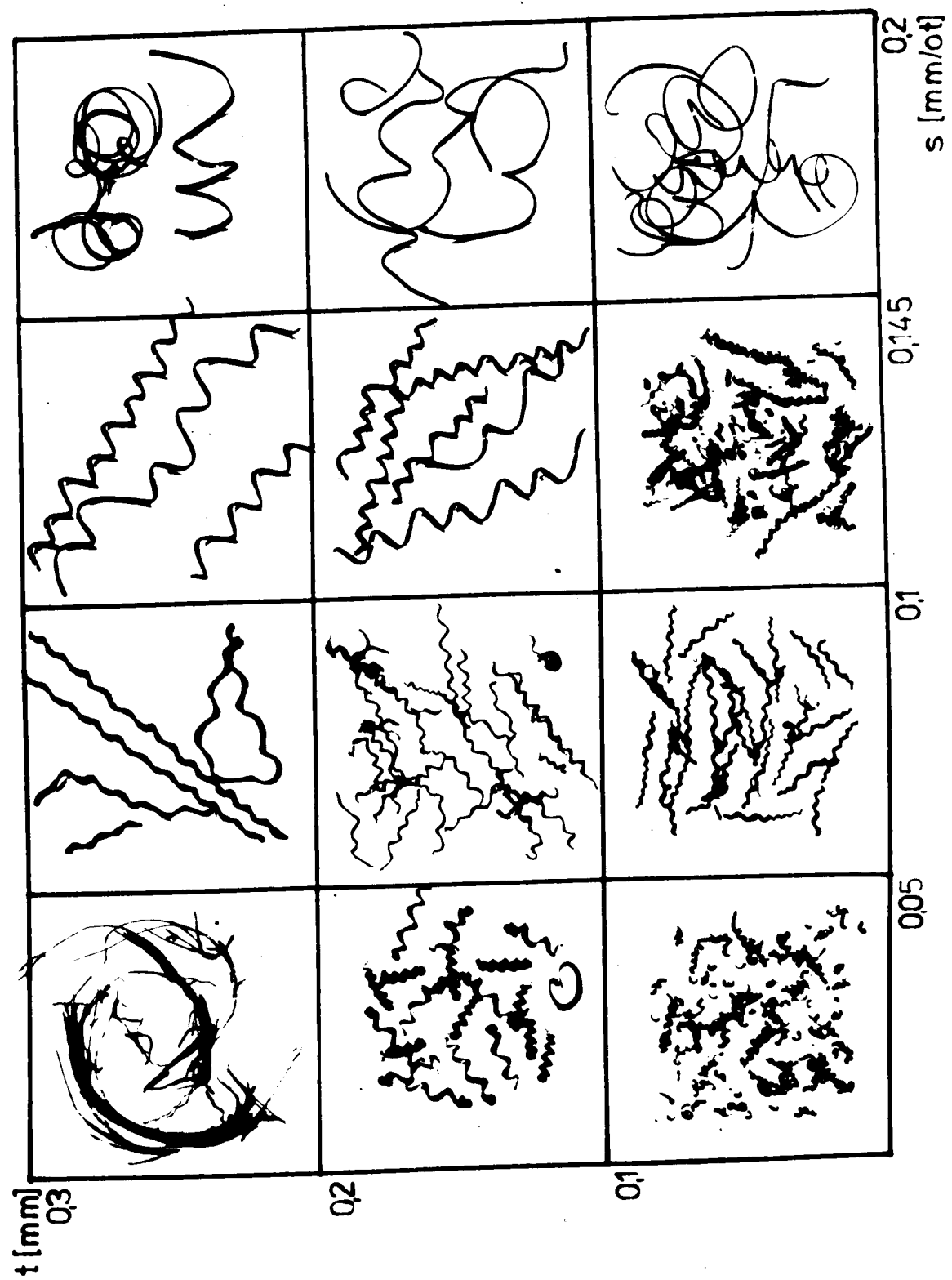
M 50:1



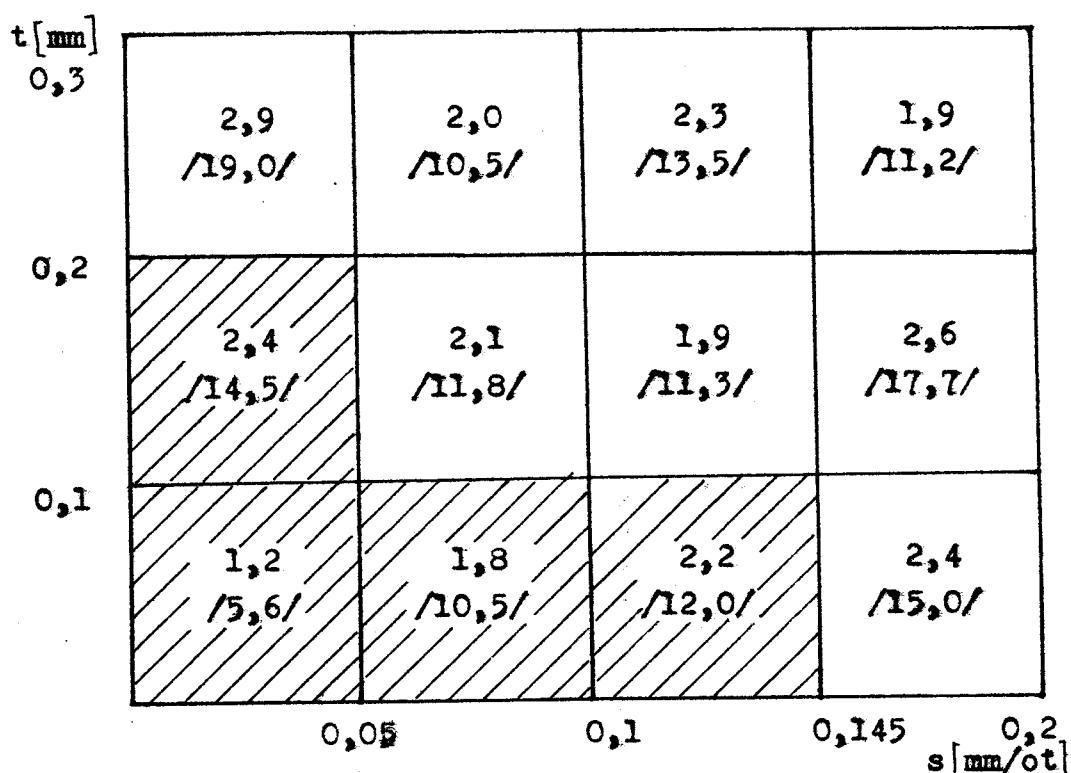
Obr.70. Umístění utvařeče na řezné destičce



Obr. 71. t-s diagram pro utv. č. 12 s ukázkou vzniklých třísek



Obr. 72. t-s diagram s vyznačenou oblastí utváření a hodnotami drsnosti R_a μm a $/R_{\max}/$ μm



Vyhodnocení :

Utvářec č. 12 byl dodán výrobcem keramických destiček k odzkoušení v dílnách VŠST Liberec. Jde o schůdkový utvářec, který má záporný úhel sklonu schůdku -17° . Podle zkoušek lze konstatovat, že tento záporný úhel má negativní vliv na utváření třísky. Součinitel spolehlivosti

$$A_c = \frac{4}{12}$$

Průměrná naměřená drsnost obroběných ploch $R_a = 2,1 \mu\text{m}$
 $R_{\max} = 12,7 \mu\text{m}$

Utvářec č. 12 byl hodnocen jako nevyhovující.

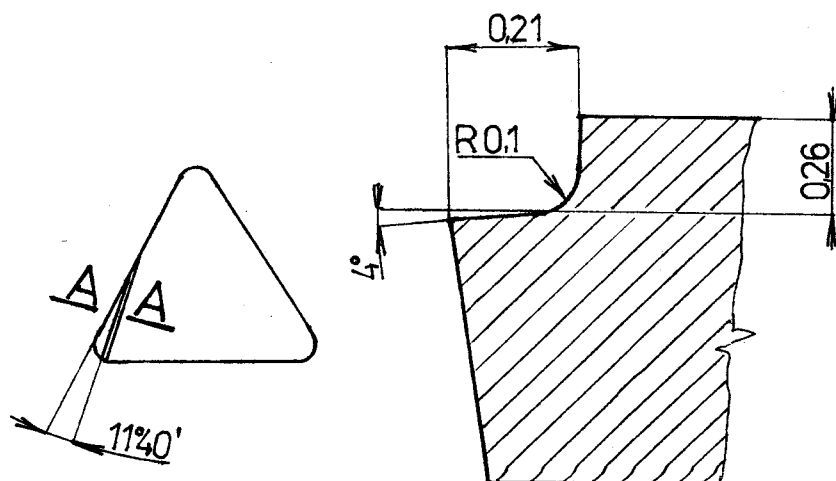
UTVAŘEC č.13.

Obr.73. Geometrické rozměry utvařeče

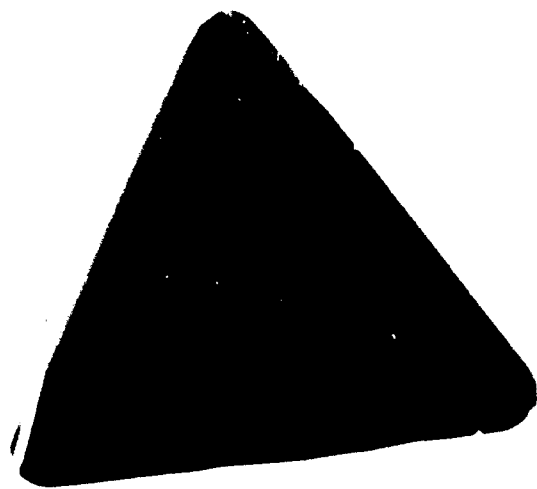
M5:1

ŘEZ A-A

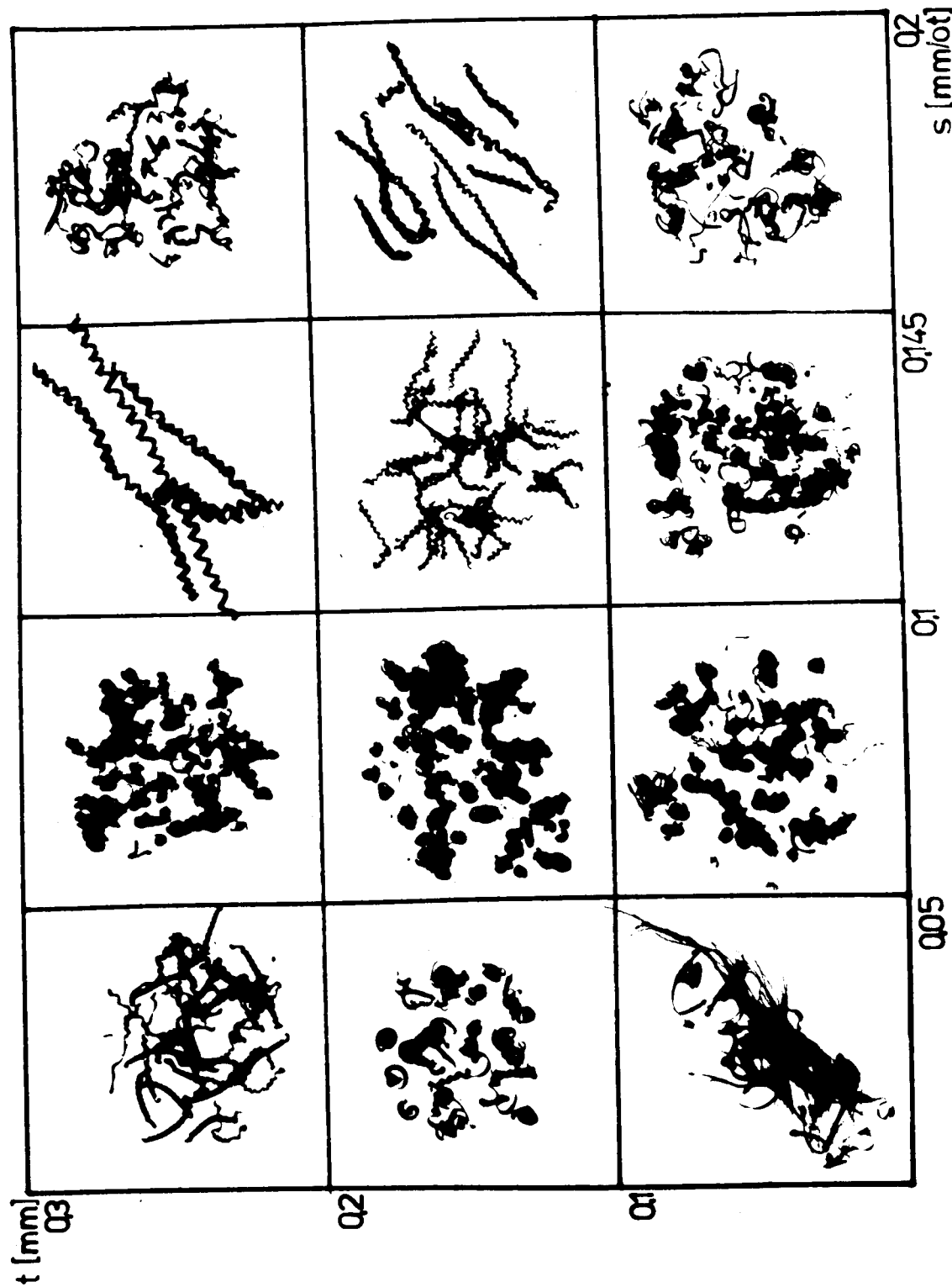
M50:1



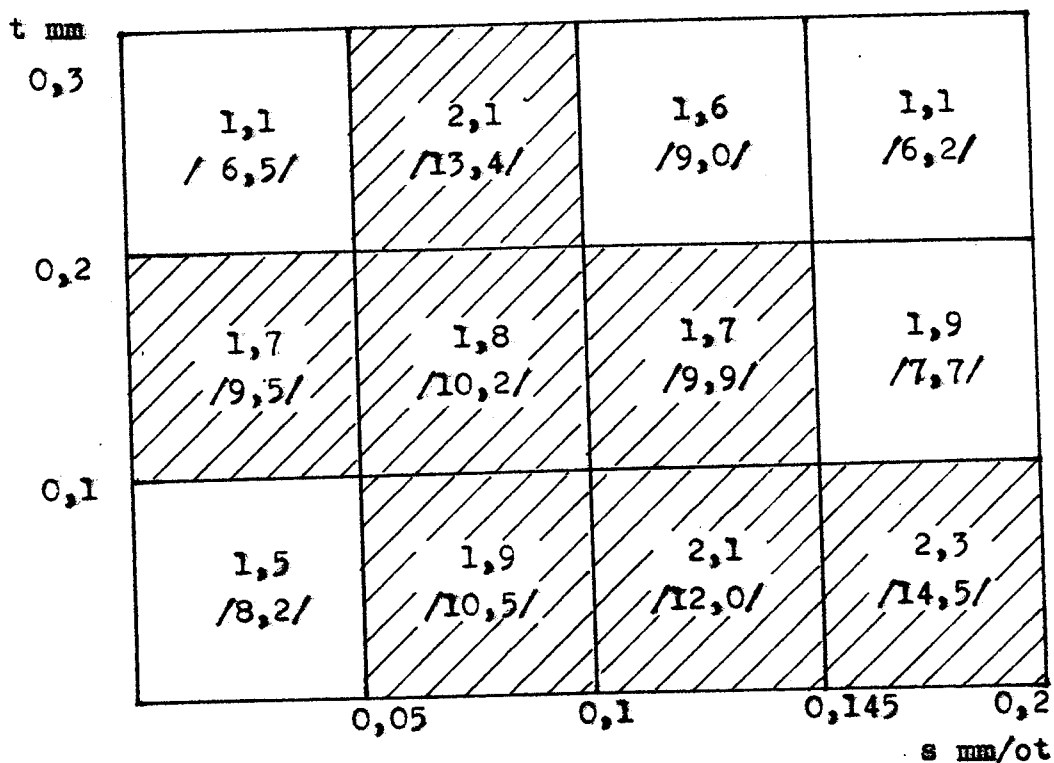
Obr.74. Umístění utvařeče na řezné destičce



Obr. 75. t-s diagram pro utv. č. 13 s ukázkou vzniklých třísek



Obr.76. t-s diagram s vyznačenou oblastí utváření a hodnotami drsnosti R_a μm a $/R_{\max}/$ μm



Vyhodnocení :

Utvařeč č.13. byl pouze odzkoušen v dílnách VŠST Liberec. Koncepce utvařeče je schůdkovitá. Projevuje se zde záporný úhel sklonu schůdku i když v menší míře než u utvařeče č.12, protože je jeho hodnota malá -4° . Oblast správného utváření ukazuje diagram č.76. Součinitel spolehlivosti

$$A_c = \frac{7}{12}$$

Průměrná naměřená drsnost obroběných ploch $R_a = 1,7 \mu\text{m}$
 $R_{\max} = 9,8 \mu\text{m}$

Po zvážení všech vlastností utvařeče č.13. byl tento hodnocen jako nevyhovující.

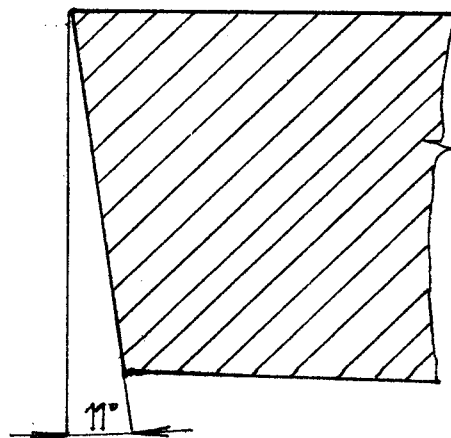
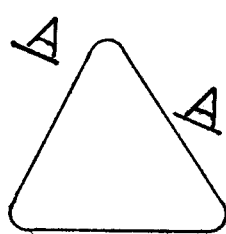
DESTIČKA č.14.

Obr.77. Geometrické rozměry destičky

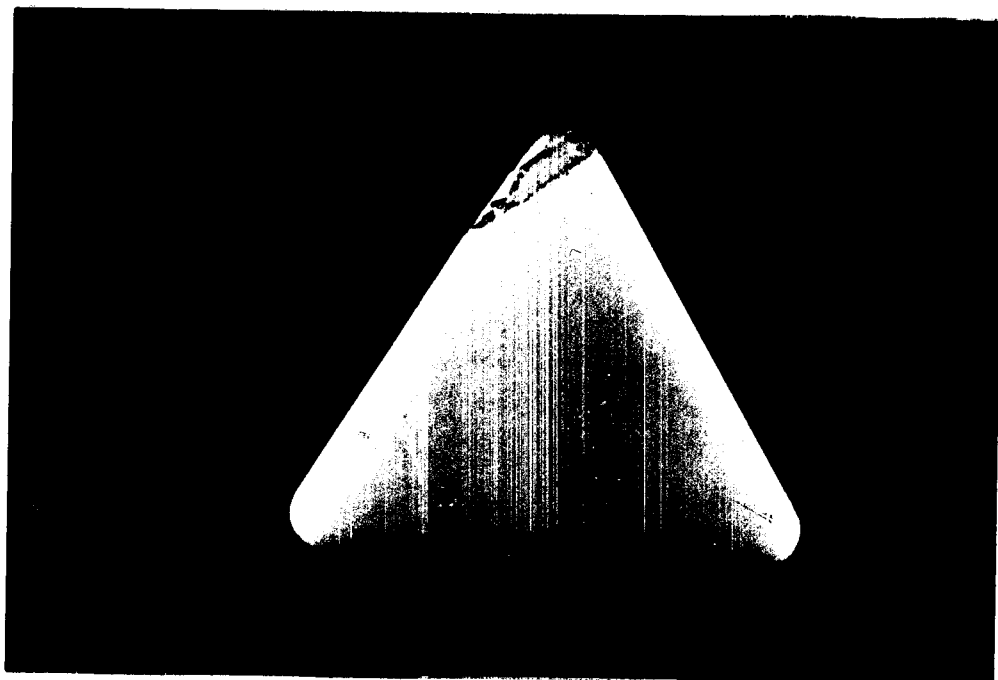
M 5:1

ŘEZ A-A

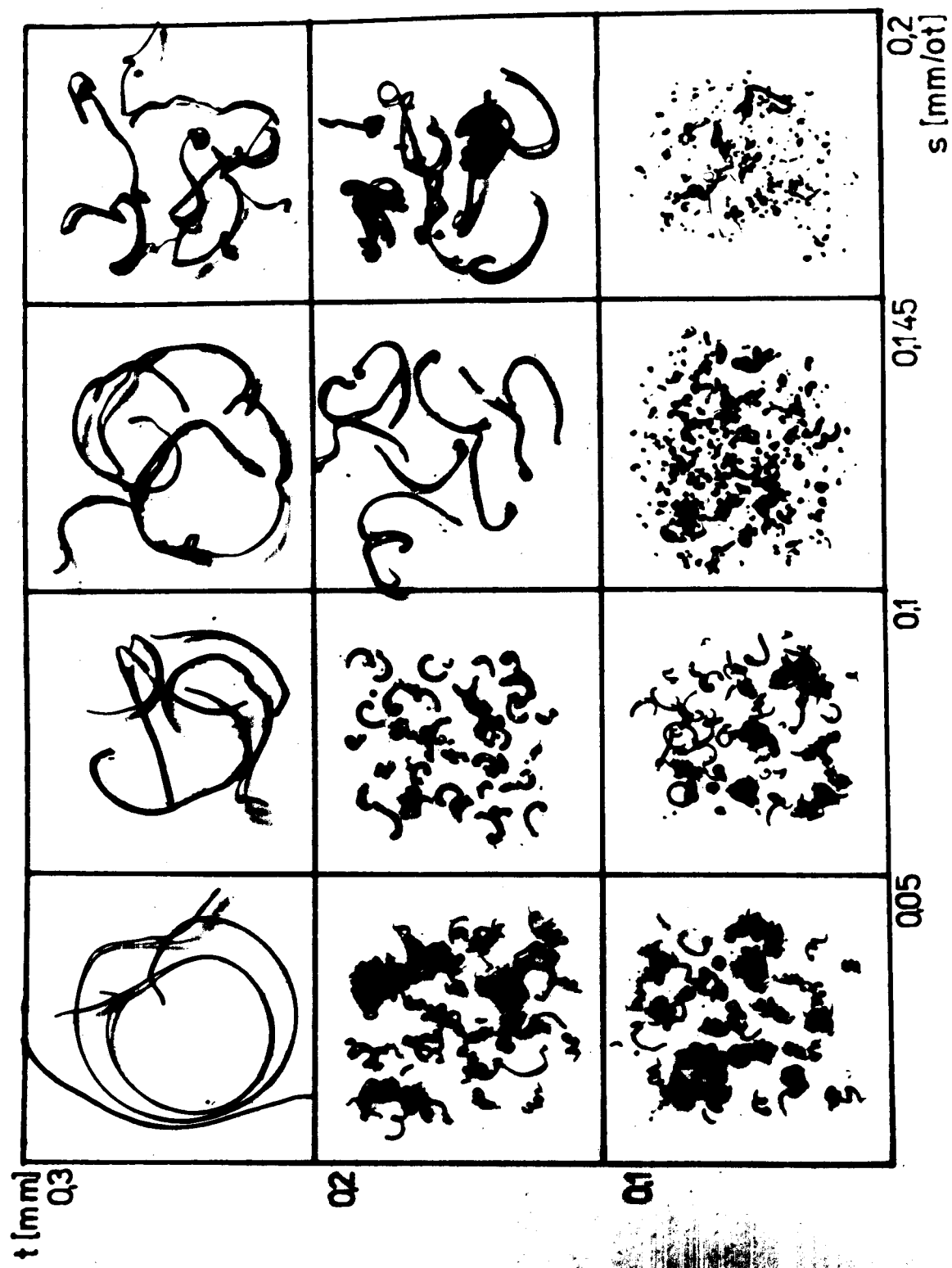
M 50:1



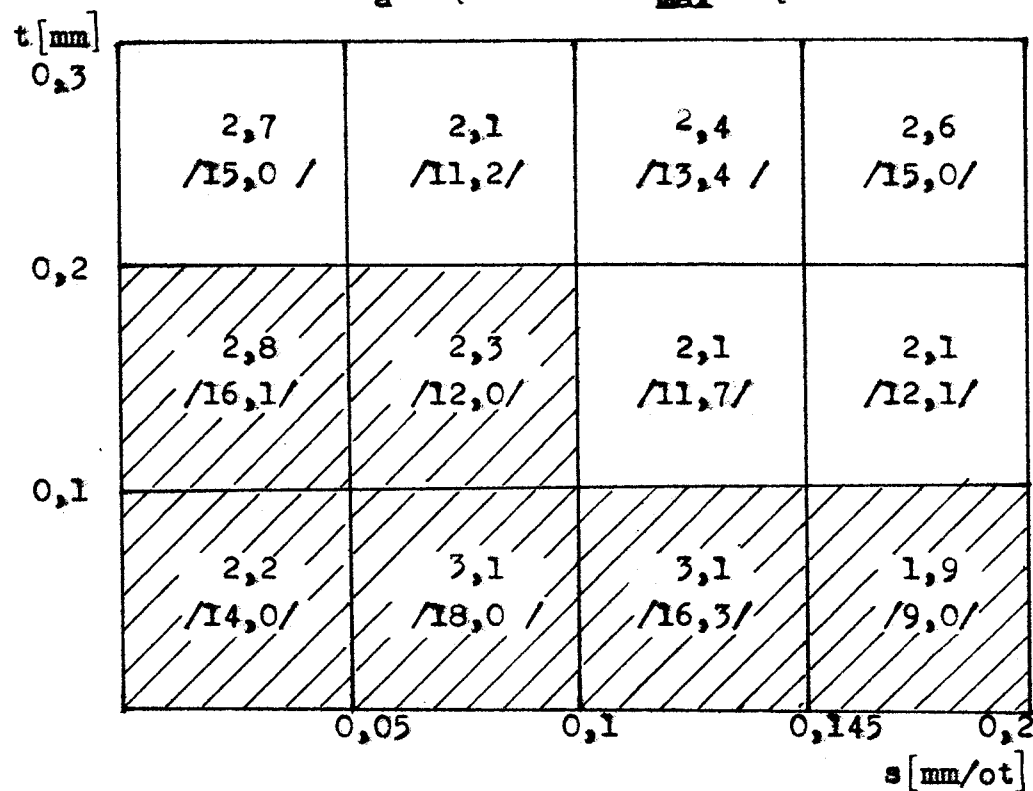
Obr.78. Ukázka řezné destičky



Obr. 79. t-s diagram pro řez. destičku č. 14 s ukázkou vzniklých třisek



Obr.80. t-s diagram s vyznačenou oblastí utváření a hodnotami
drsnosti R_a v μm a R_{max} v μm



Vyhodnocení :

Pro srovnání všech parametrů byla měřena destička bez utvářeče. Na první pohled je zřejmé, že oblast utváření je úzká. Také drsnost obroběného povrchu vykazuje vysoké hodnoty. Lze konstatovat, že i nejhorší model utvářeče vykazoval jakostnější obroběné plochy než destička bez utvářeče. Součinitel spolehlivosti

$$A_c = \frac{6}{12}$$

Průměrná naměřená drsnost obroběných ploch $R_a = 2,5 \mu\text{m}$
 $R_{max} = 13,6 \mu\text{m}$

Je zřejmé, že kromě utvářeče č.12, který má nevhodný úhel sklonu schůdku, pracují všechny utvářeče na vyšší úrovni než destička bez utvářeče.

5. Závěr

Úkolem této diplomové práce bylo zkonstruovat vhodné utvařeče třísek na vyměnitelných břitových destičkách z řezné keramiky. Při tvorbě návrhu utvařečů třísek bylo přihlédnuto k možnostem výrobce keramických destiček i k potřebám budoucího uživatele. Bylo zhotoveno 13 různých modifikací řezných destiček, určených pro jemné soustružení a jejich vlastnosti odzkoušeny v dílnách VŠST Liberec při obrábění součástek budoucího uživatele - AZNP Mladá Boleslav. Nejvíce se osvědčil model č.9., který pracuje v celé měřené pracovní oblasti téměř optimálně. Jako vyhodující byl určen utvařec č.4. Dalších pět utvařečů bylo hodnoceno jako dobře pracující v užší oblasti utváření. Dále bylo zjištěno, že všechny navržené utvařeče zmenšují drsnost obroběných ploch vzhledem k obrábění keramickou destičkou bez utvařeče. Také bylo zjištěno, že u navrhovaných modifikací nemá poloha utvařeče na břitové destičce významější vliv na drsnost obroběného povrchu.

Výsledky diplomové práce ukazují, že dany úkol /jemné soustružení v měřené pracovní oblasti / byl splněn. Vzhledem k ekonomické výhodnosti použití řezné keramiky bylo bylo vhodné tuto problematiku dále řešit i za jiných podmínek, zvláště vyšších posuvů a hloubek řezu.

Za cenné rady a pomoc při práci děkuji vedoucímu diplomové práce Ing. Robertu Kvapilovi, CSc a konzultantovi Ing. Vladimíru Šídovi, CSc.

Literatura

- /1/ Kalousek V. : Rezná keramika - progresivní řezný materiál,
In : Nové poznatky z technologie obrábění.
Koncernový výzkumný ústav obráběcích strojů
a obrábění, Praha pobočka ČSVTS 1987
- /2/ Šída V. : Přehled vývoje a výroby čs. řezné keramiky
In : Konferencia technologov obrábania
I. diel, Dom techniky ČSVTS Bratislava
1985
- /3/ Firemní prospekt firmy KRUPP WIDIA, Essen I, NSR : Widalox-
schneidkeramik wendeschneidplatten und
widax-halter 1986
- /4/ Valčuha Š : Optimalizacia geometrie rezného kľina
nástrojov vrátane utváračov a deličov
triesok. Výzkumná zpráva SVŠT Bratislava 1980
- /5/ Staněk P. : Základní principy utváření třísky a systémy
utváření při soustružení, In : Nové poznatky
z technologie obrábění. Koncernový výzkumný
ústav obráběcích strojů a obrábění, Praha
pobočka ČSVTS 1987
- /6/ Valčuha Š. : Optimalizacia geometrie rezného kilna
nástrojov vrátane utváračov a deličov triesok.
Výzkumná zpráva SVŠT Bratislava 1978
- /7/ Valčuha Š. : Výskum tvarovania triesok a návrh tvarovača
triesok. Výzkumná zpráva SVŠT Bratislava 1979
- /8/ Firemní prospekt firmy Feldmühle, Düsseldorf, NSR : SPK
Schneid-keramik-Tage '84 1984
- /9/ Vasilko K., Michel D., Hrubec J. : Brúsenie a ostrenie
rezných nástrojov. ALFA, Bratislava 1984